### Vaguadas Costeras en Chile Central

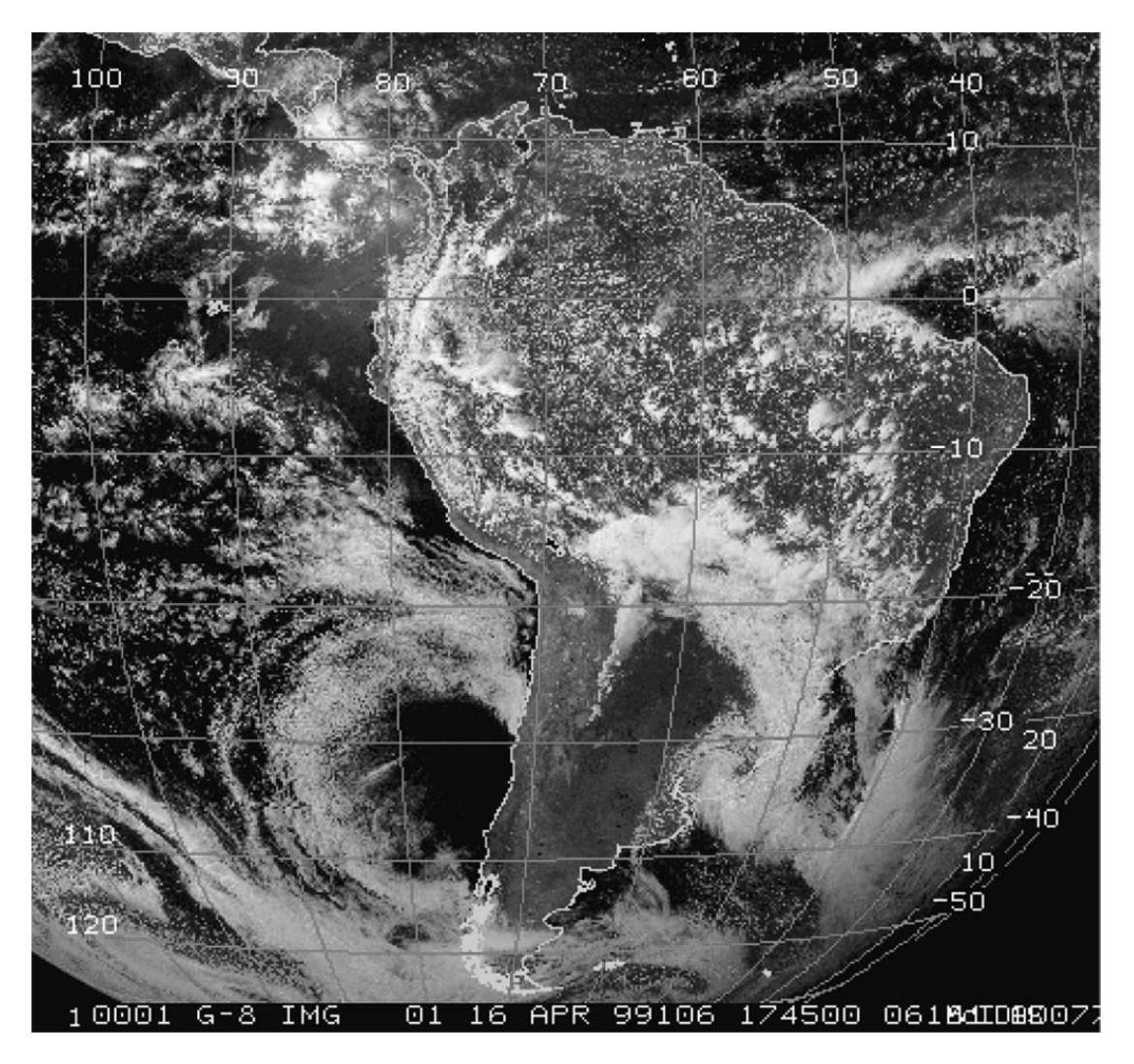
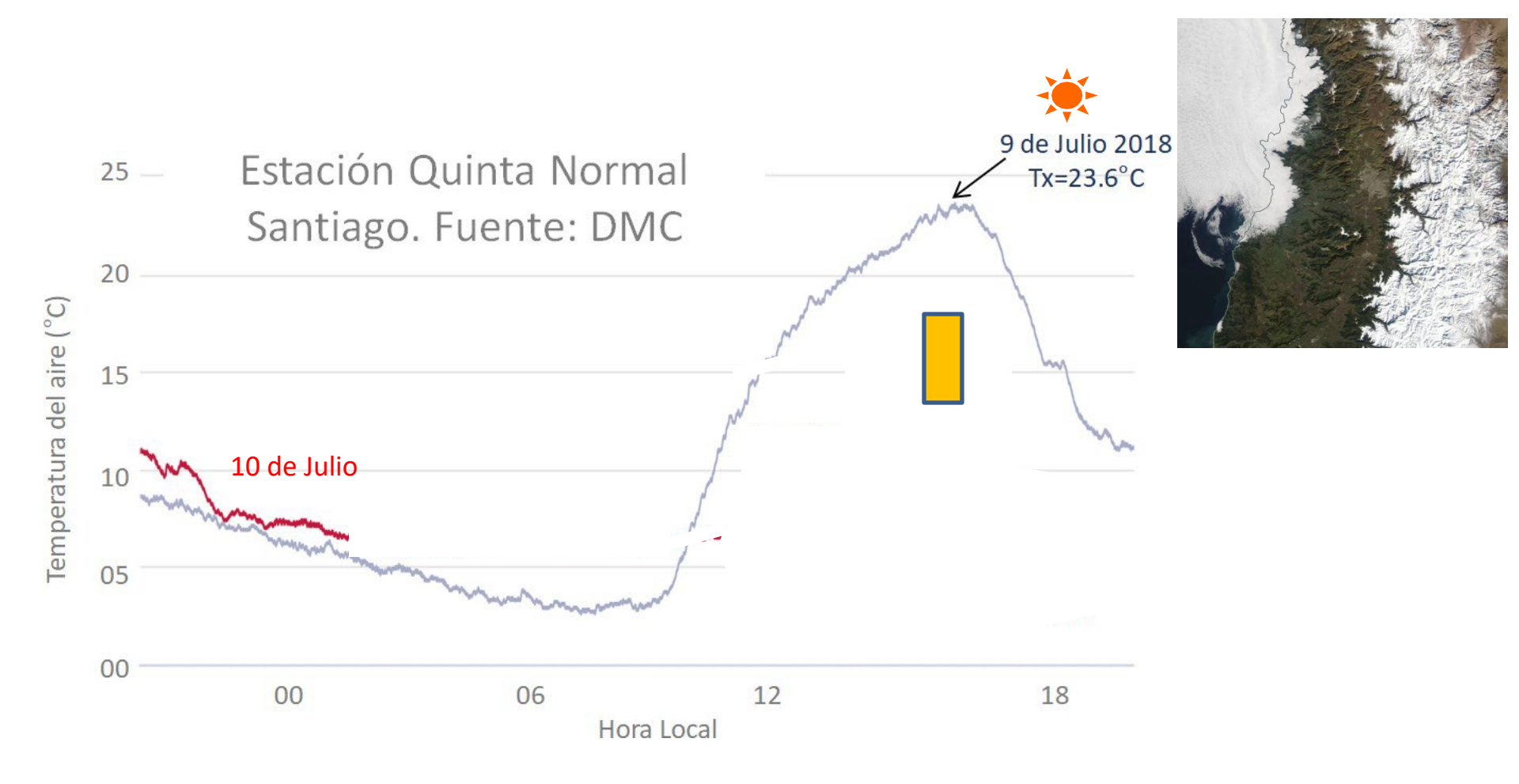
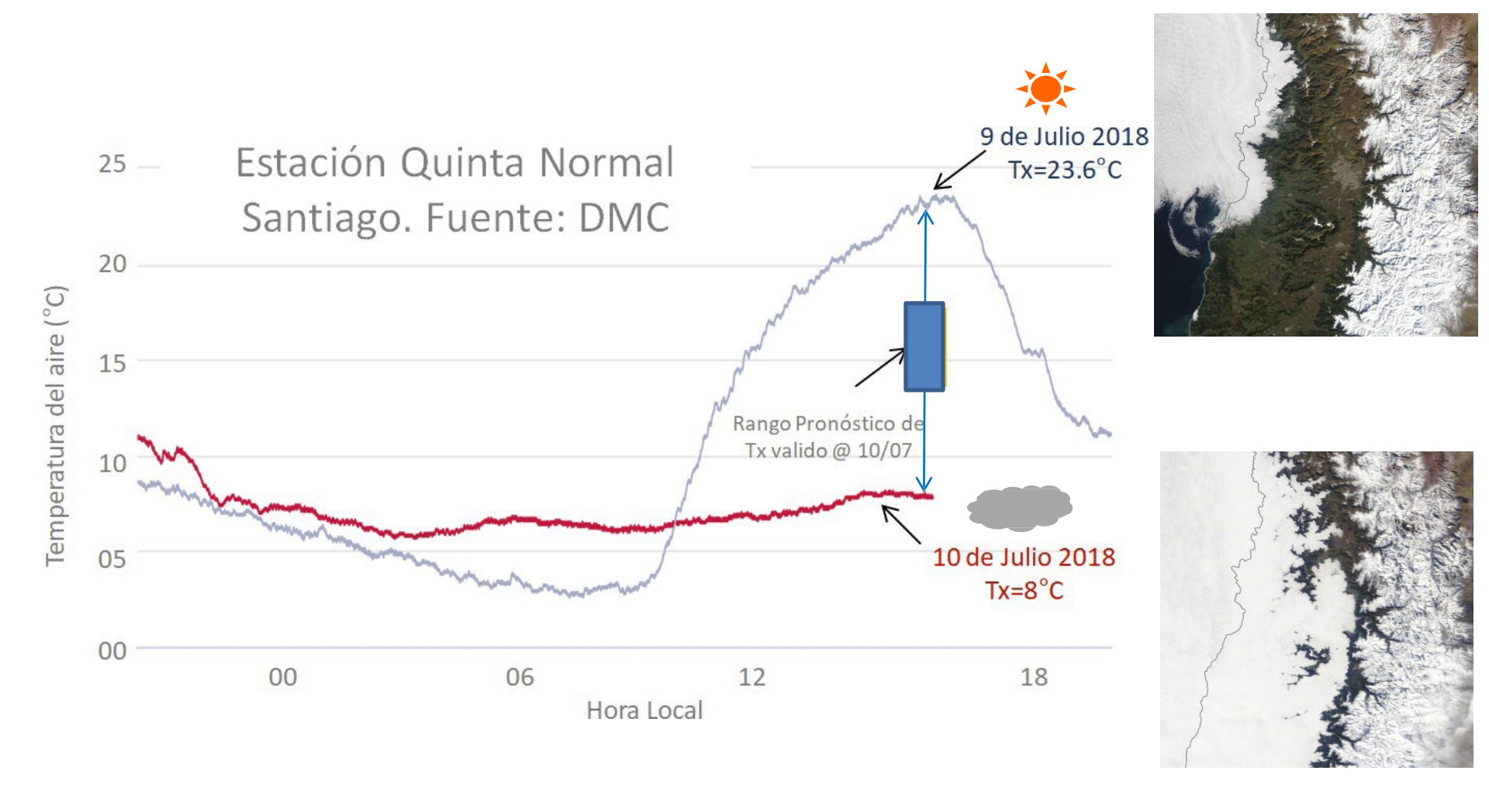


Fig. 4. GOES-8 visible (channel 1) satellite image at 1745 UTC 16 Apr 1999.

# Cambios del tiempo durante la fase de termino de la BC son dramáticos y aun ofrecen un desafío mayor de pronóstico

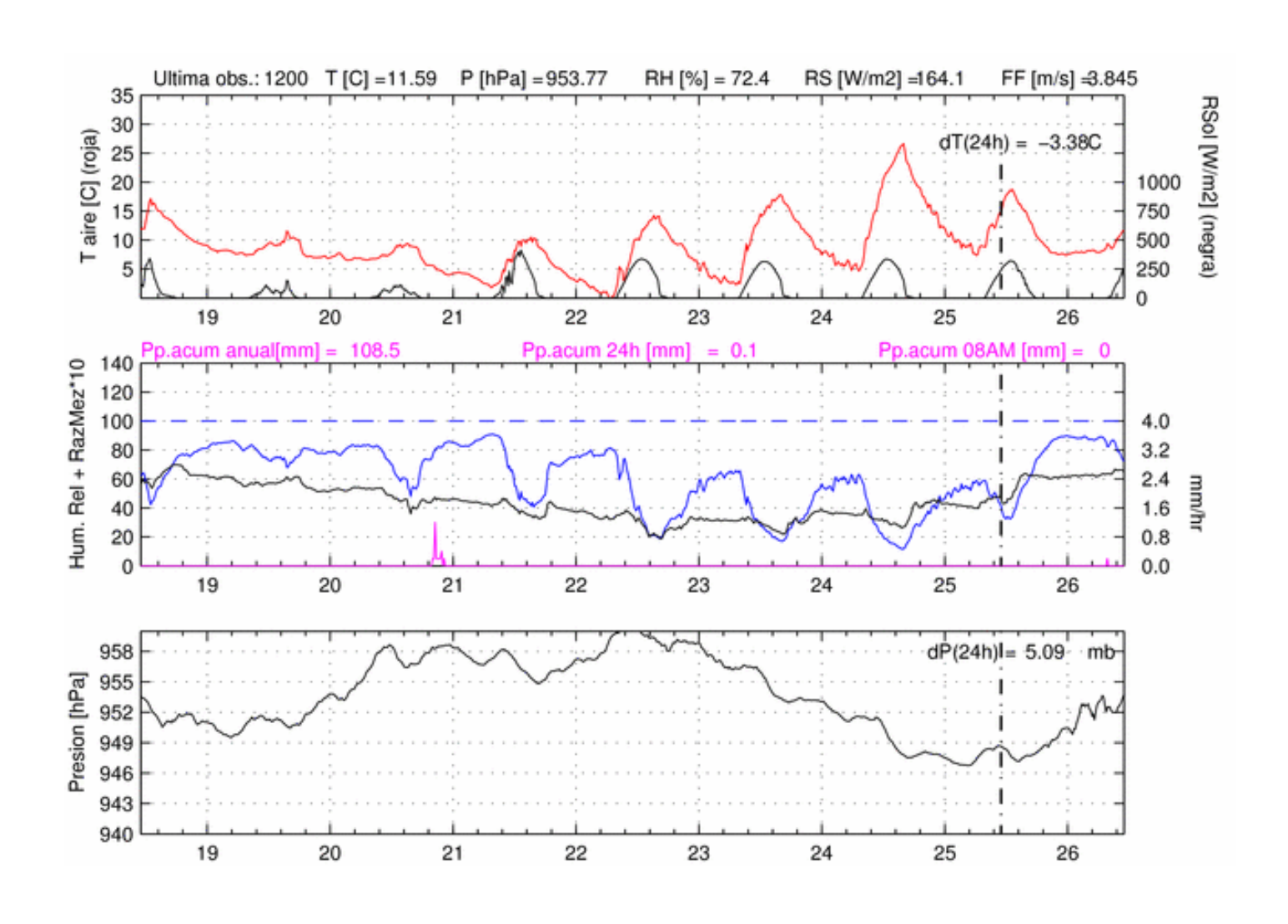


# Cambios del tiempo durante la fase de termino de la BC son dramáticos y aun ofrecen un desafío mayor de pronóstico



### Evolución de condiciones en Santiago

El episodio de baja costera comienza con el paso de un débil sistema frontal el día 20 de Julio 2013 (notar lluvia en Stgo), culmina el día 24 con Tx=26°C (que días mas agradable!) y termina el día 26 con la llegada de un nuevo frente.



### Vaguadas Costeras en Chile Central

### Fenómenos de meteorología local asociados a fase de desarrollo:

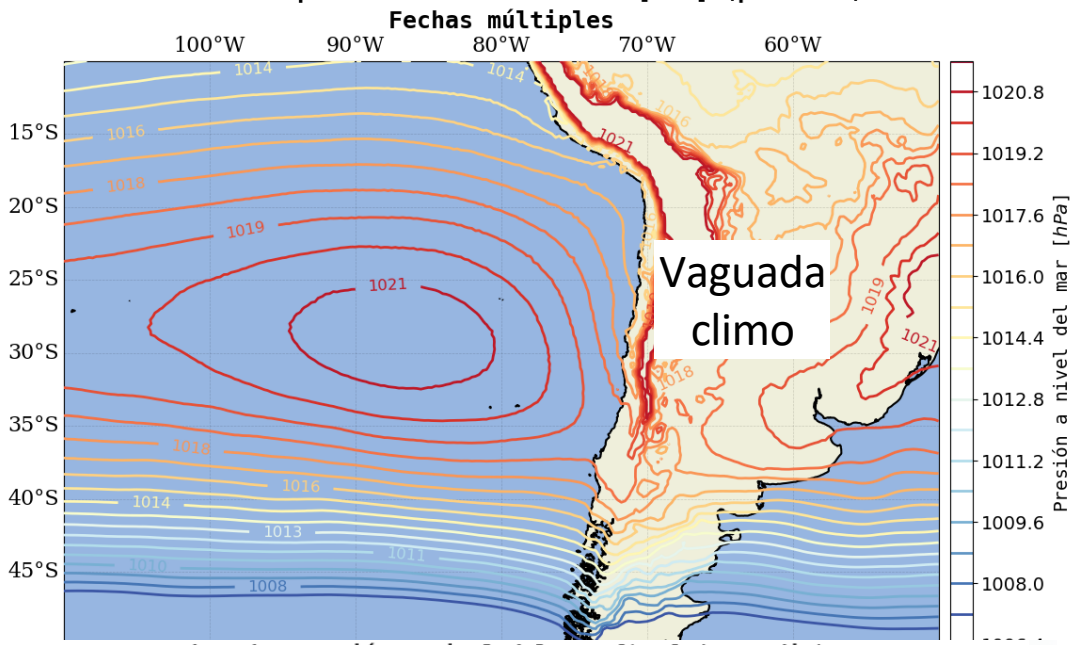
- Gran amplitud térmica en valles interiores: Tn ~0°C, Tx ~20°C
- Condiciones muy secas (HR<30%, q<3 g/kg) y calmas (ff<1 m/s)</li>
- Temperaturas altas en torno a lo 1000 m de altura
- Cielos mayormente despejados
- Episodios de contaminación en valles interiores
- Vientos del sur fuertes en zonas costeras (surazos)
- Surgencia muy activa en zonas costeras (TSM por debajo de lo normal)

### Fenómenos de meteorología local asociados a fase de término:

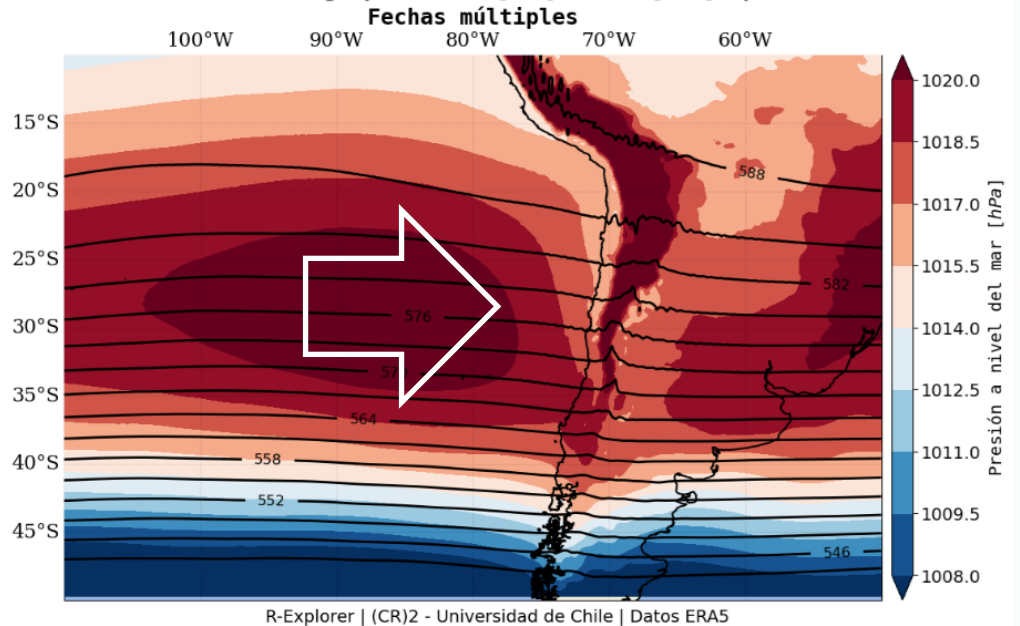
- Entrada de aire marino y nieblas a valles interiores
- Marcada reducción de Tx y aumento de HR y nubosidad
- •Marcada disminución del viento S e incluso puede aparecer viento N en la costa

Elementos importantes de la Climatología de Invierno en Chile Central

### Contornos: presión a nivel del mar [hPa] (promedio)

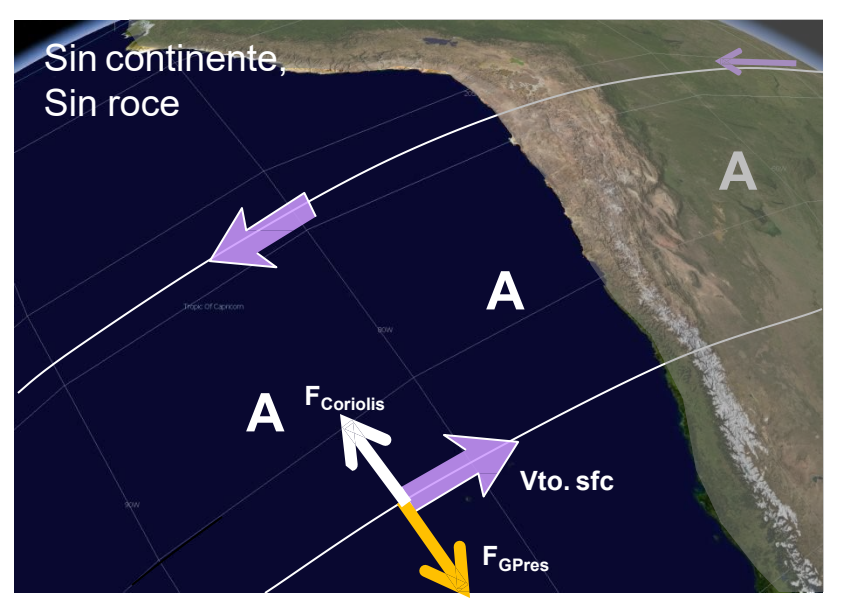


### Sombreado: presión a nivel del mar [hPa] (promedio) Contornos: altura geopotencial [dm] a 500 [hPa] (promedio)

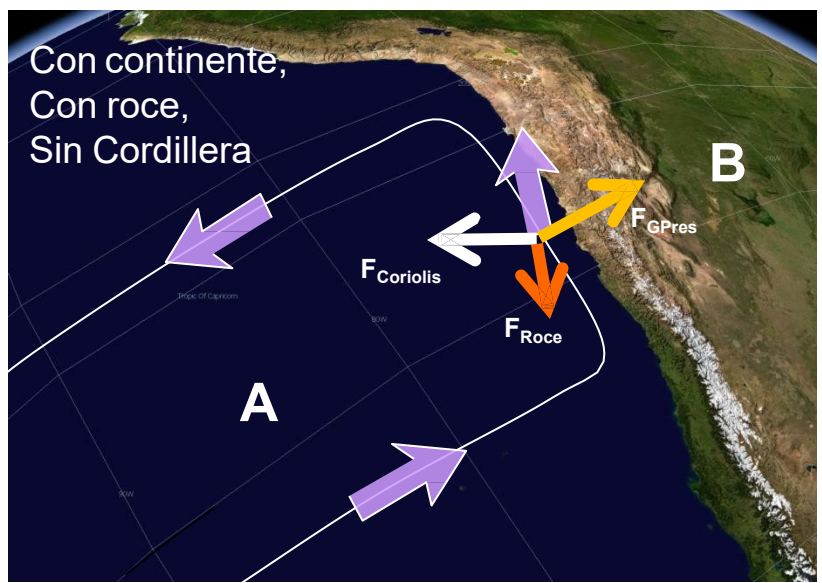


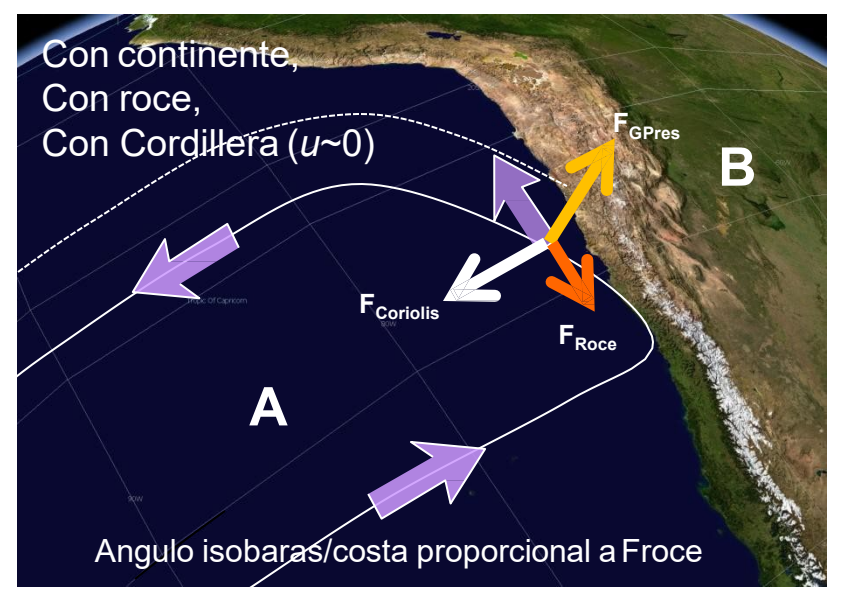
### Vaguada Costera Climatológica en el Norte de Chile

(Sec. 5a; Muñoz y Garreaud 2005, Mon. Wea. Rev.)

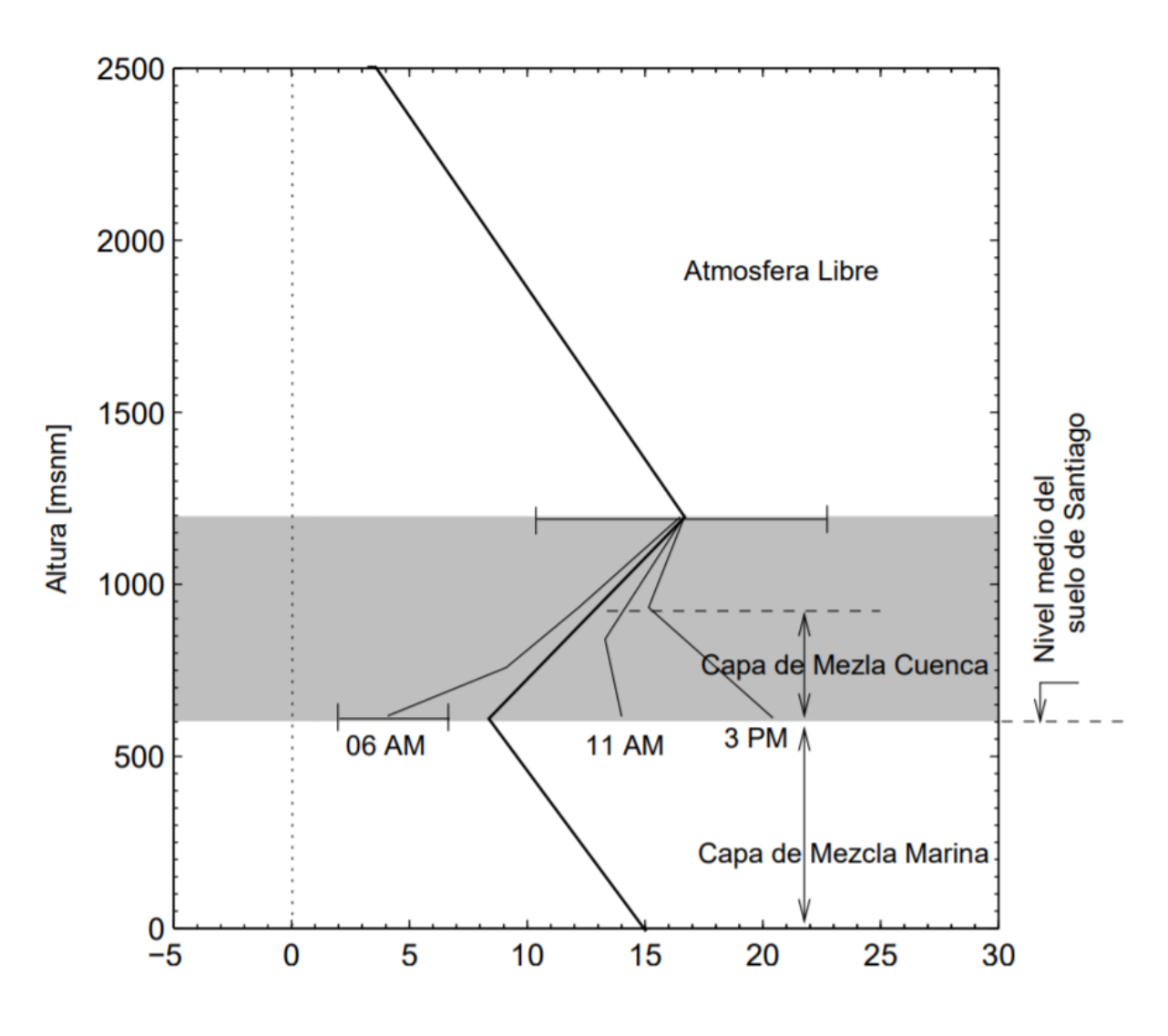






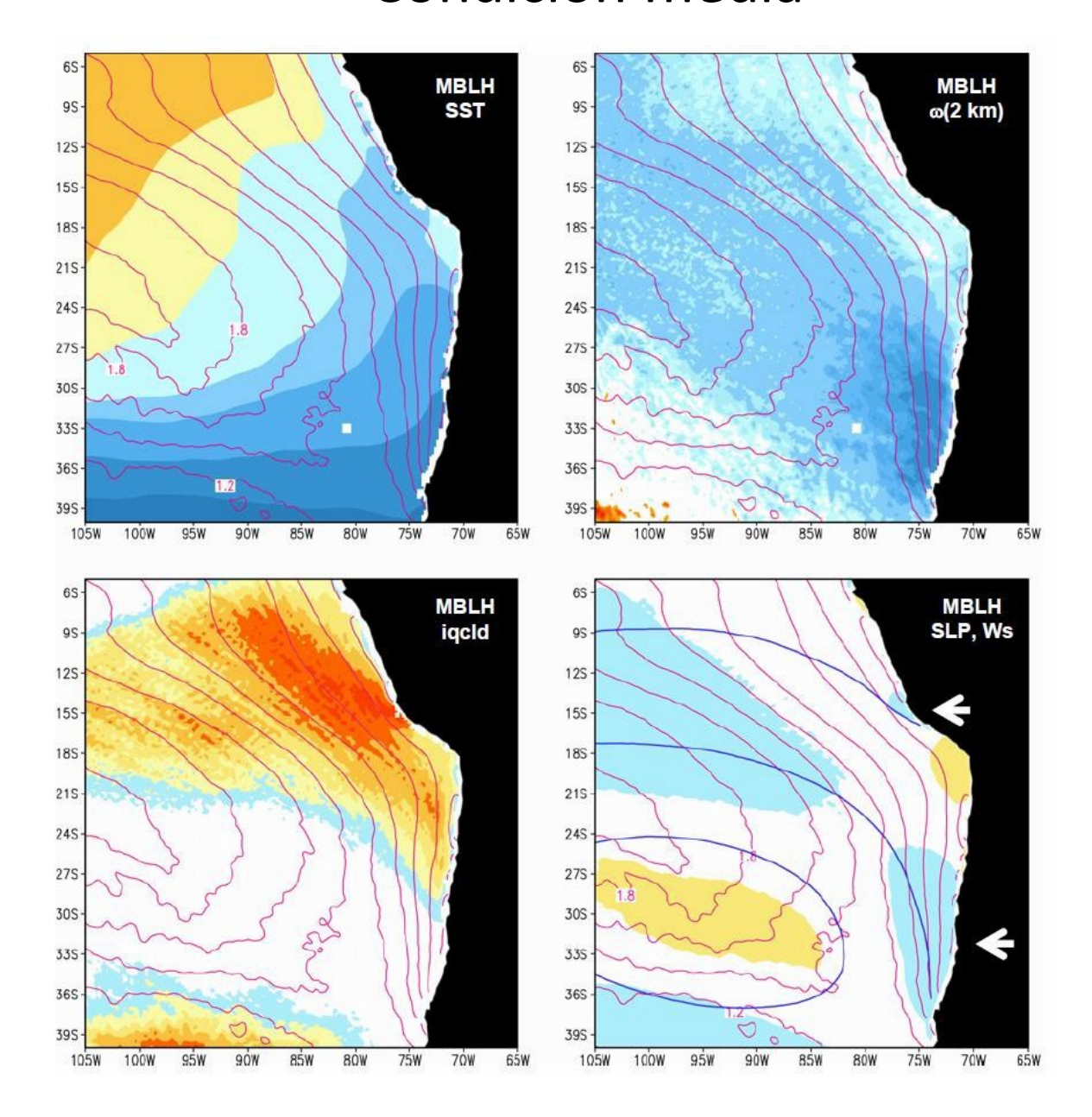


### MBL-Inversion @ 33°S

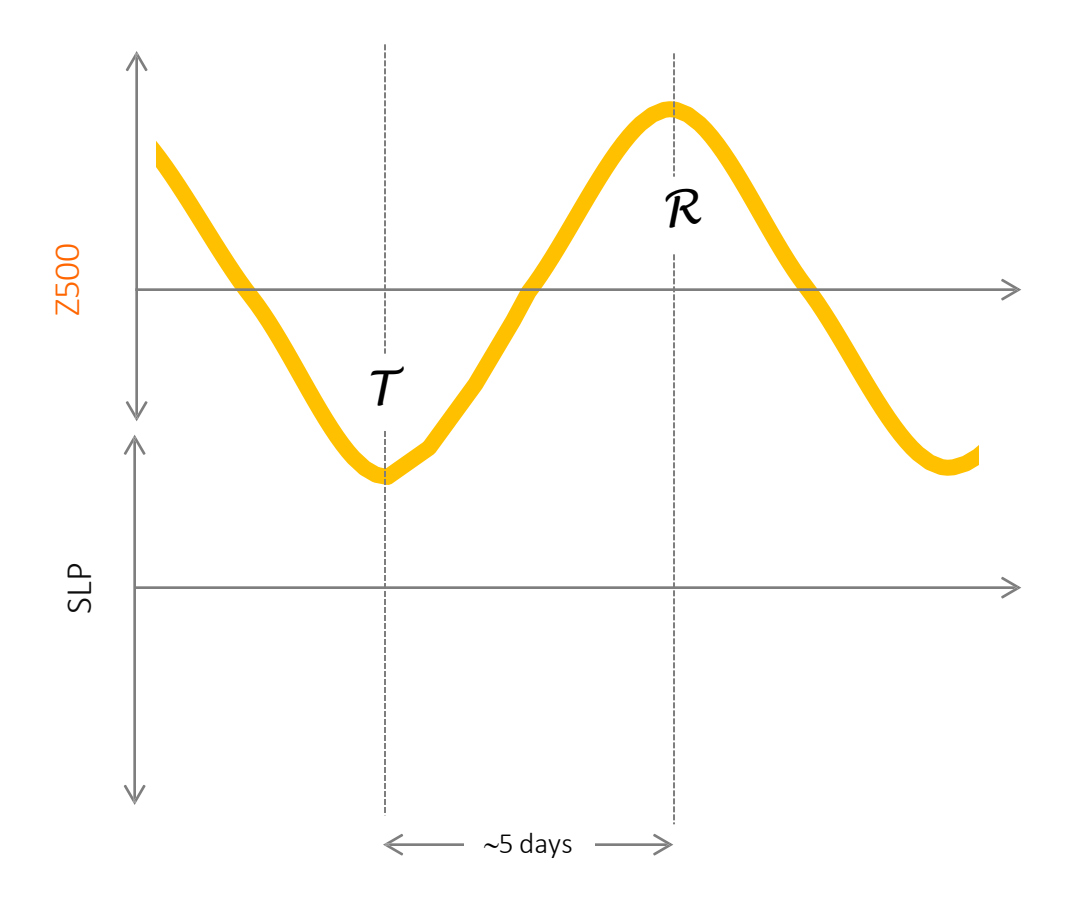


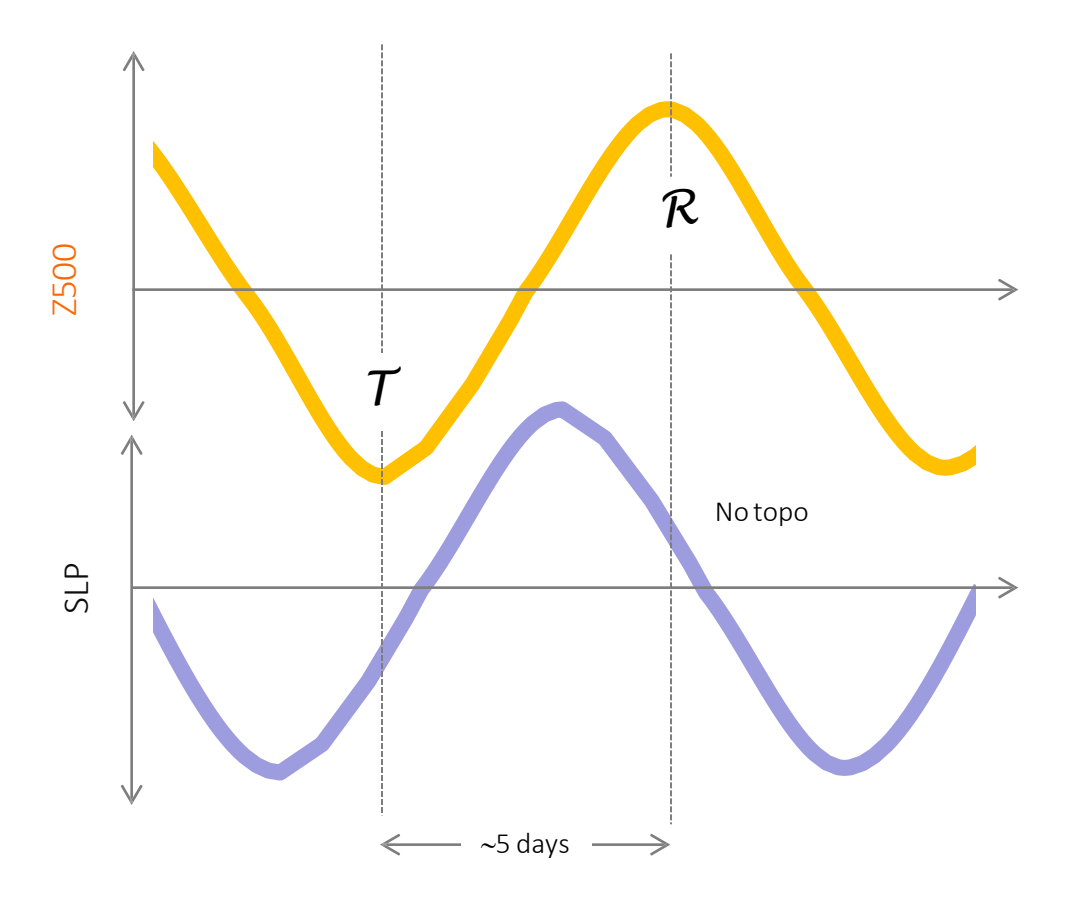
Temperatura del aire [C]

### Condición media



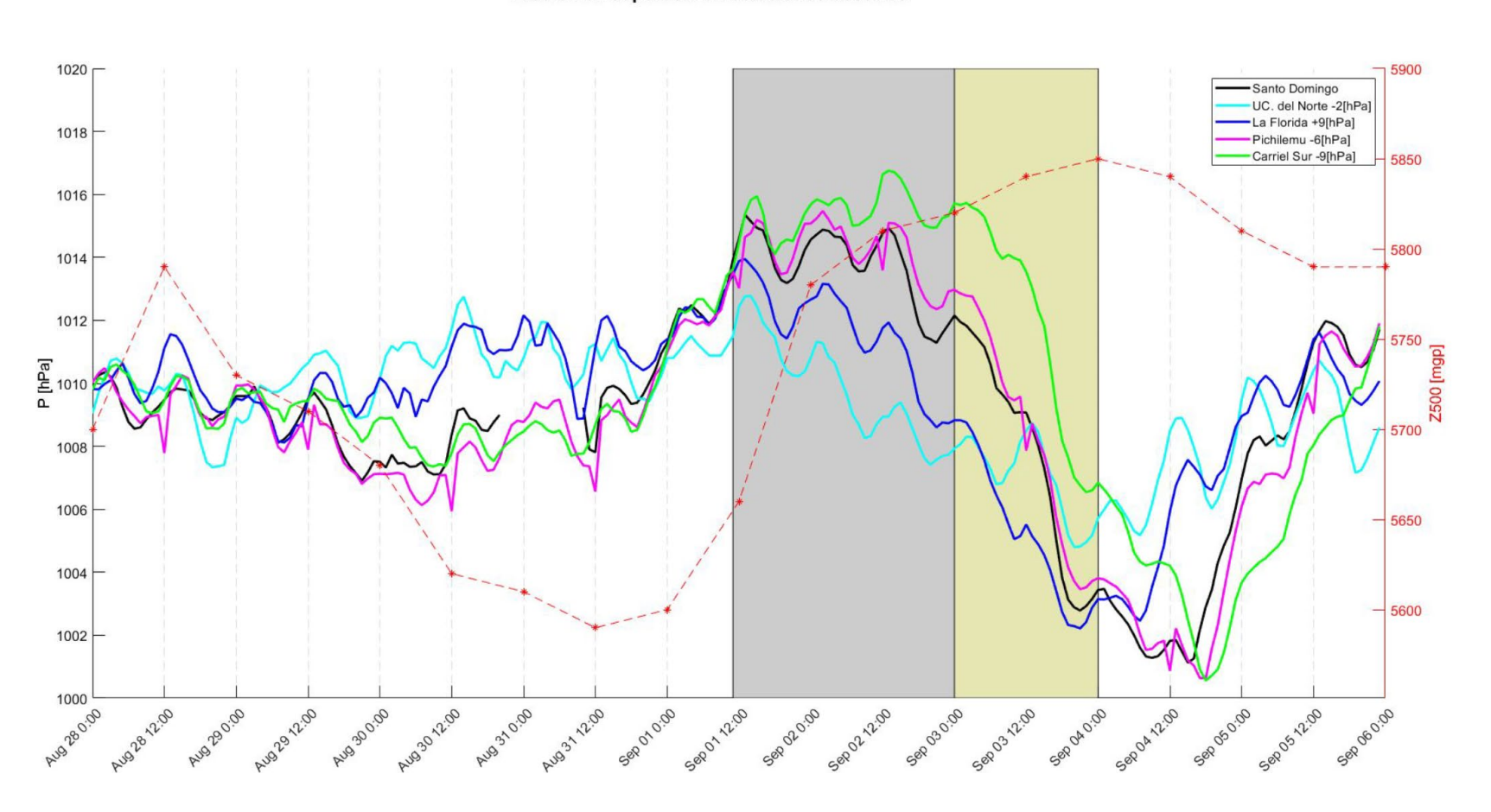
# Aspectos de escala Sinóptica

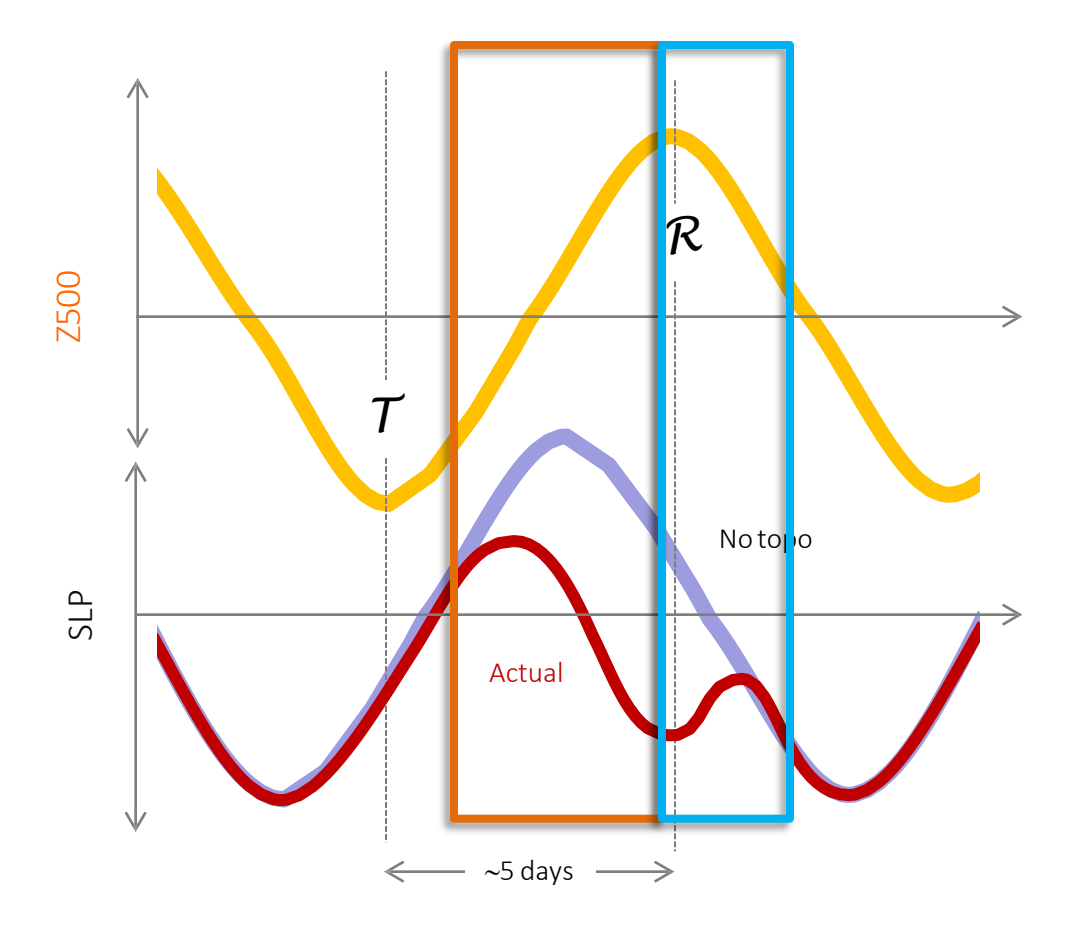


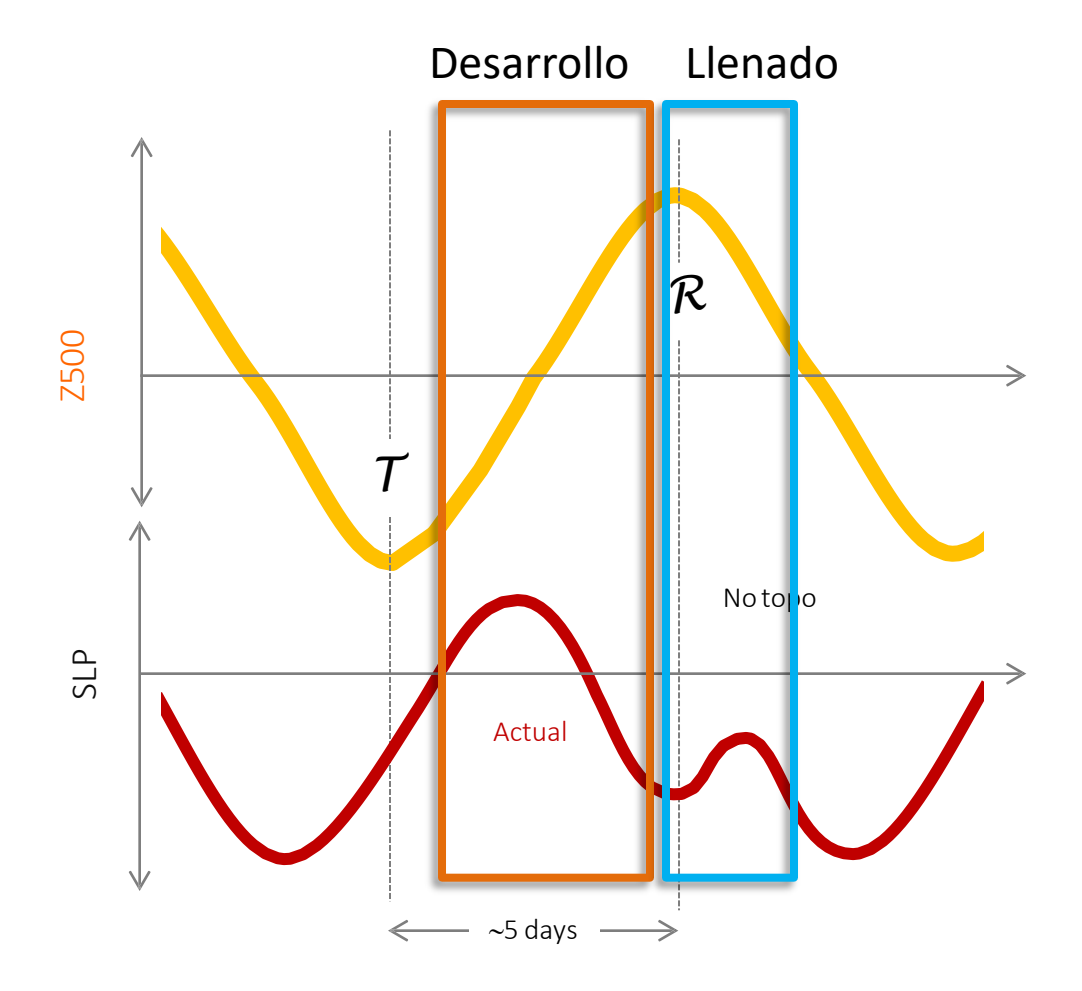


### Ejemplo real (Tesis Álvaro Césped 2020)

#### Presión en superficie en estaciones costeras

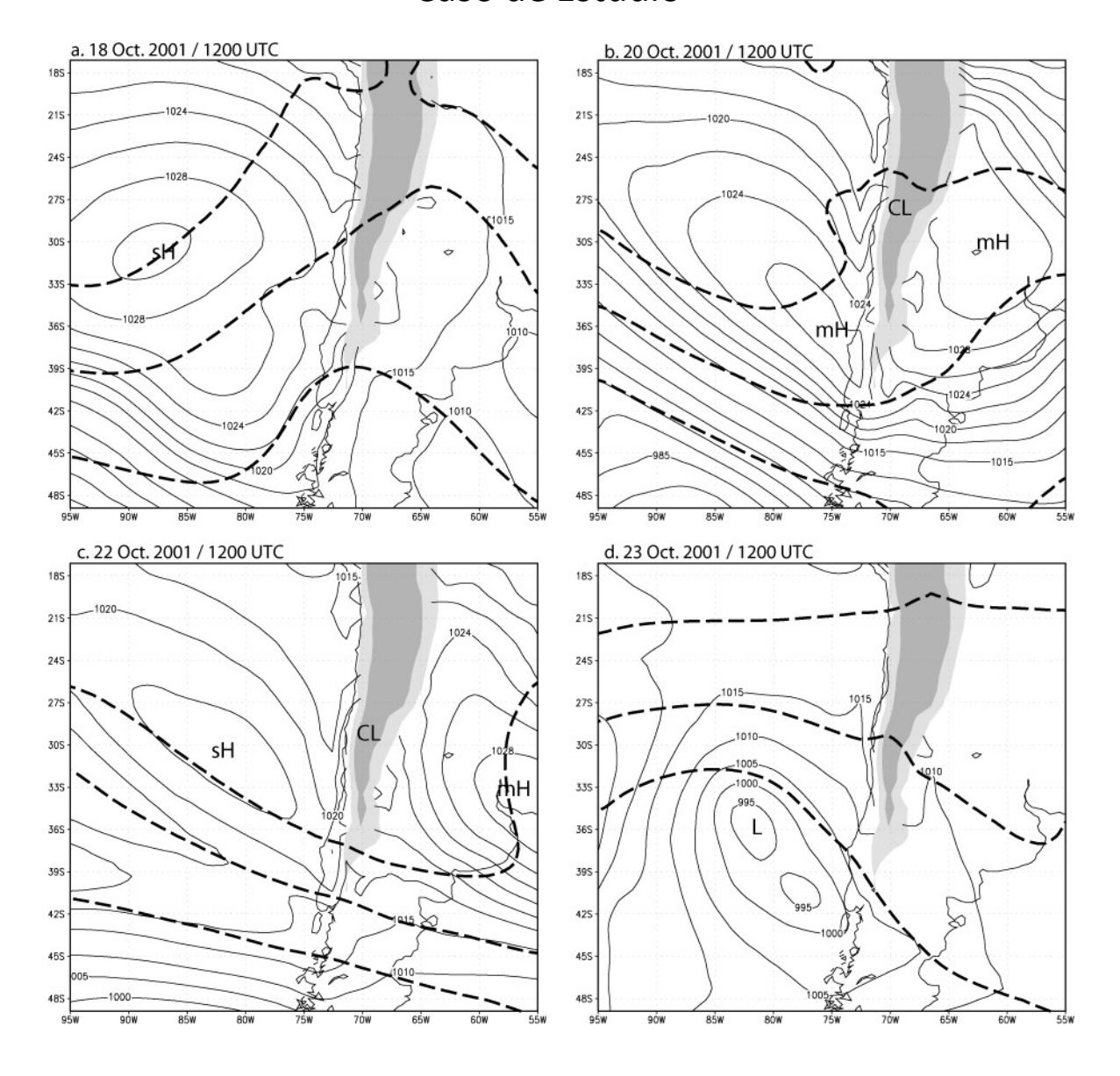






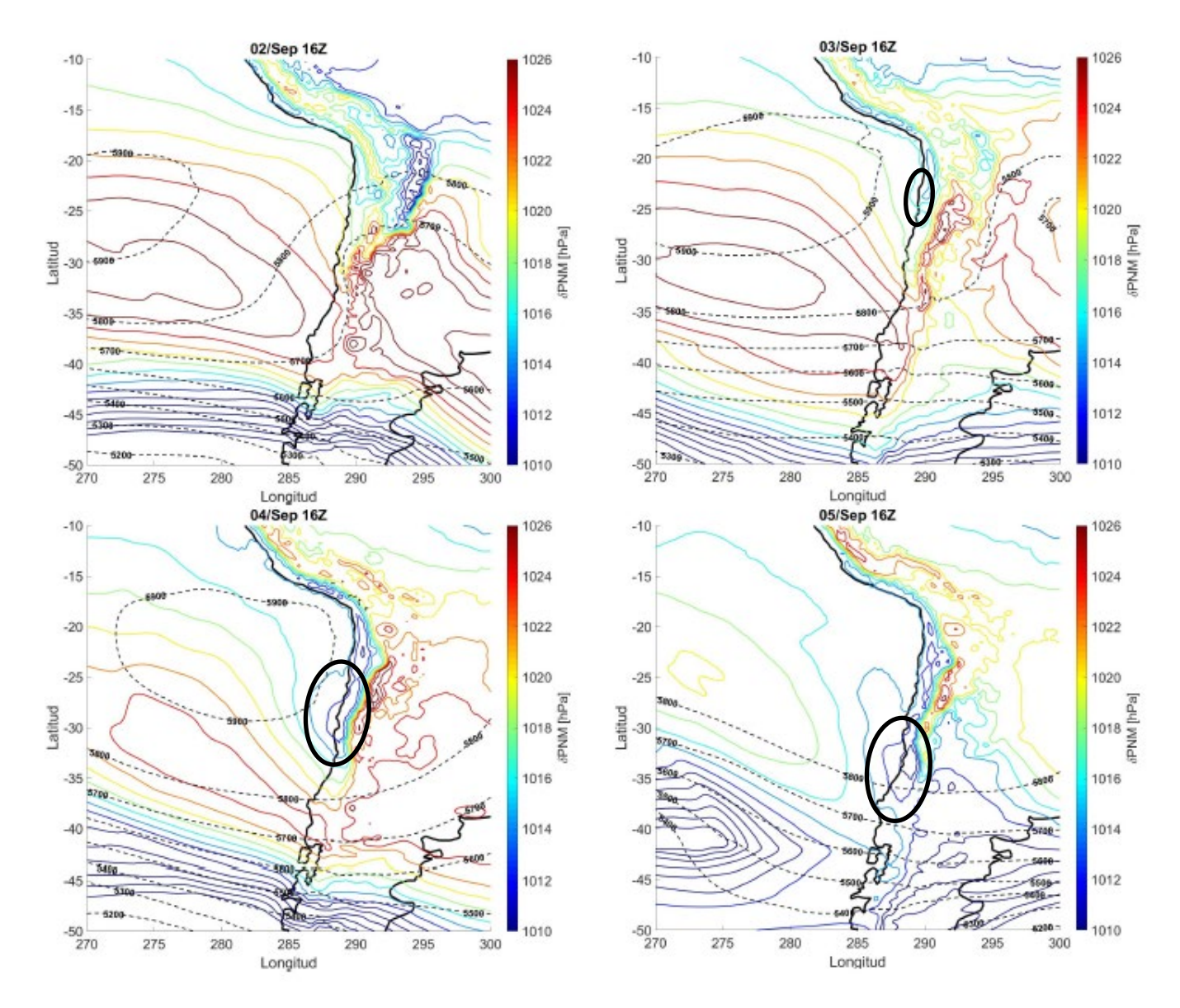
# Ejemplos de condición sinóptica + Compuesto

### Caso de Estudio



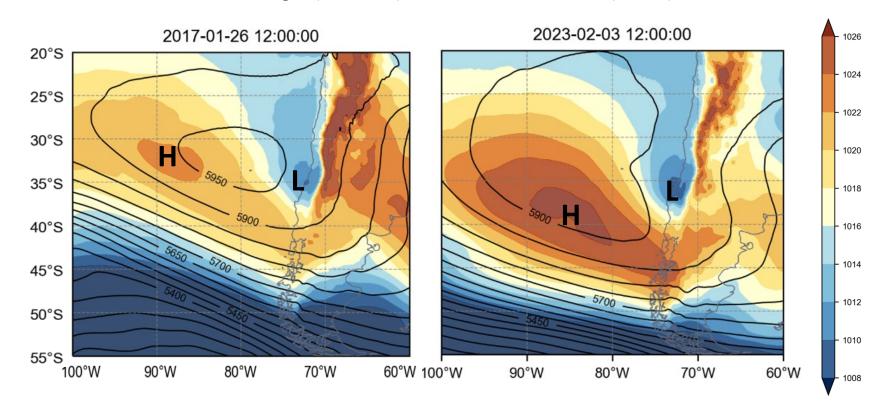
### (Tesis Álvaro Césped 2020)

En muchos casos el fenómeno se manifiesta como una intensificación y extensión hacia el sur de la vaguada costera. El carácter costero se ve mejor en campo isalobarico (delta SLP en 24h)

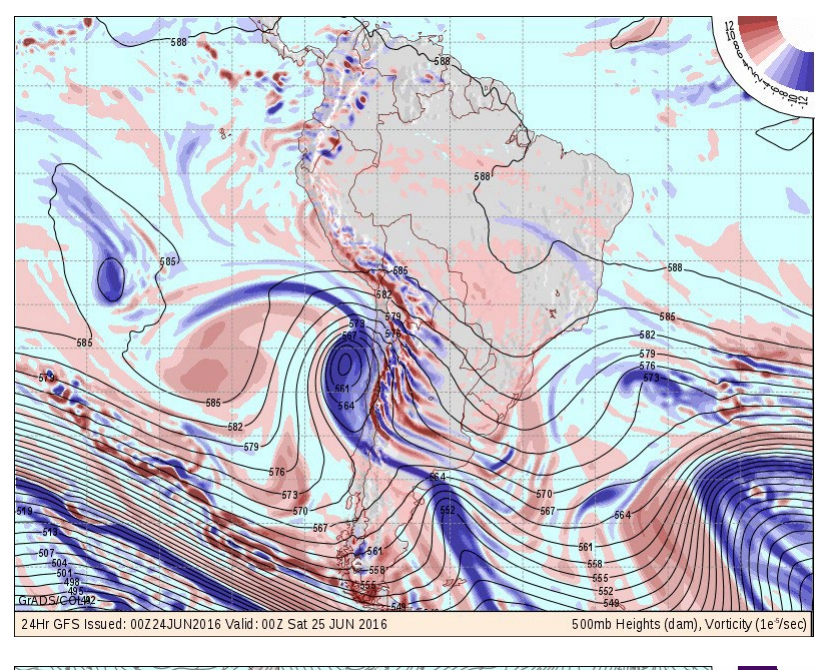


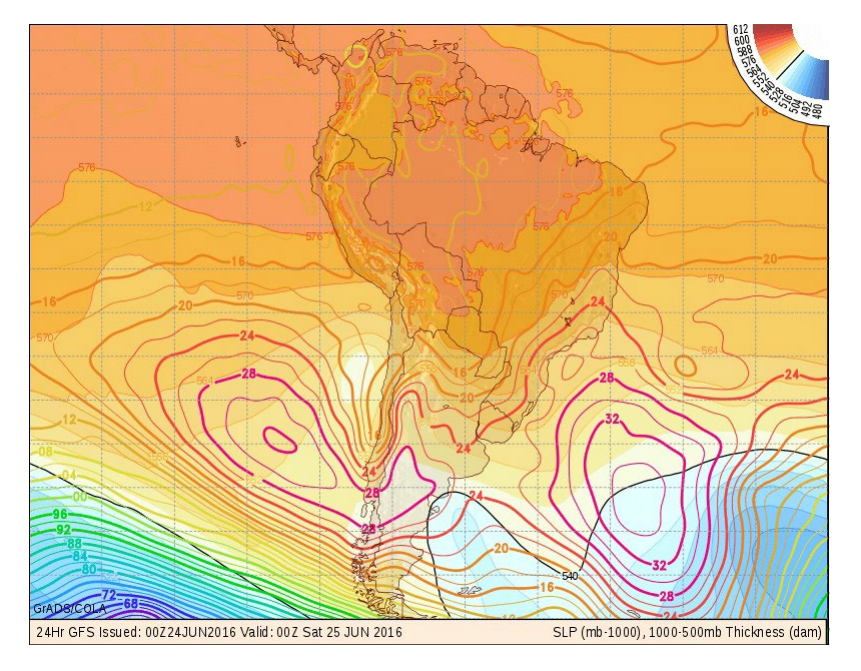
### **Large Scale Conditions**

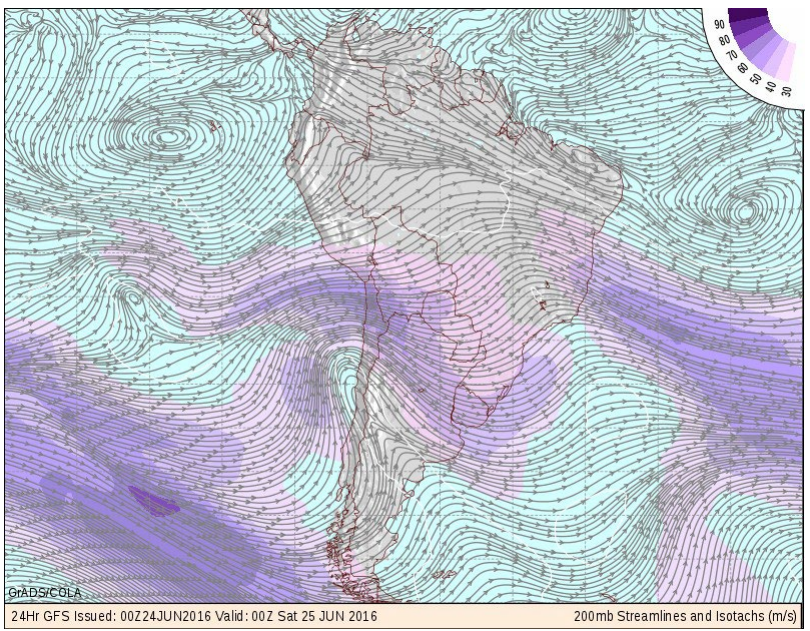
500 hPa Height (contours) and Sea Level Pressure (colors)

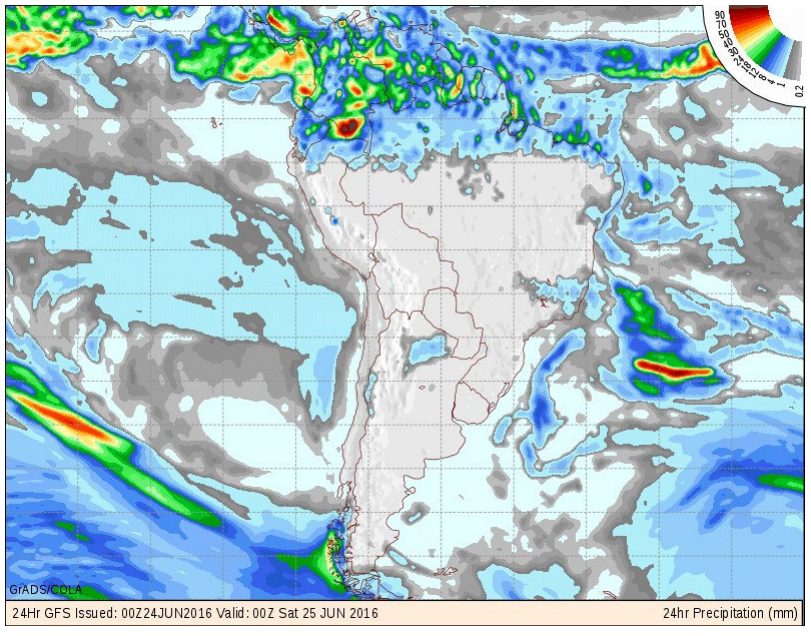


### Baja Segregada + Baja Costera

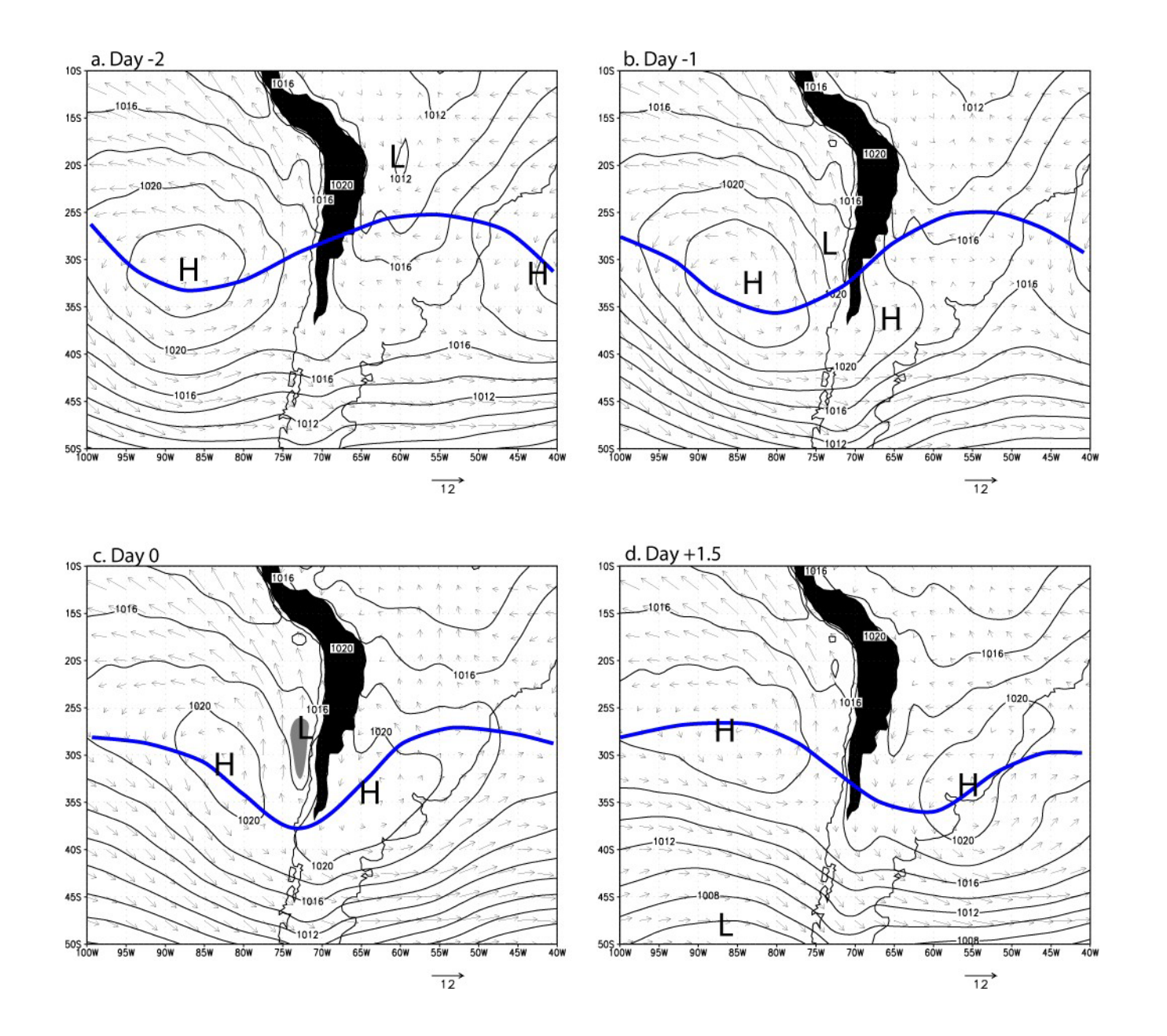




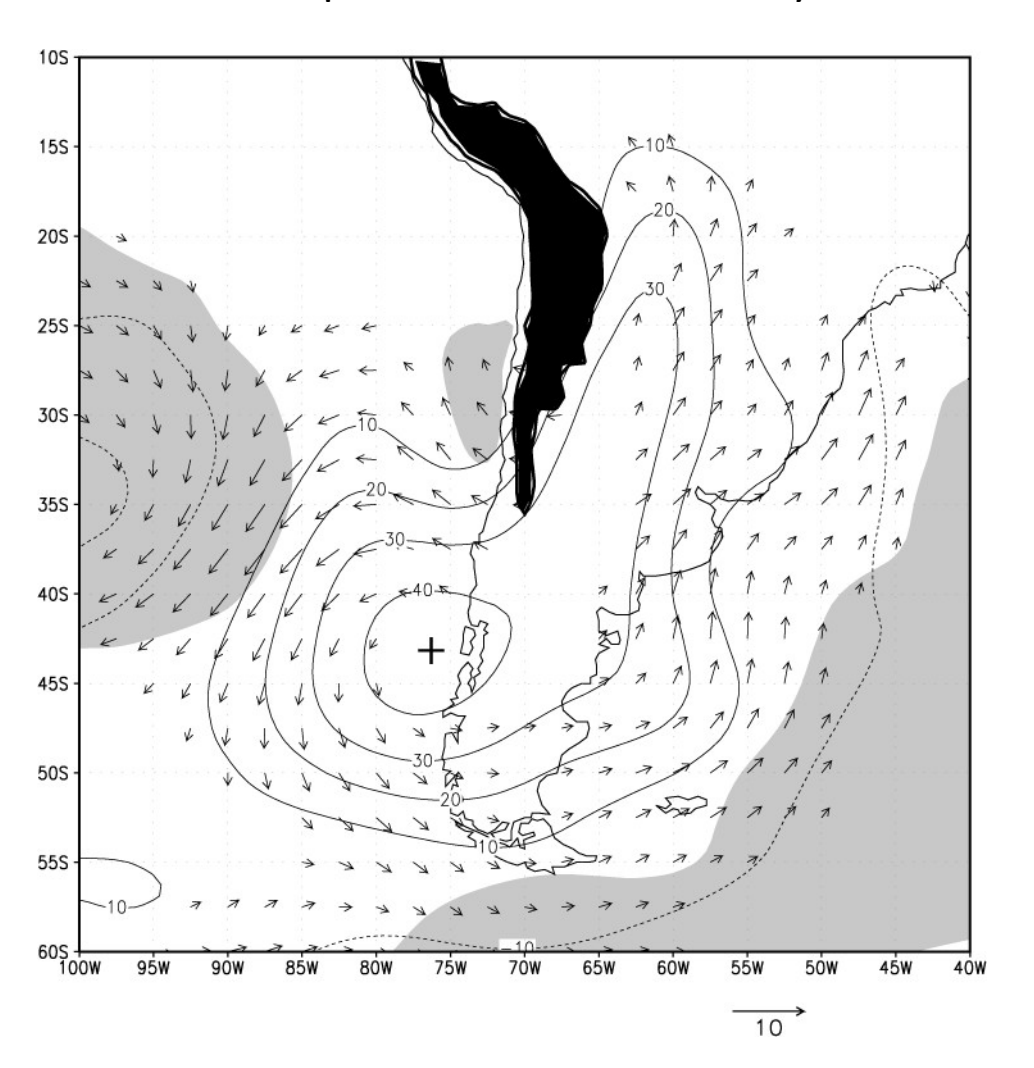


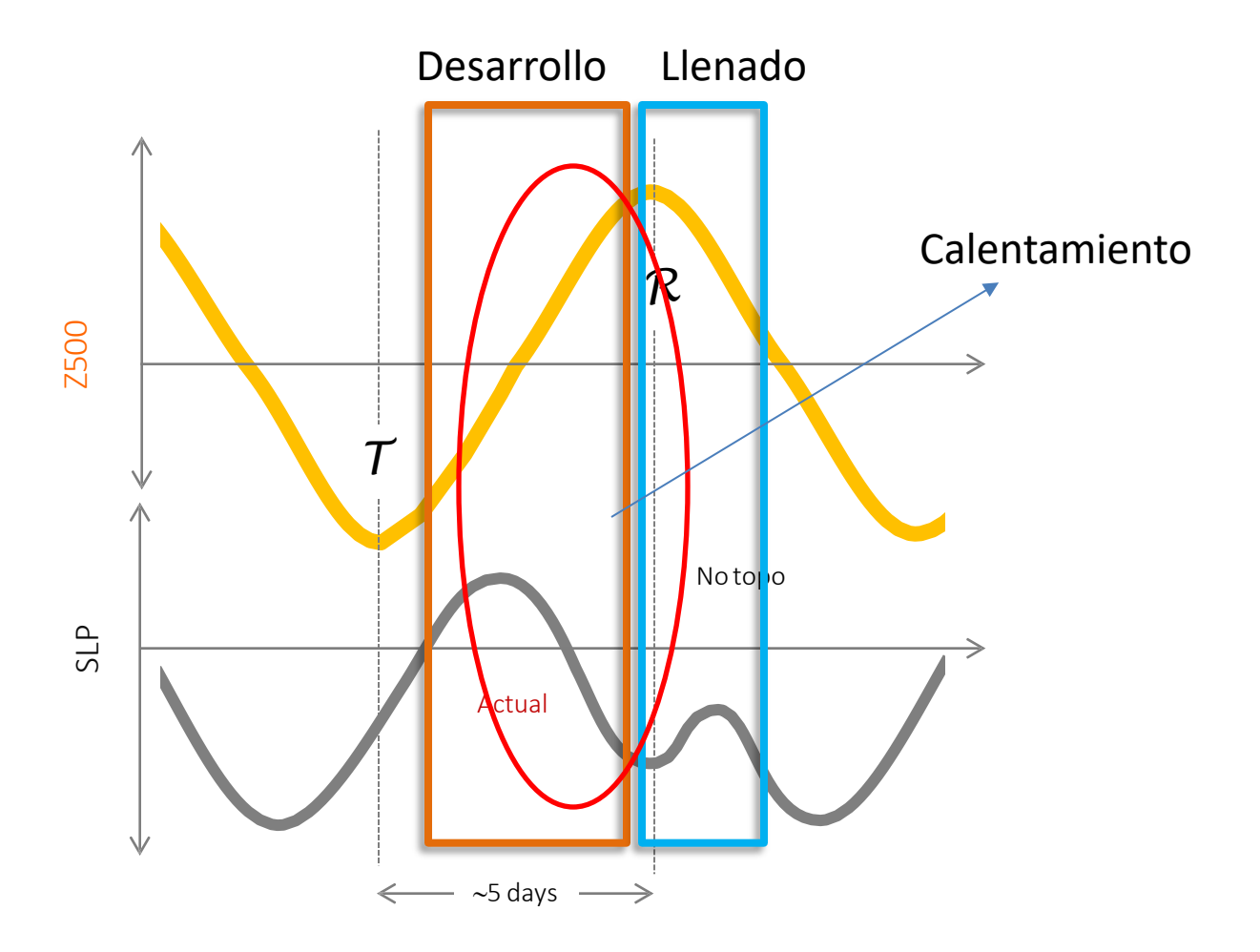


### Compuesto de PNM y Z500. Día 0 = culminación de la BC en LdV



Compuesto de anomalías de PNM y V900. Día 0 = culminación de la BC en LdV Área gris indica sector en que la PNM esta disminuyendo en 1 hPa/día





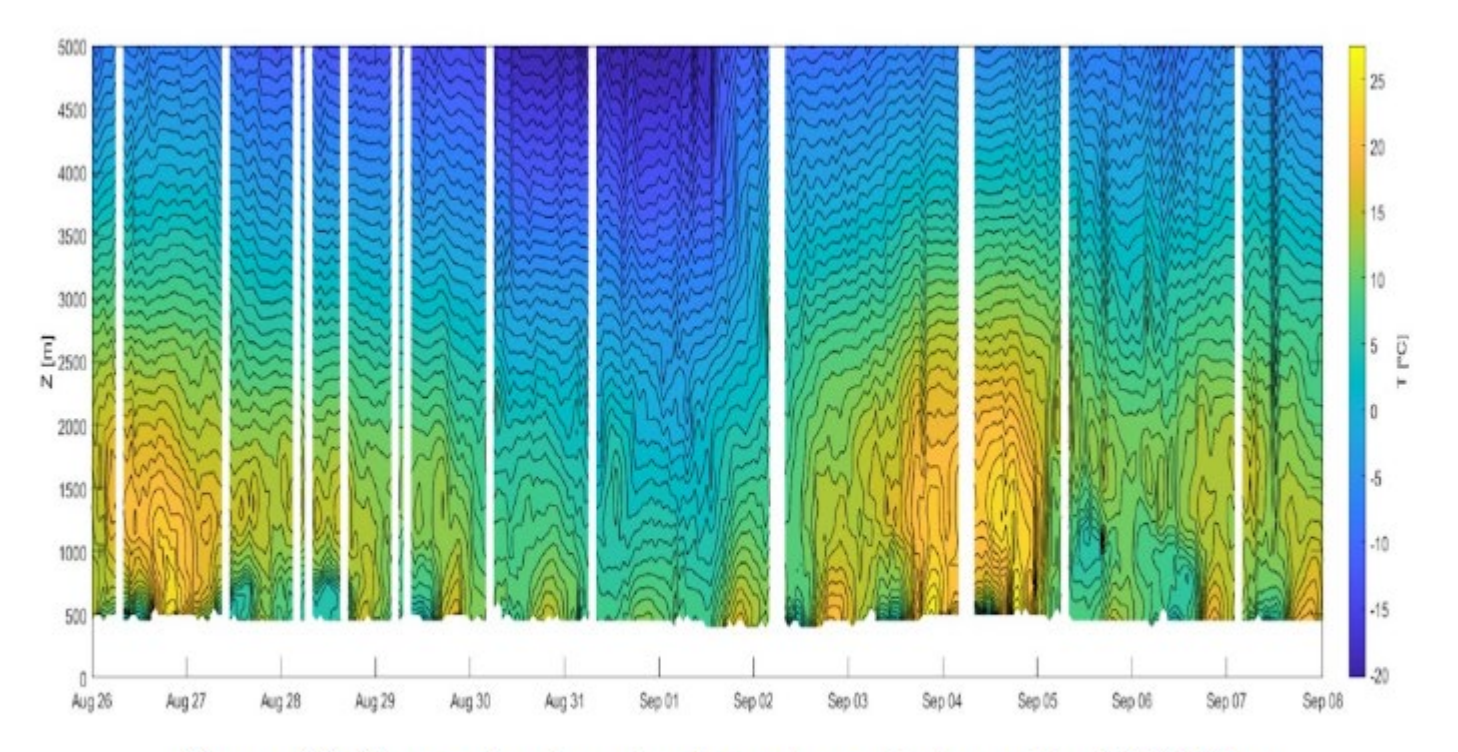
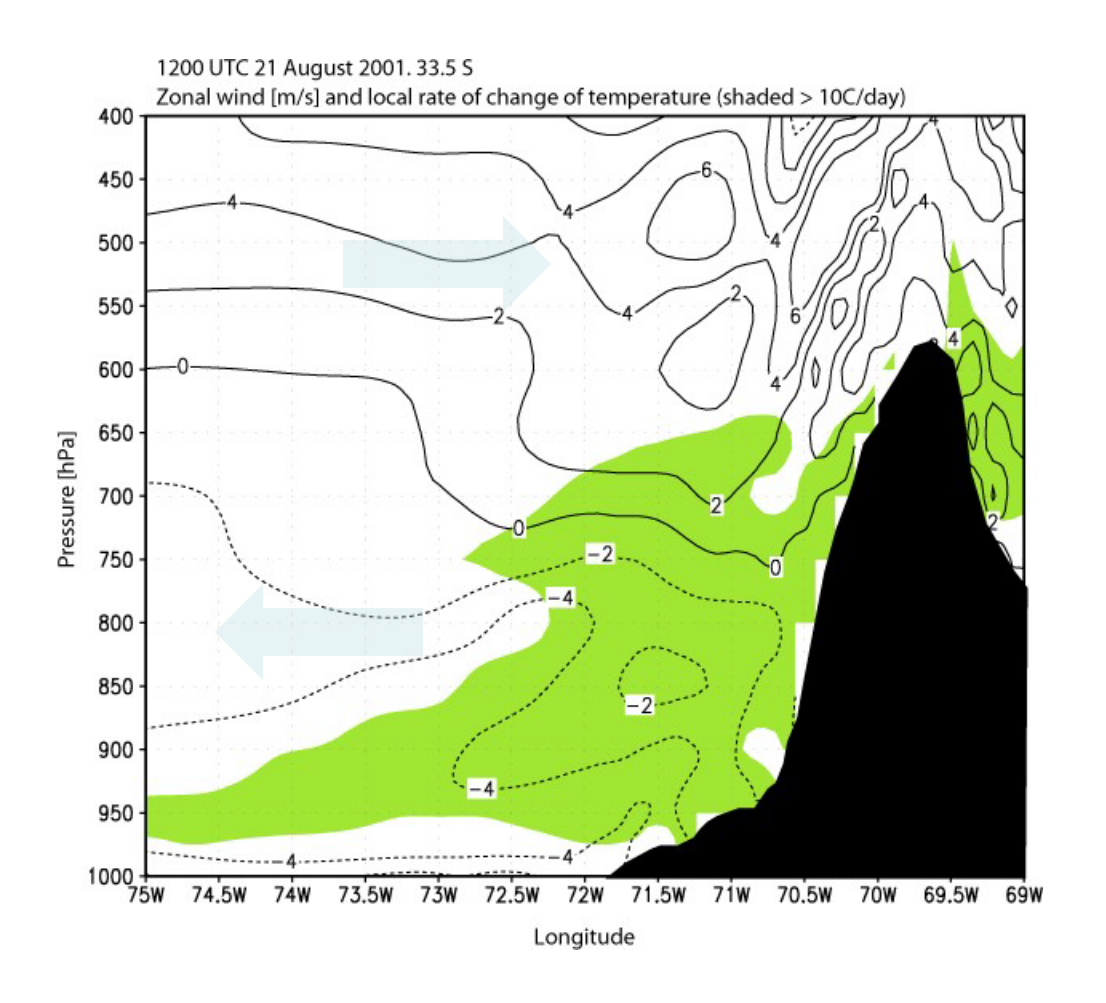


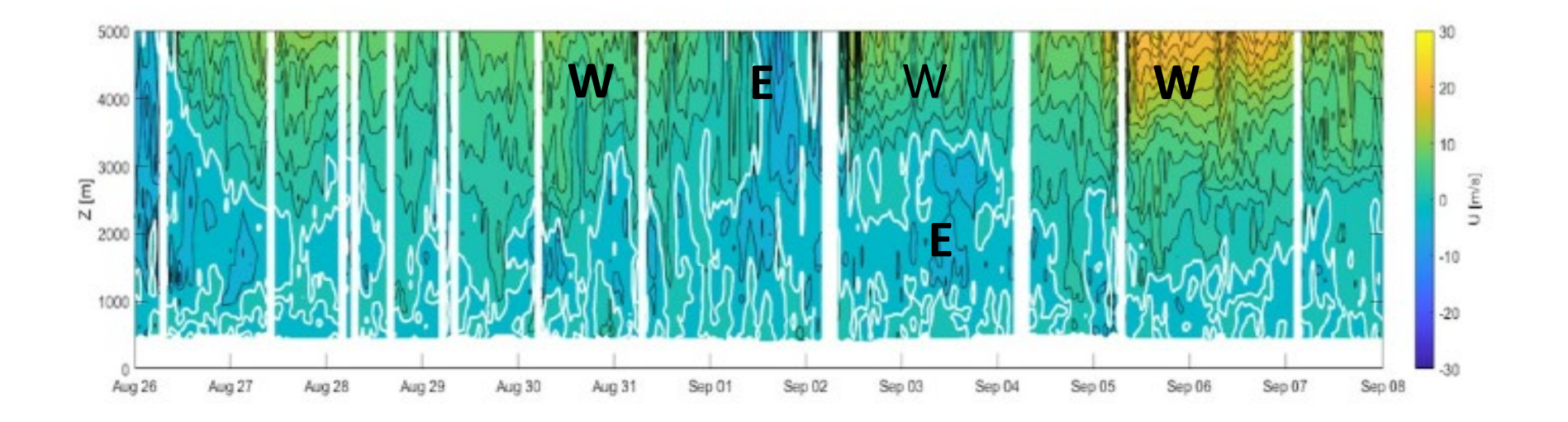
Figura 3.6: Temperatura horaria observada por instrumentos AMDAR en Pudahuel el año 2018, desde nivel suelo hasta 5000 m de altura.

CARACTERIZACIÓN DE PROCESOS DEL DESARROLLO DE BAJAS COSTERAS EN LA COSTA OESTE SUBTROPICAL DE SUDAMÉRICA

TESIS PARA OPTAR AL GRADO DE MAGÍSTER EN METEOROLOGÍA Y CLIMATOLOGÍA

### Simulación MM5 de Caso de Estudio: No Foehn!





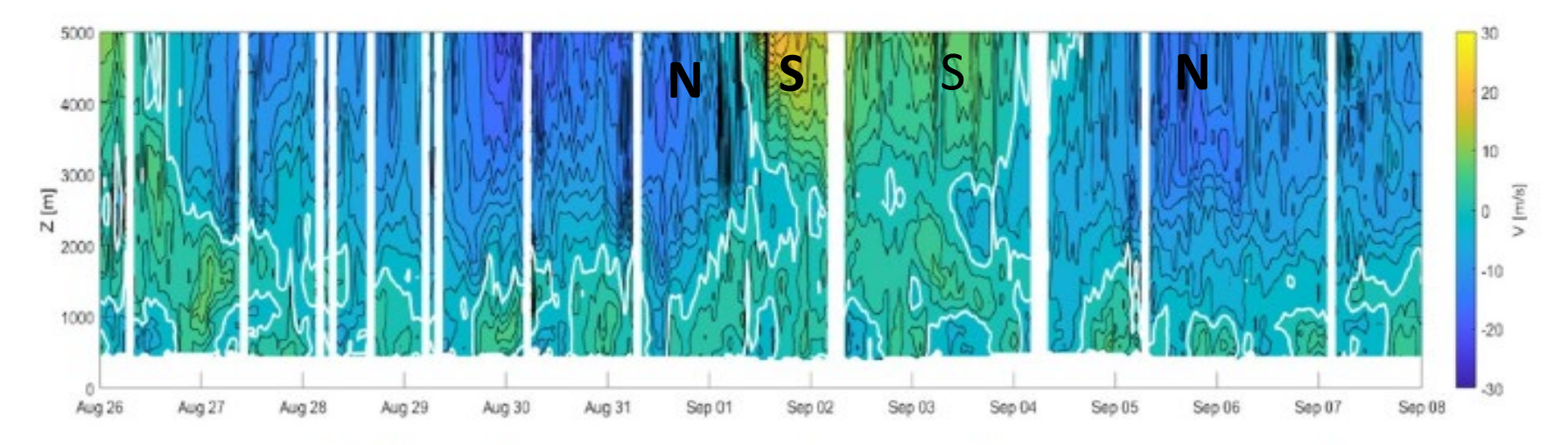
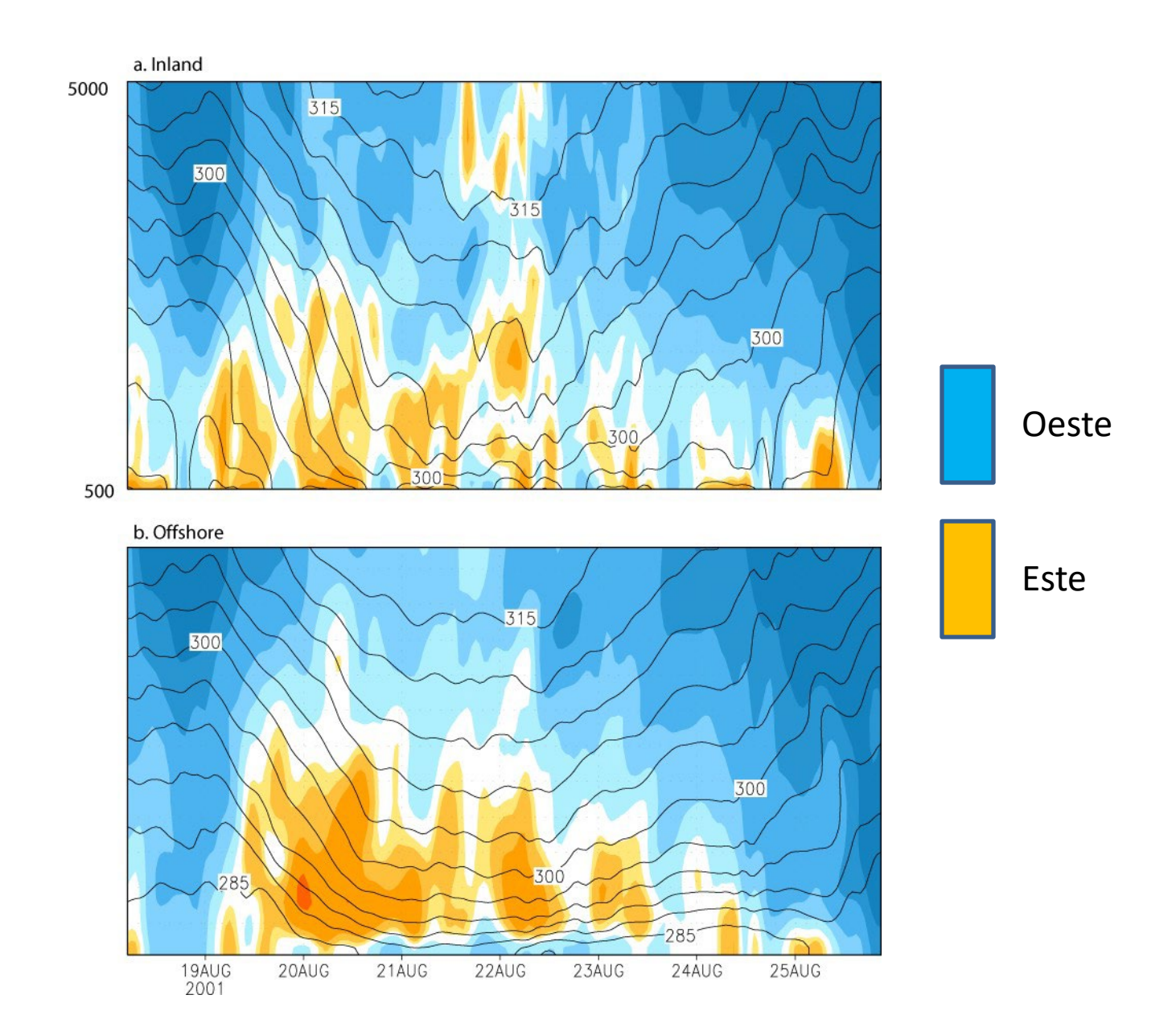
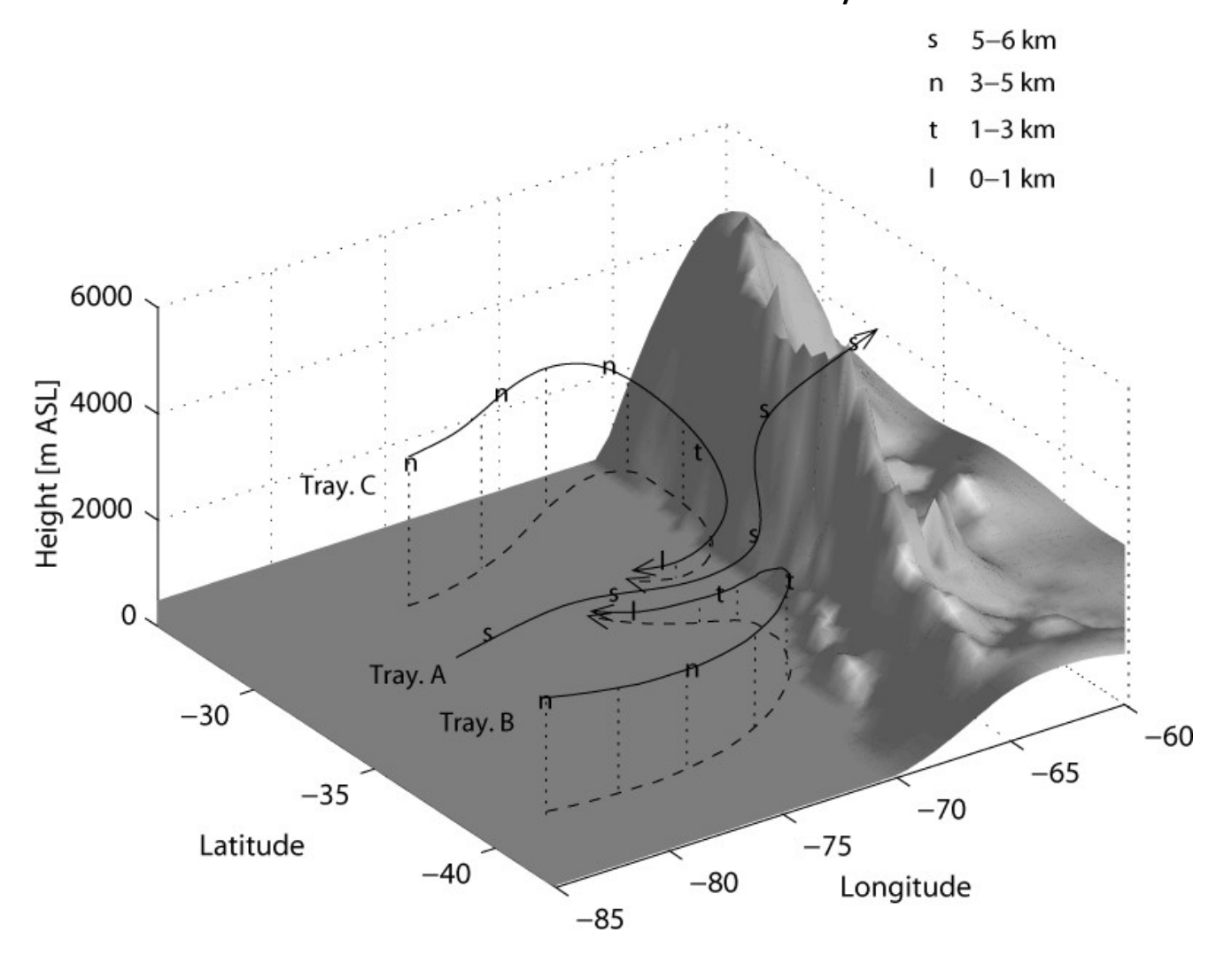


Figura 3.7: Vientos horarios zonal (arriba) y meridional (abajo) observados por instrumentos AMDAR en Pudahuel, en 2018, desde nivel suelo hasta 5000 m de altura.

### Caso de Estudio: Corte tiempo-altura de theta y U

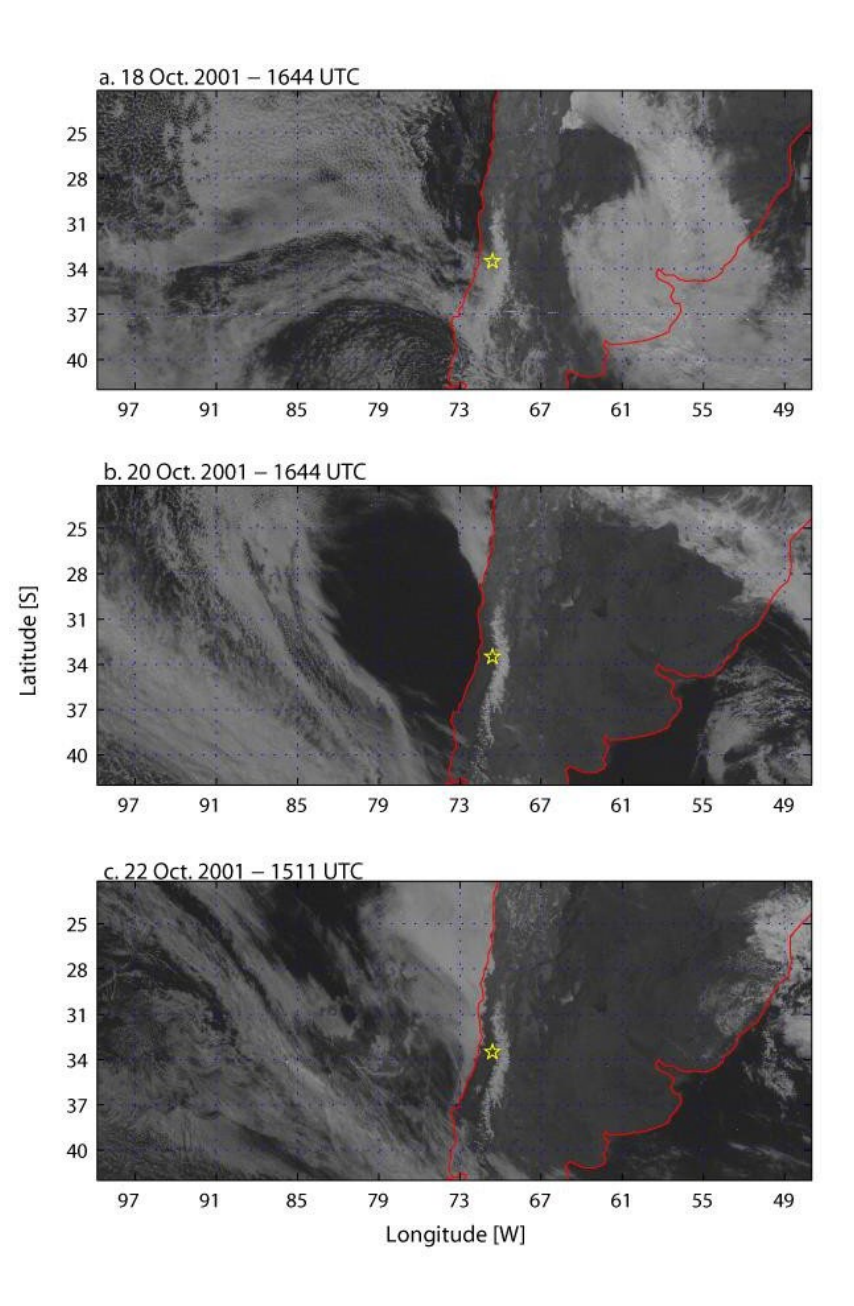


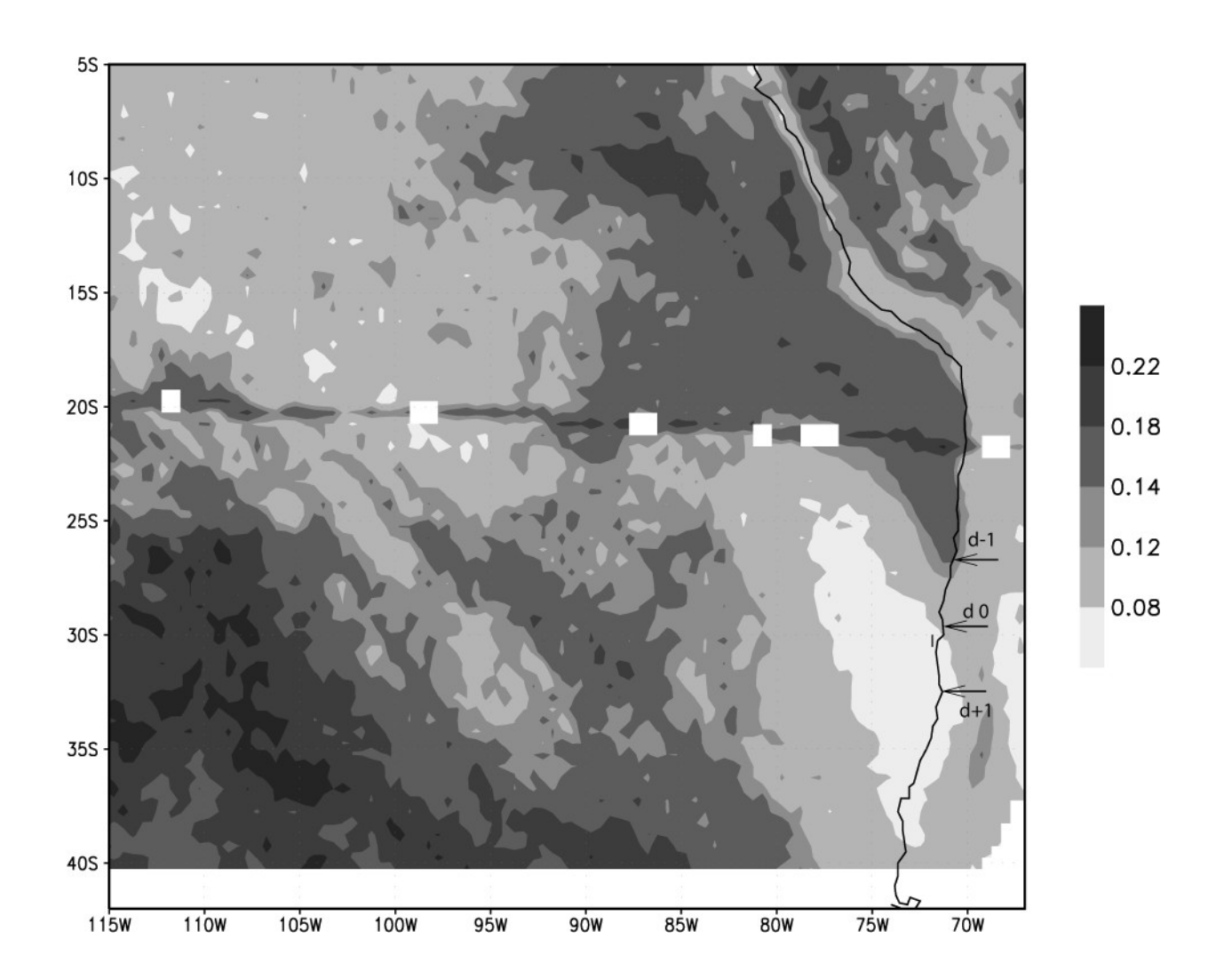
### Simulación MM5 de Caso de Estudio. Trayectorias



### Nubosidad

### Caso de Estudio





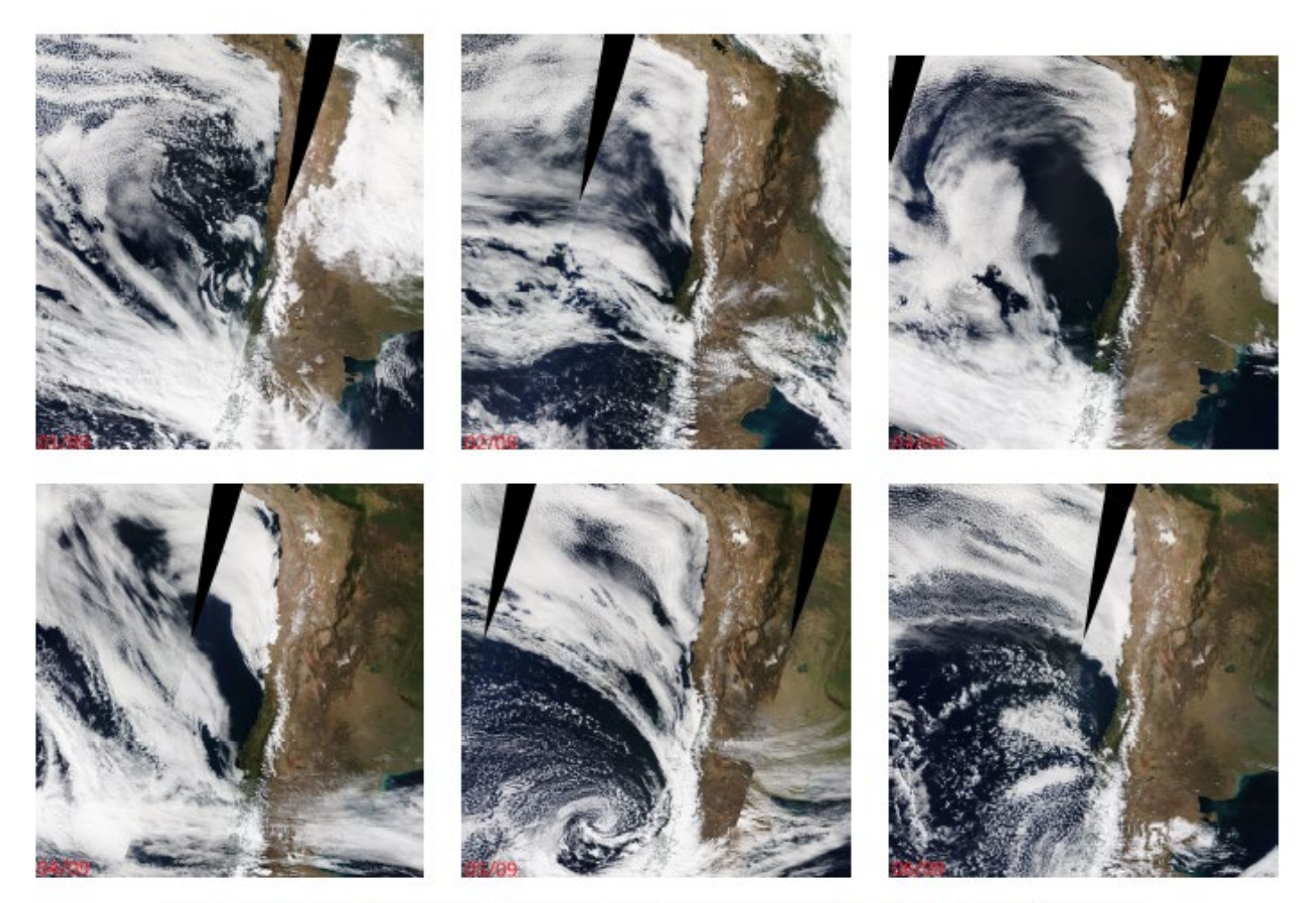


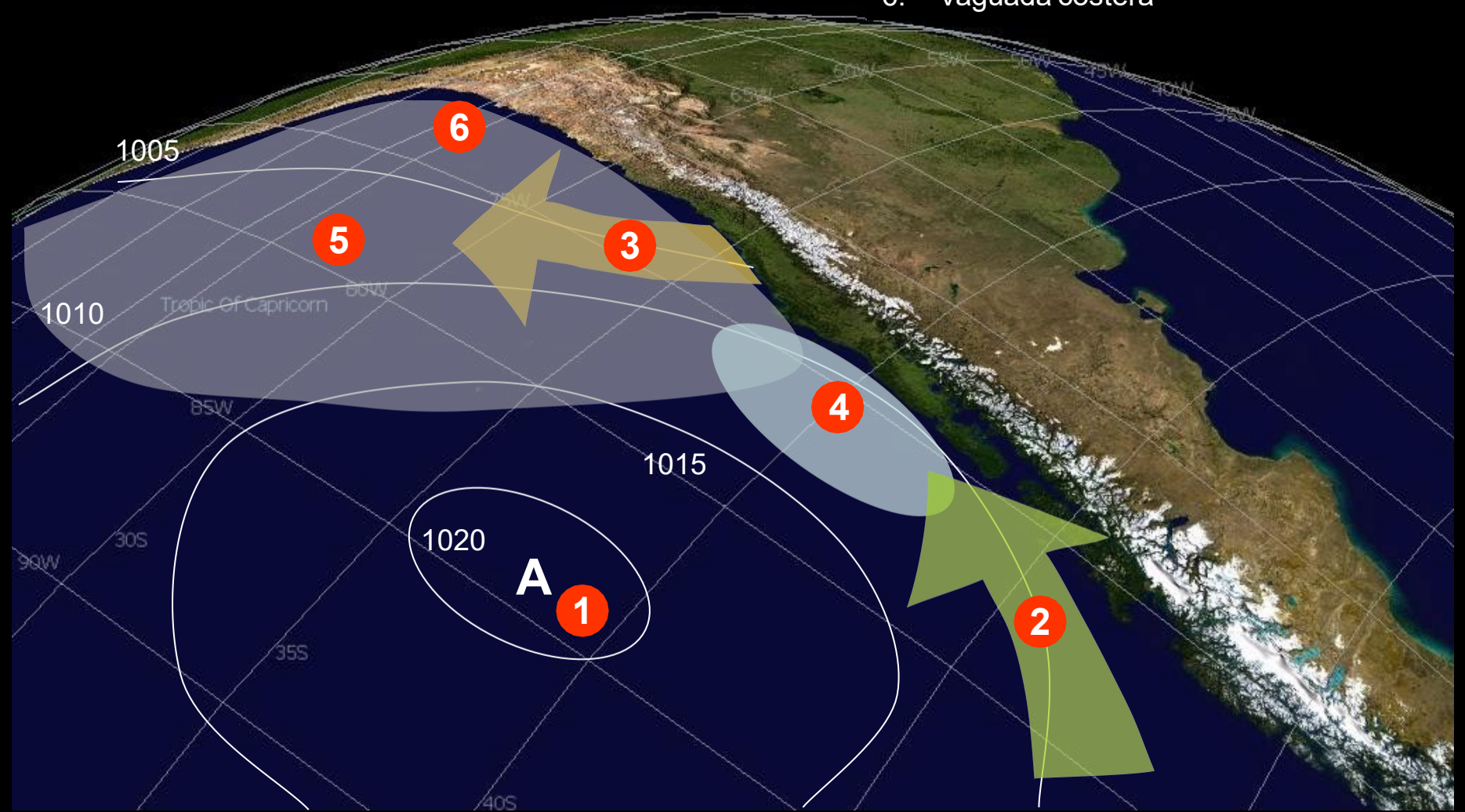
Figura 3.5: Imágenes satelitales de MODIS/TERRA (canal visible) de la costa oeste subtropical sudamericana. En orden cronológico, el pa Caracterización de procesos del desarrollo de bajas costeras en la costa oeste subtropical de sudamérica rior izquierdo corresponde al día 1 de septiembre y el panel inferio al día 6 de septiembre, a las 1830Z (aprox). La culminación se ul el tercer y cuarto panel.

TESIS PARA OPTAR AL GRADO DE MAGÍSTER EN METEOROLOGÍA Y CLIMATOLOGÍA



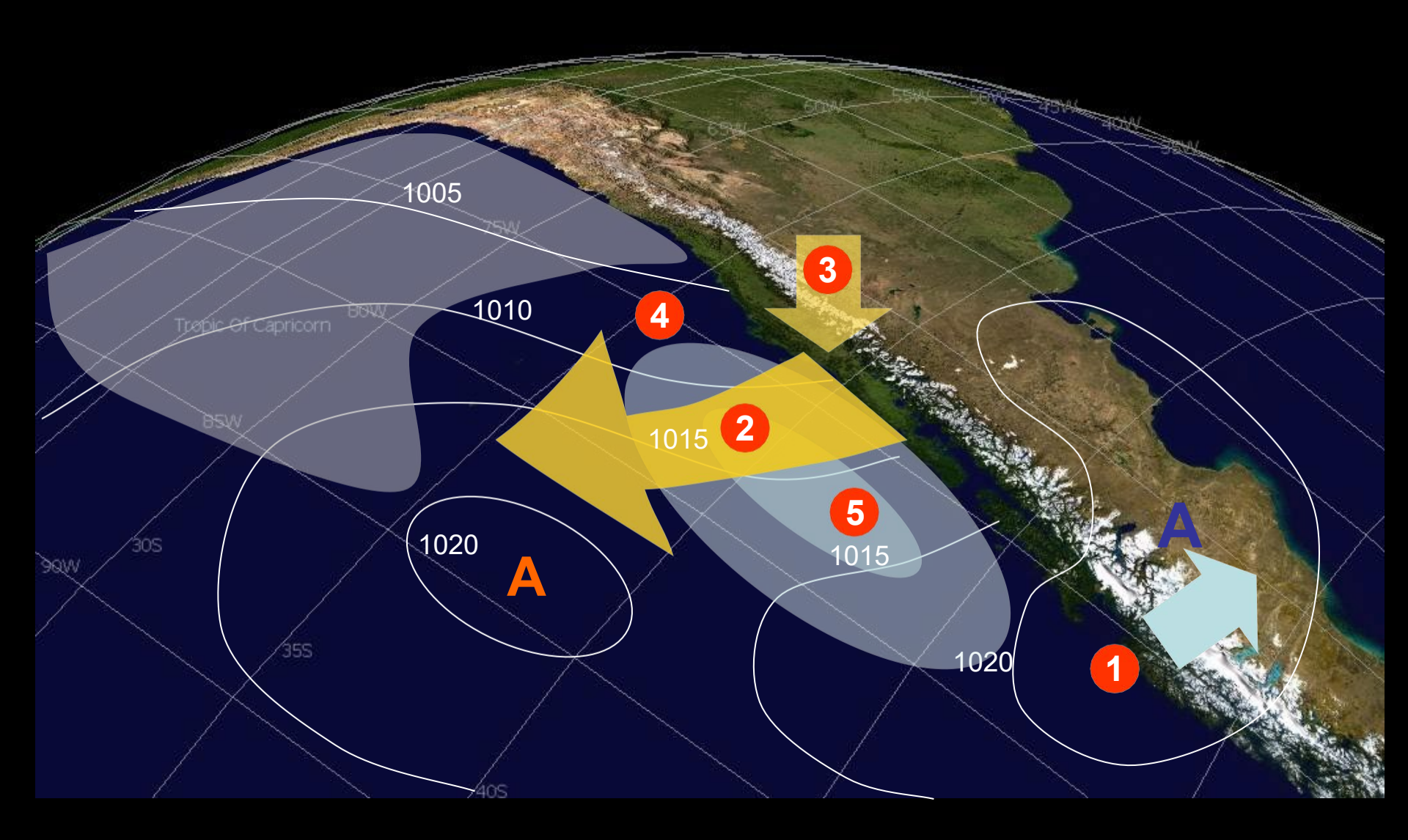
## 1. Condiciones climatologicas (no-perturbadas)

- 1. Anticiclón subtropical
- 2. Flujo hacia la costa (W)
- 3. Debíl flujo desde la costa (E)
- 4. Corriente en chorro costera (S)
- 5. Cubierta de SCu en el tope de la CLM
- 6. Vaguada costera



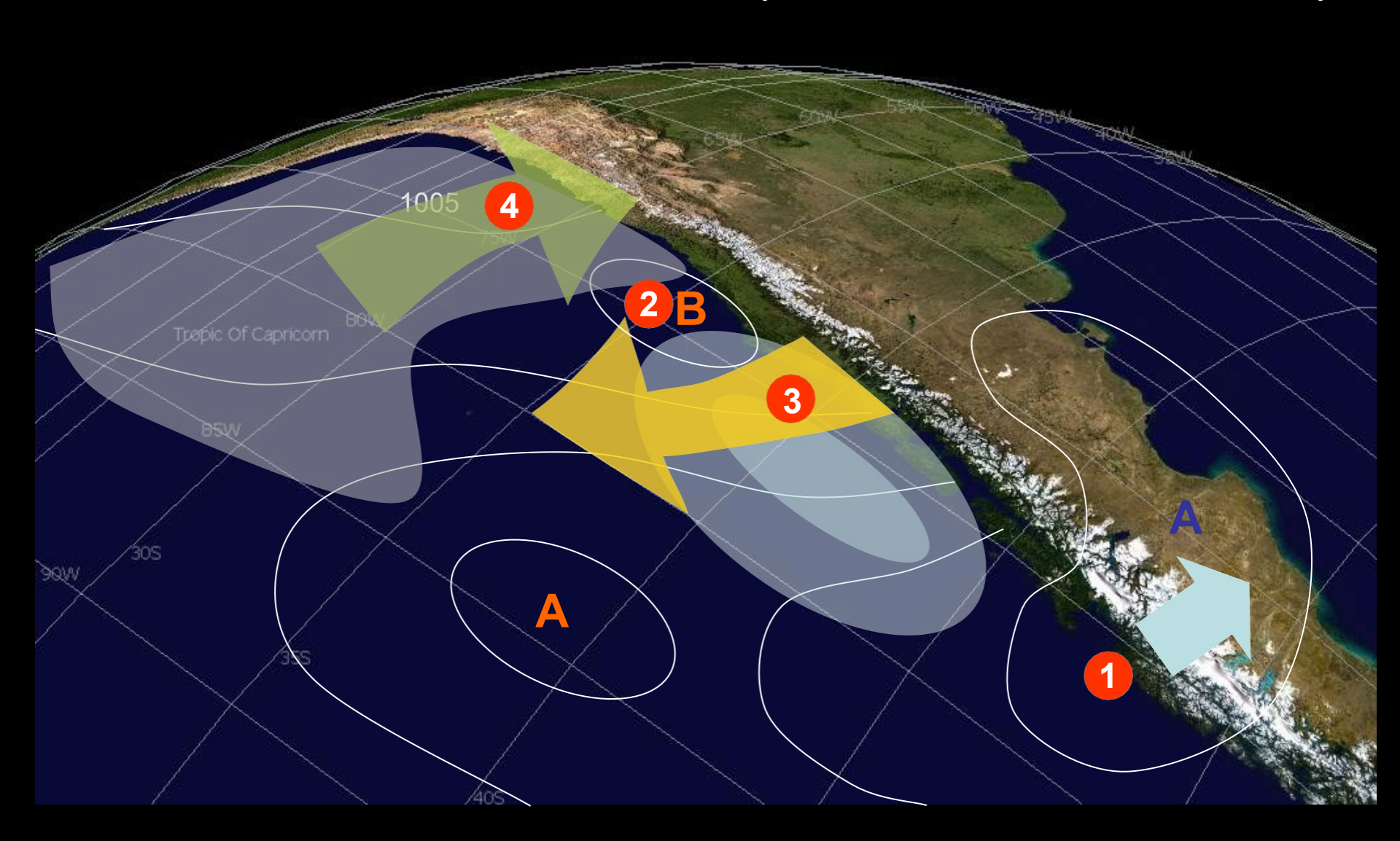
### Fase de Desarrollo

- I. Anticiclón frío migratorio  $\rightarrow \partial p/\partial y < 0$
- 2. Flujo desde la costa se intensifica y expande al sur
- 3. Subsidencia forzada sobre ladera andina
- 4. Depresión de la CLM y disipación de SCu
- 5. Jet costero se intensifica

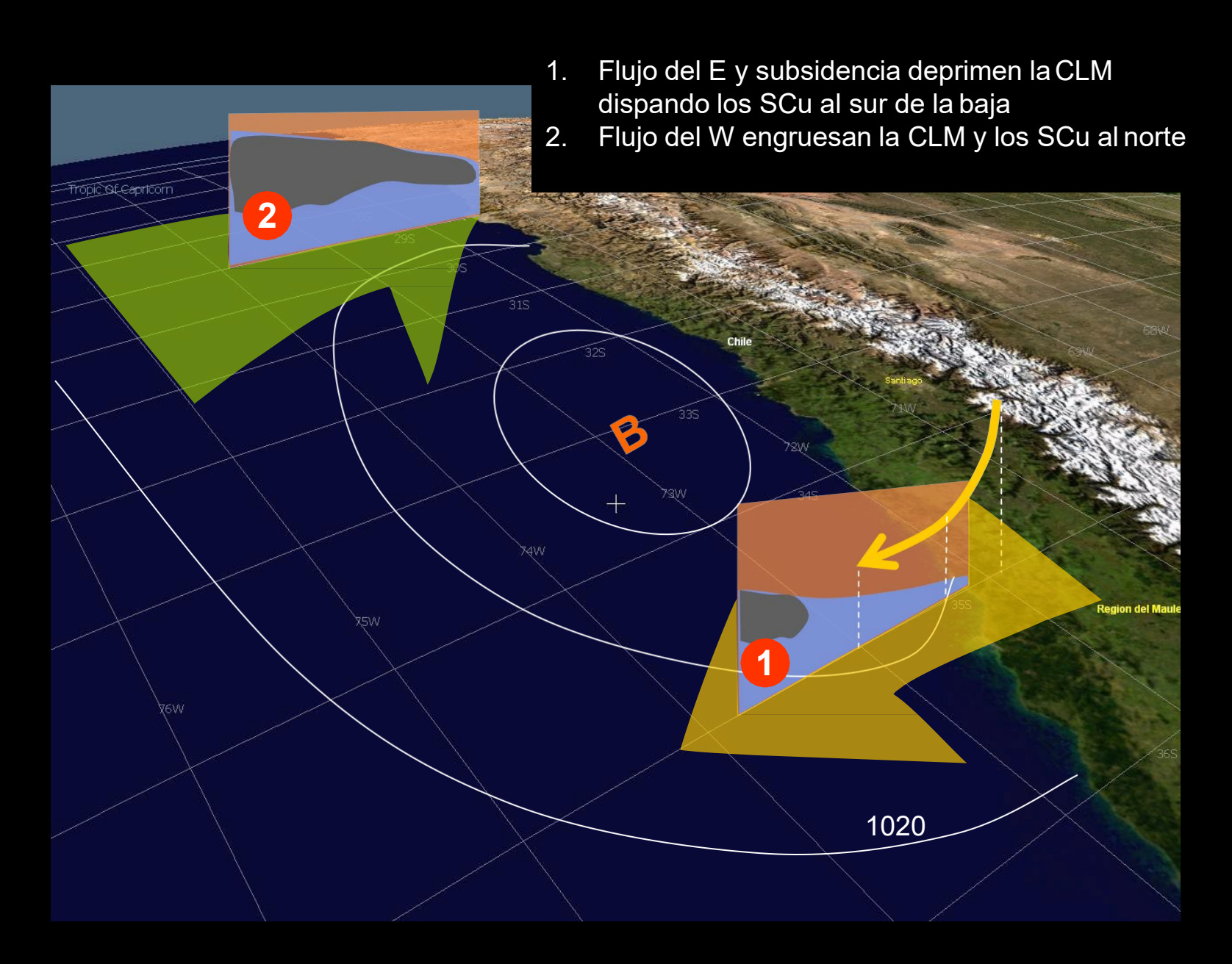


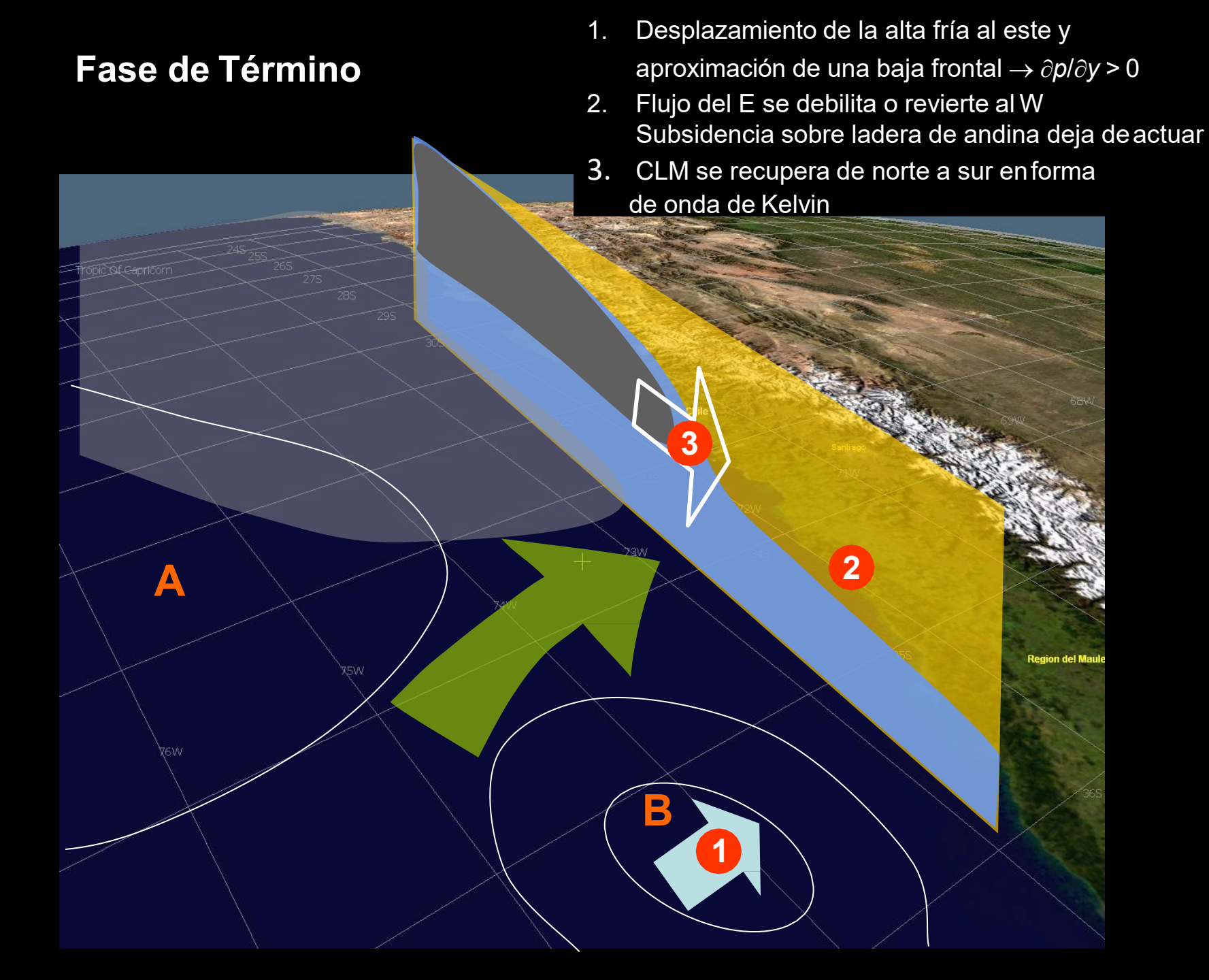
# Culminación

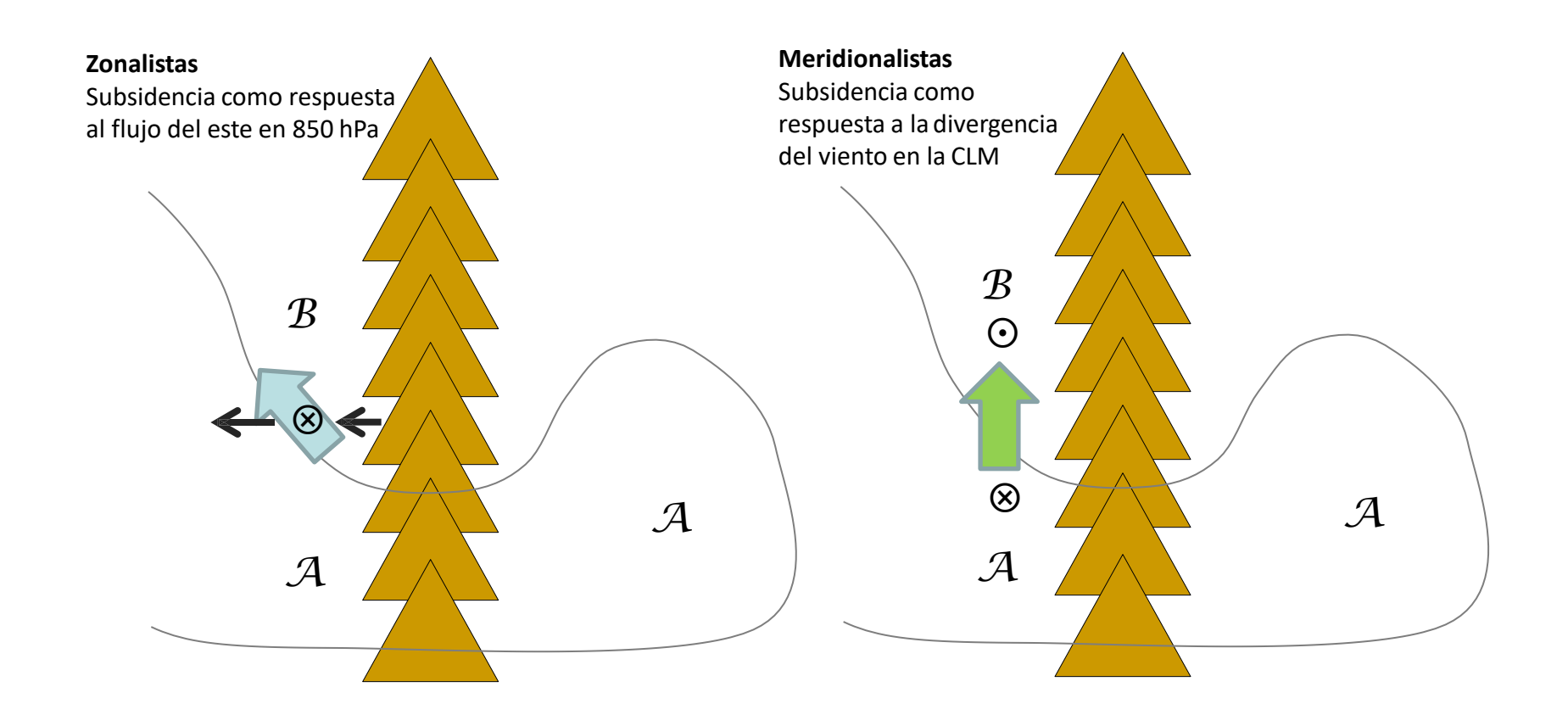
- 1. Anticiclón frío migratorio aun sobre el sur de Chile
- 2. Baja costera intensifica  $\partial p/\partial y < 0$  al sur de la baja
- 3. Flujo del E se intensifica al sur de la baja
- 4. Flujo hacia la costa se intensifica al norte de labaja



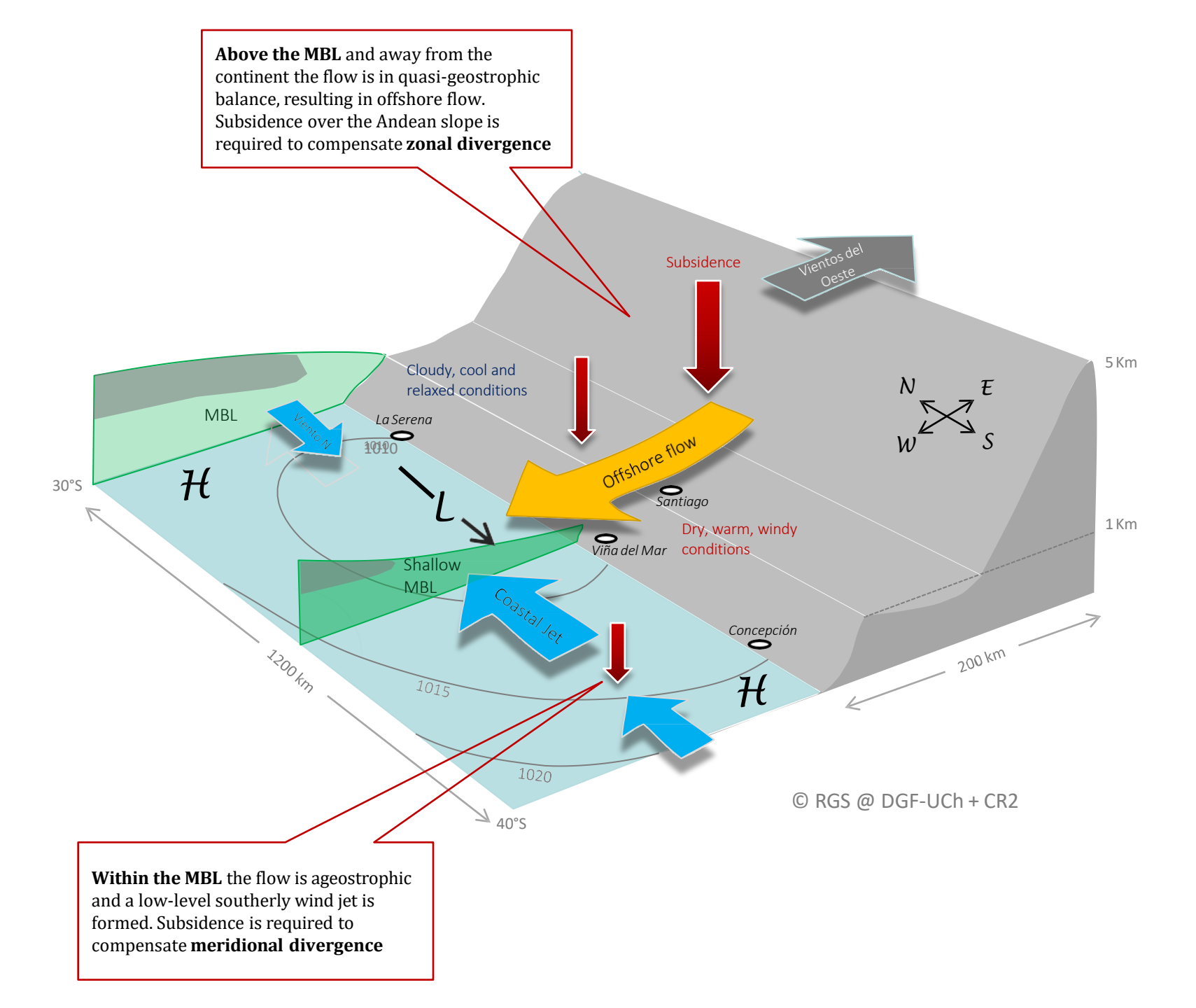
# Estructura vertical durante la culminación

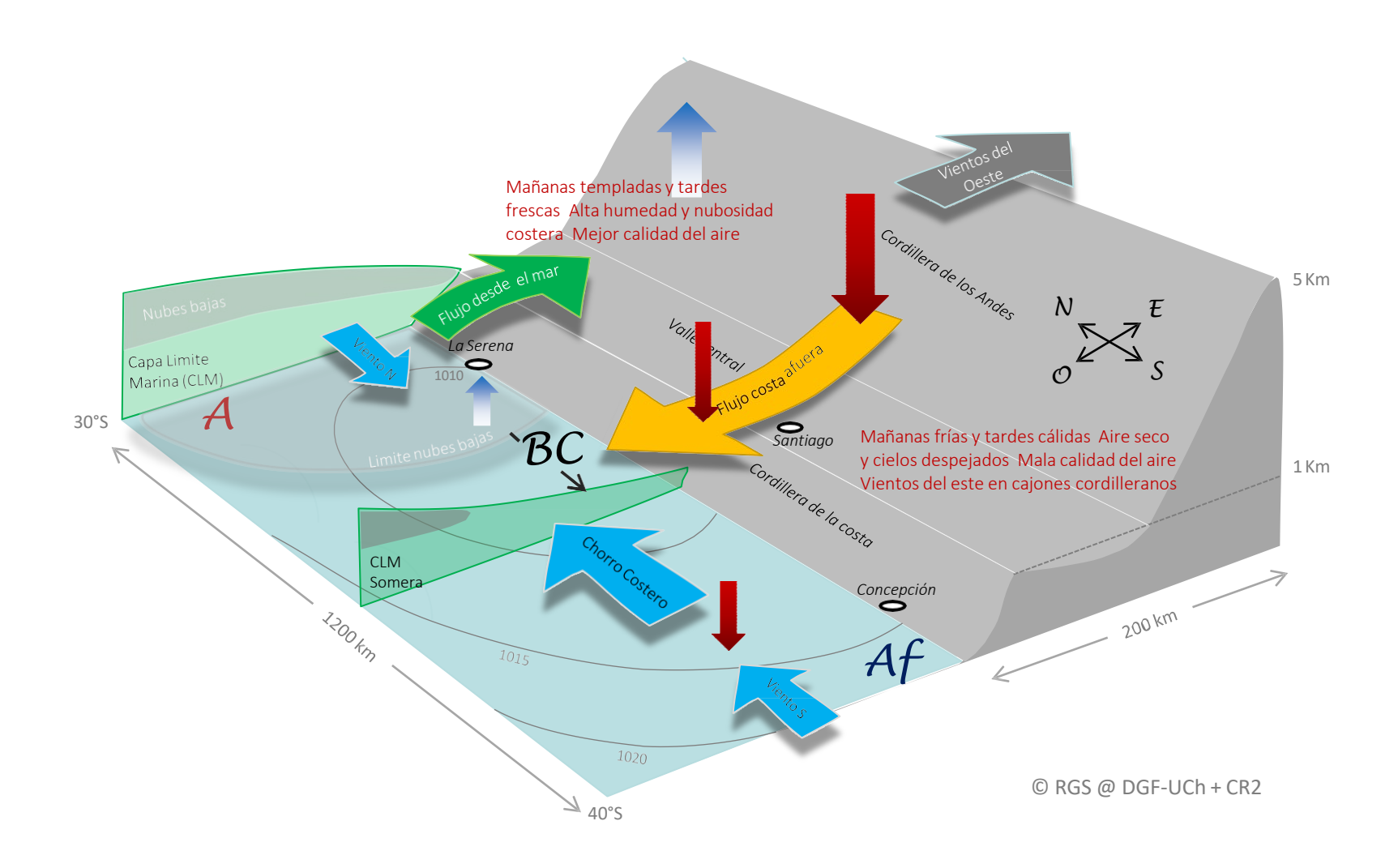


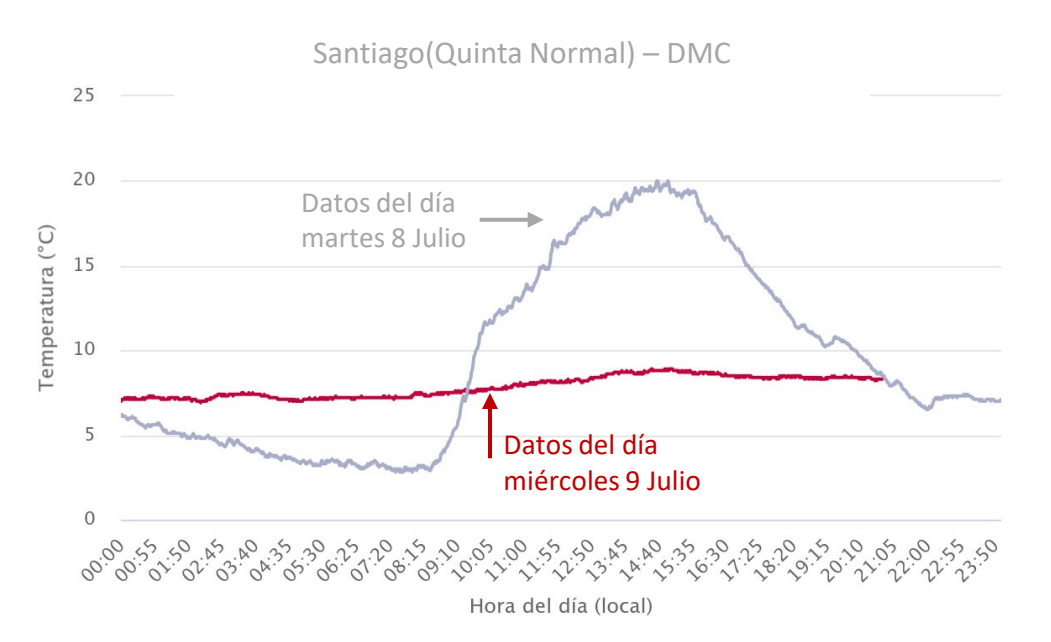




En ambos casos, la subsidencia compensa divergencia horizontal, de manera que por si sola no hace cambiar la presión en superficie.







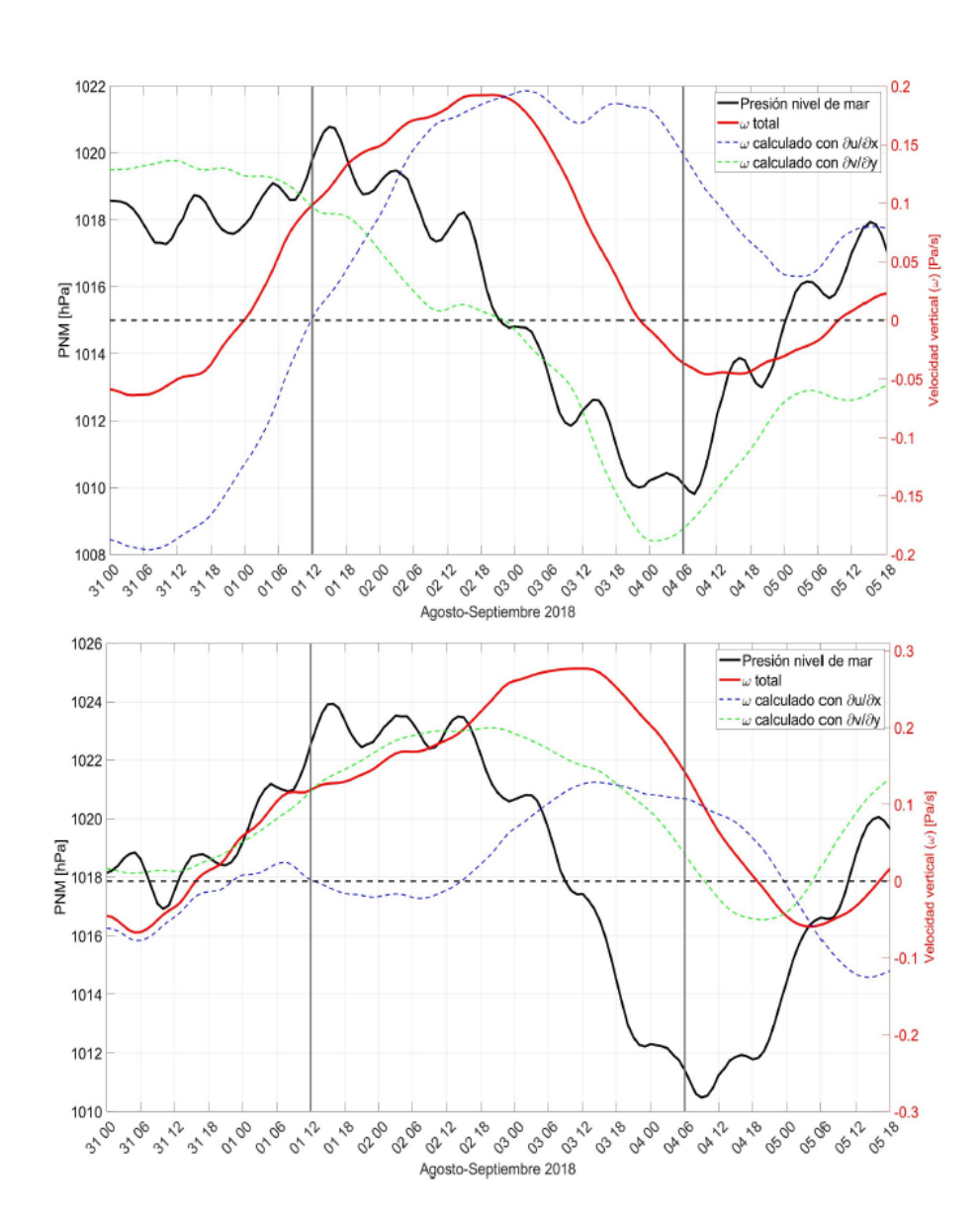


#### CARACTERIZACIÓN DE PROCESOS DEL DESARROLLO DE BAJAS COSTERAS EN LA COSTA OESTE SUBTROPICAL DE SUDAMÉRICA

TESIS PARA OPTAR AL GRADO DE MAGÍSTER EN METEOROLOGÍA Y CLIMATOLOGÍA

ÁLVARO JAVIER CÉSPED CHEA

Figura 4.18: Serie temporal de la velocidad vertical  $(\omega)$  en 900 hPa calculada a través de método cinemático considerando la divergencia horizontal de viento (curva roja sólida), la componente zonal (curva azul entrecortada) y la componente meridional (curva verde entrecortada), en valores de Pa/s. La línea negra entrecortada marca el cambio de signo para la velocidad vertical, mientras que la curva negra sólida muestra la presión en superficie en hPa. El panel superior corresponde al promedio calculado para el sector norte (entre 25 y 30°S), y el inferior para el sector sur (30 y 35°S).



# Impactos locales

Análisis Compuestos (Garreaud et al. 2002) Mediciones (Rutllant & Garreaud 2004) Simulación de un caso (Garreaud & Rutllant 2003)

# Vaguadas Costeras en Chile Central

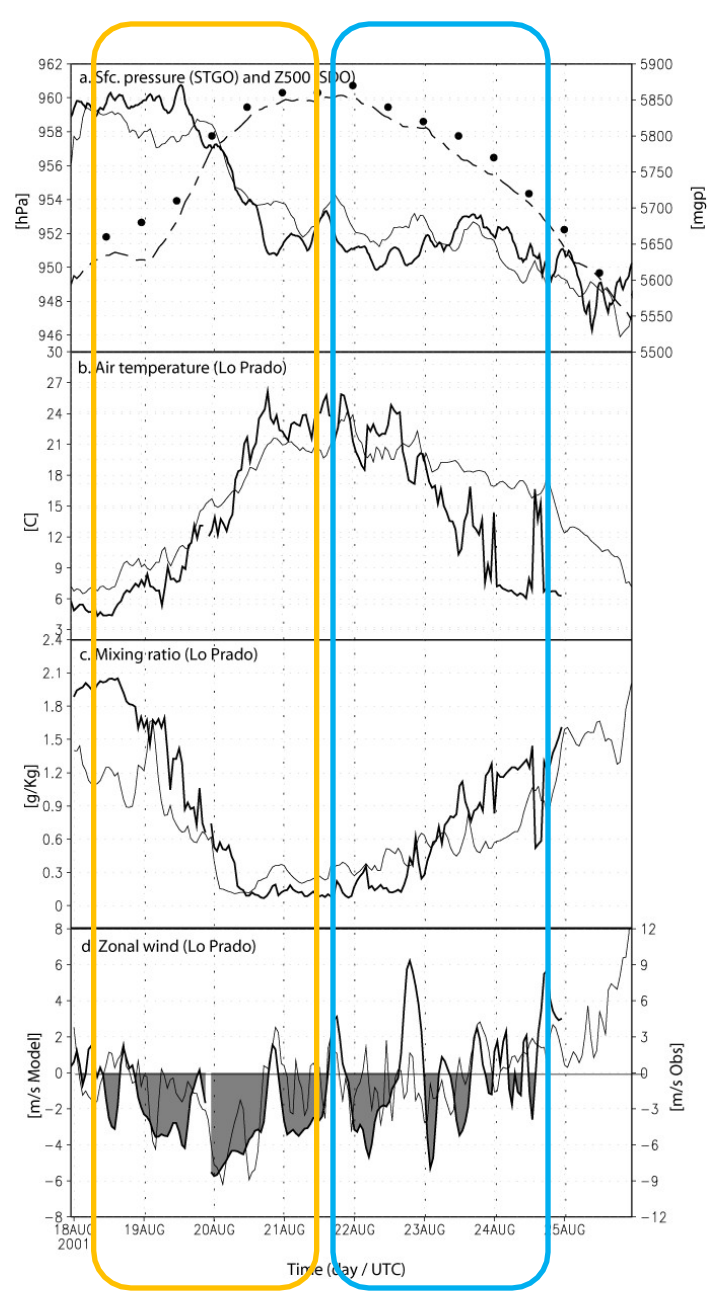
### Fenómenos de meteorología local asociados a fase de desarrollo:

- Gran amplitud térmica en valles interiores: Tn ~0°C, Tx ~20°C
- Condiciones muy secas (HR<30%, q<3 g/kg) y calmas (ff<1 m/s)</li>
- Temperaturas altas en torno a lo 1000 m de altura
- Cielos mayormente despejados
- Episodios de contaminación en valles interiores
- Vientos del sur fuertes en zonas costeras (surazos)
- Surgencia muy activa en zonas costeras (TSM por debajo de lo normal)

#### Fenómenos de meteorología local asociados a fase de término:

- Entrada de aire marino y nieblas a valles interiores
- Marcada reducción de Tx y aumento de HR y nubosidad
- •Marcada disminución del viento S e incluso puede aparecer viento N en la costa

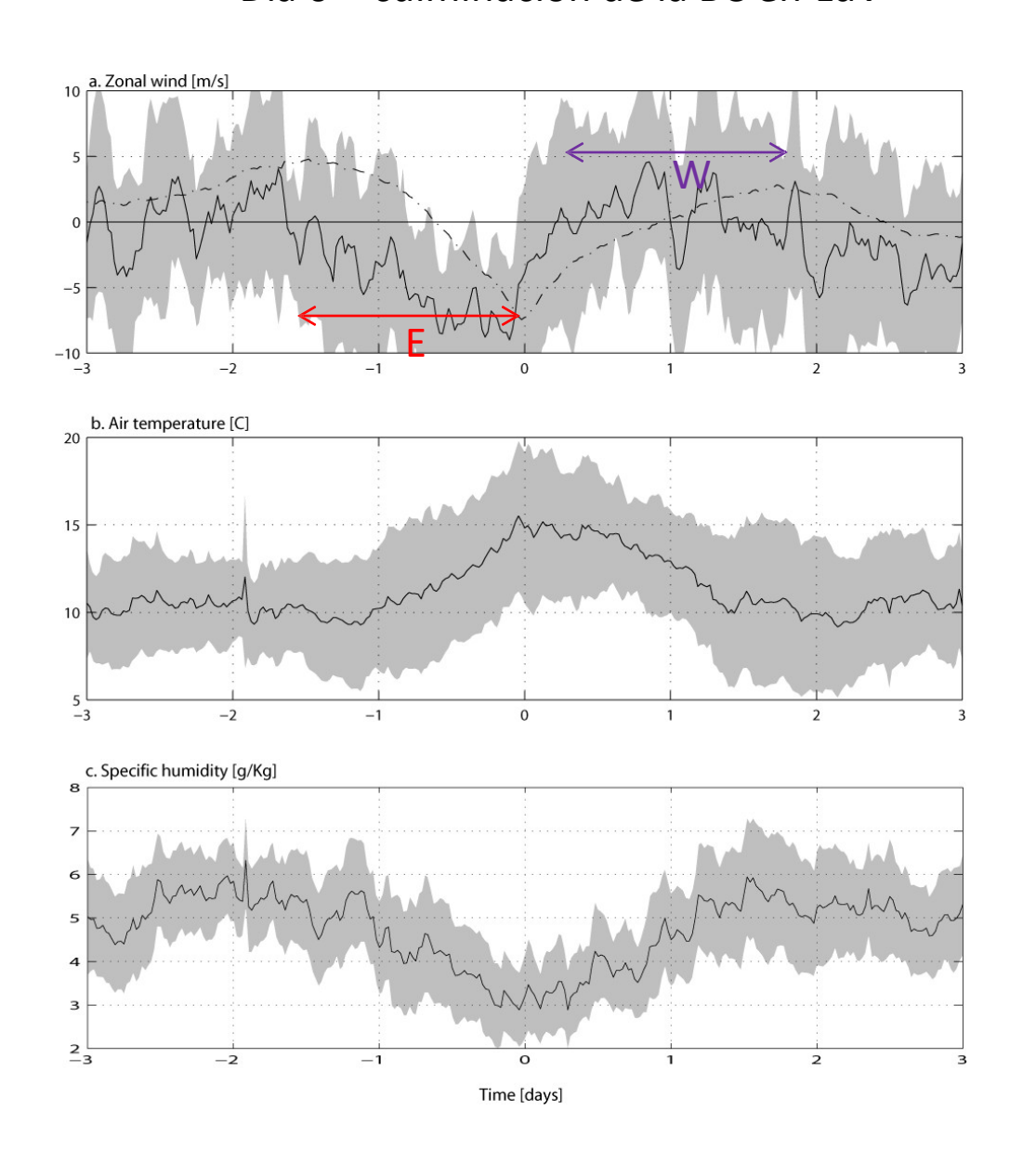
#### Caso de Estudio



Las BC no son como una depresión de latitudes medias!

Caída de la presión en superficie durante aproximación de la Dorsal en Troposfera Media....las BC

## Compuesto en Lo Prado. 33°S, cerca de Santiago pero a 1000 msnm Día 0 = culminación de la BC en LdV



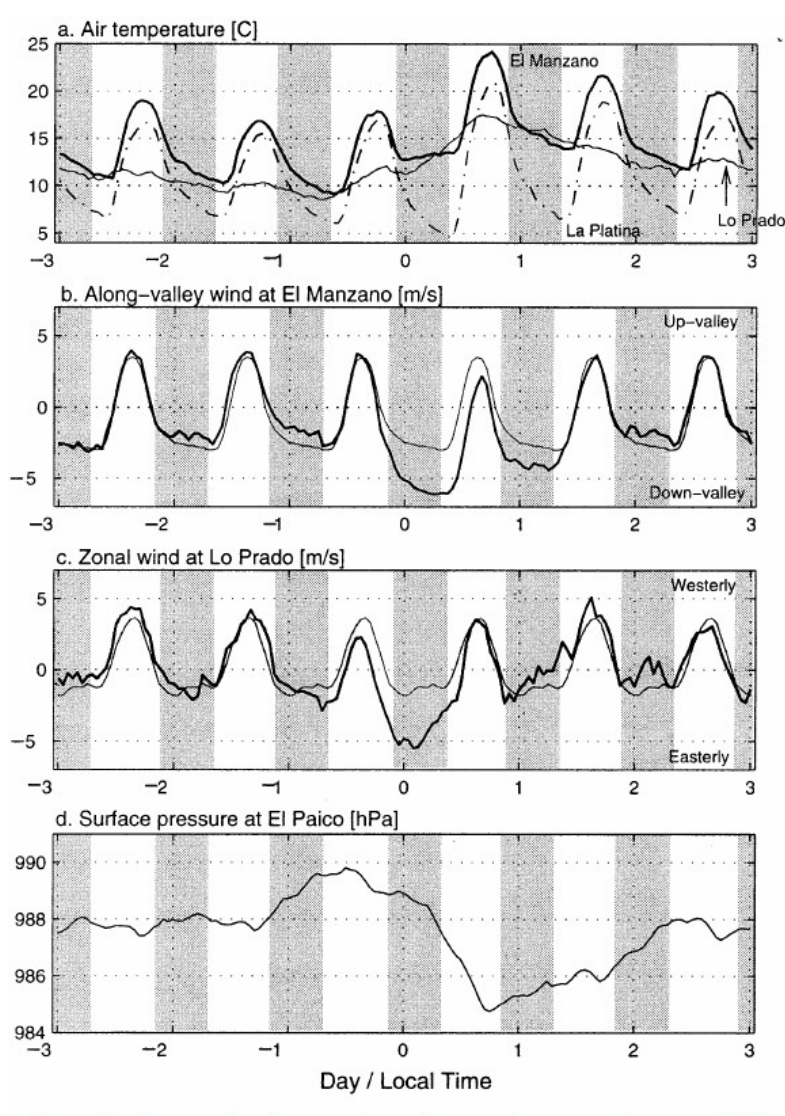
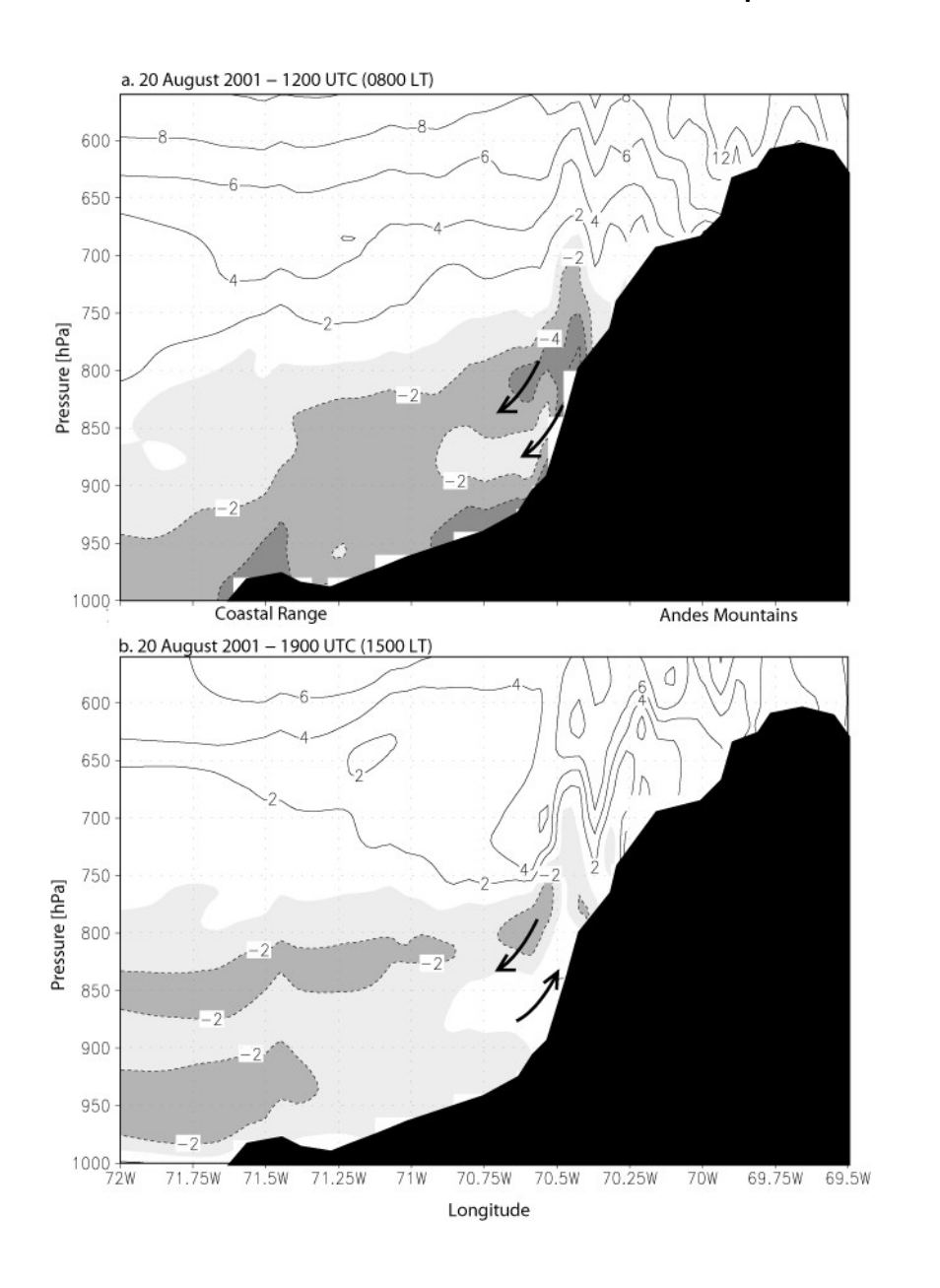
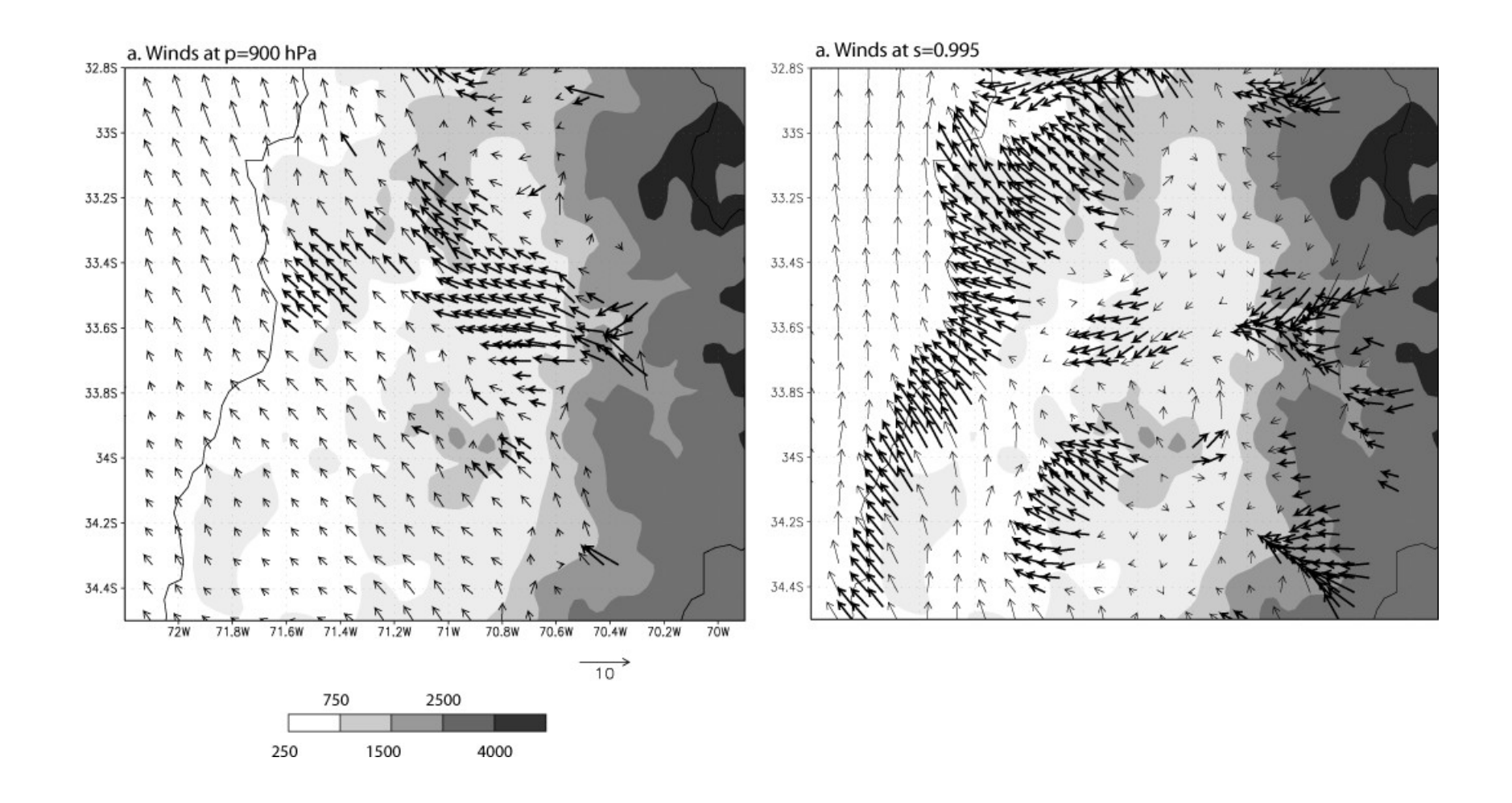


FIG. 7. Composite time series of several near-surface variables centered on day 0 [peak of each strong downslope wind (Raco) episode at El Manzano]. Light shaded areas indicate nighttime periods. (a) Air temperature at El Manzano (thick solid line), La Platina (dot-dashed line), and Lo Prado (thin solid line). (b) Along-valley wind speed composite at El Manzano (thick line) and seasonal mean (thin line). Negative values indicate downvalley flow. (c) Zonal wind composite at La Obra (thick line) and seasonal mean (thin line). (d) Surface pressure at El Paico.

## Simulación MM5 de Caso de Estudio. Componente Zonal a 33°S



## Simulación MM5 de Caso de Estudio. Vientos niveles bajos cerca de momento de culminación



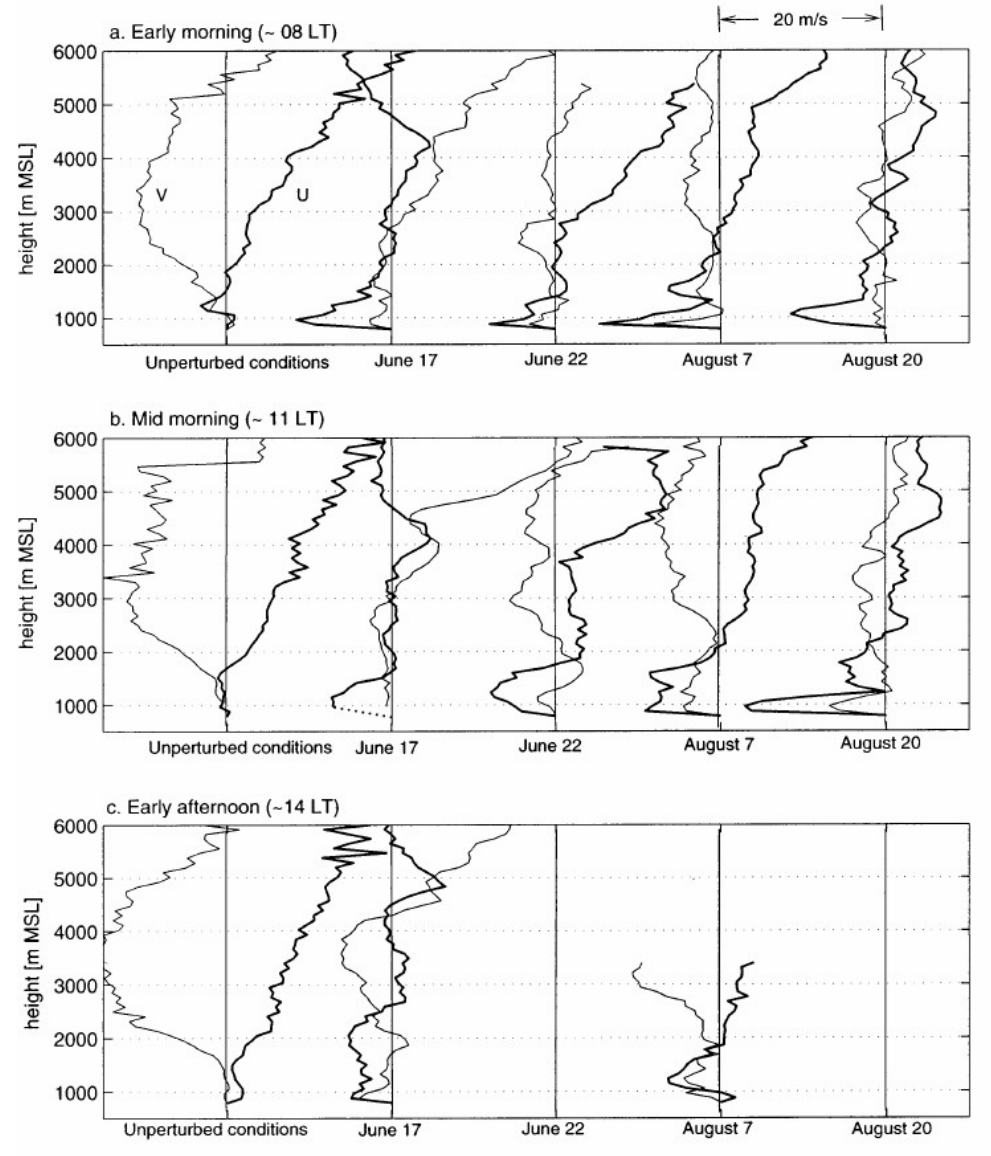
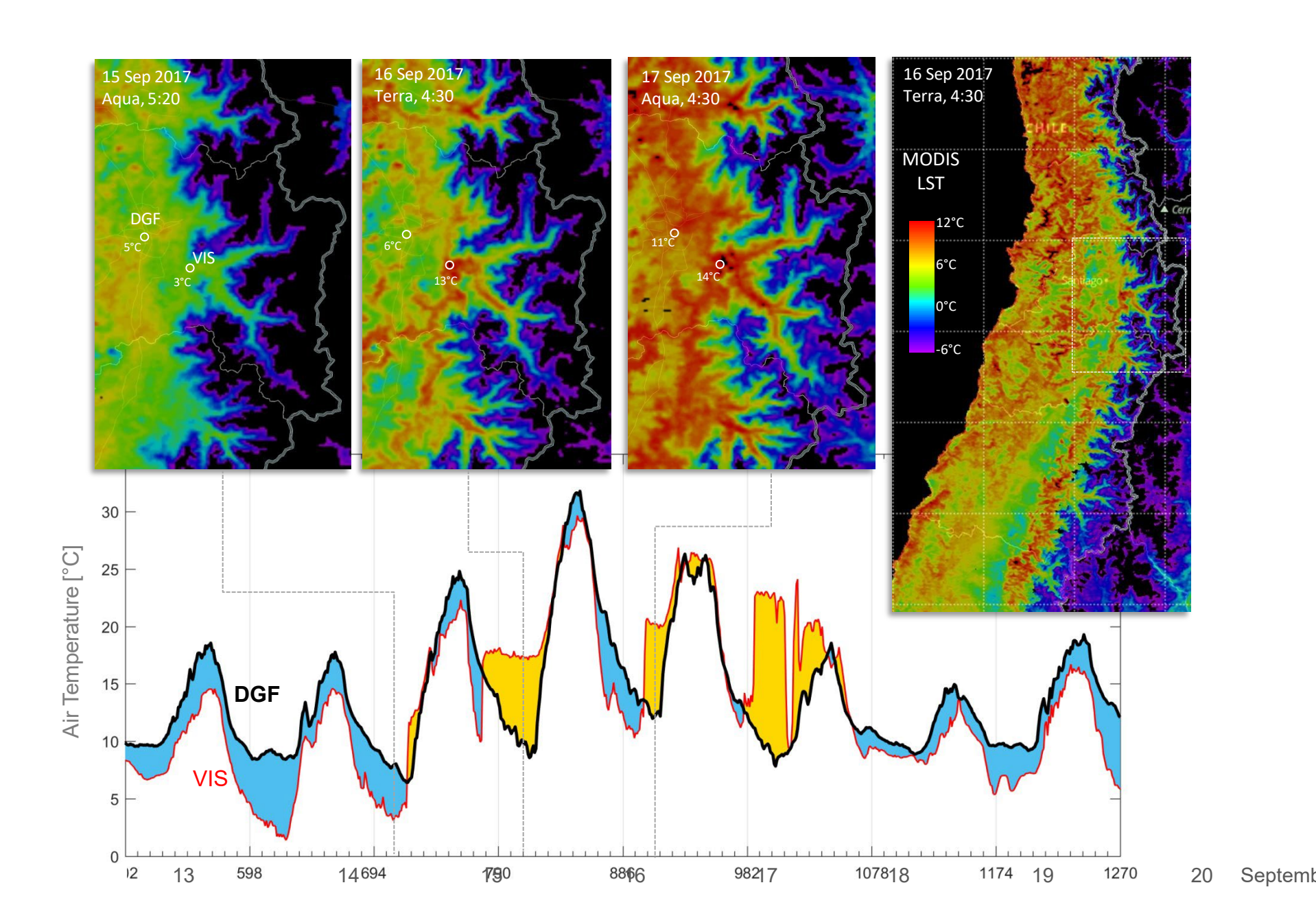


FIG. 8. Vertical profiles of the zonal (U; thick lines) and meridional wind (V; thin lines) components measured at La Obra (exit region of the Maipo Canyon) at (a) 0800, (b) 1100, and (c) 1400 LT. Speed scale is above (a). Included in (a)–(c) are 5 columns: the leftmost column corresponds to the average of 5 days not classified as strong downslope flow days (unperturbed condition). The rest of the columns correspond to 4 strong downslope days during the austral winter of 2001 (dates indicated at the bottom).



Relación Meteorología – Incendios Forestales

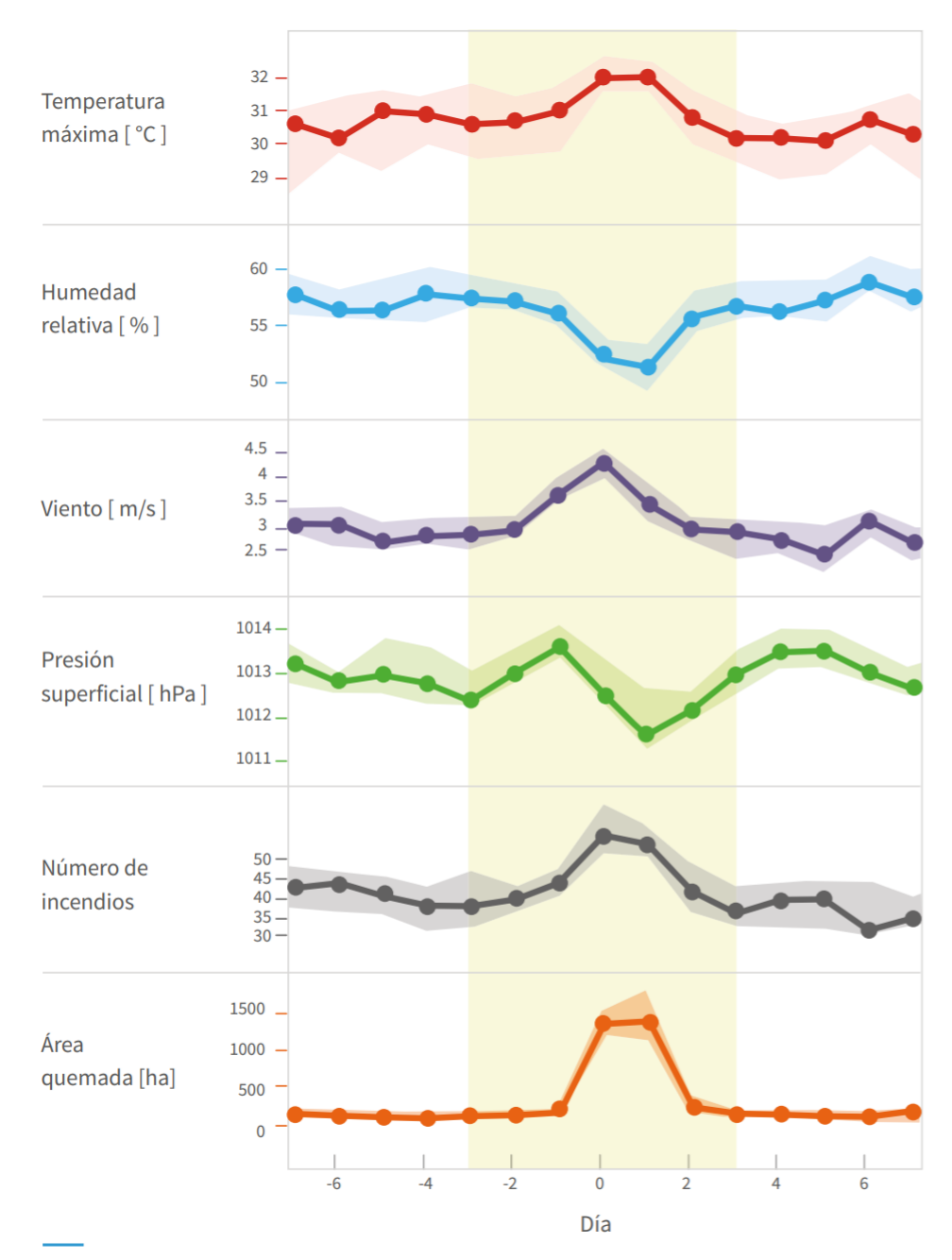
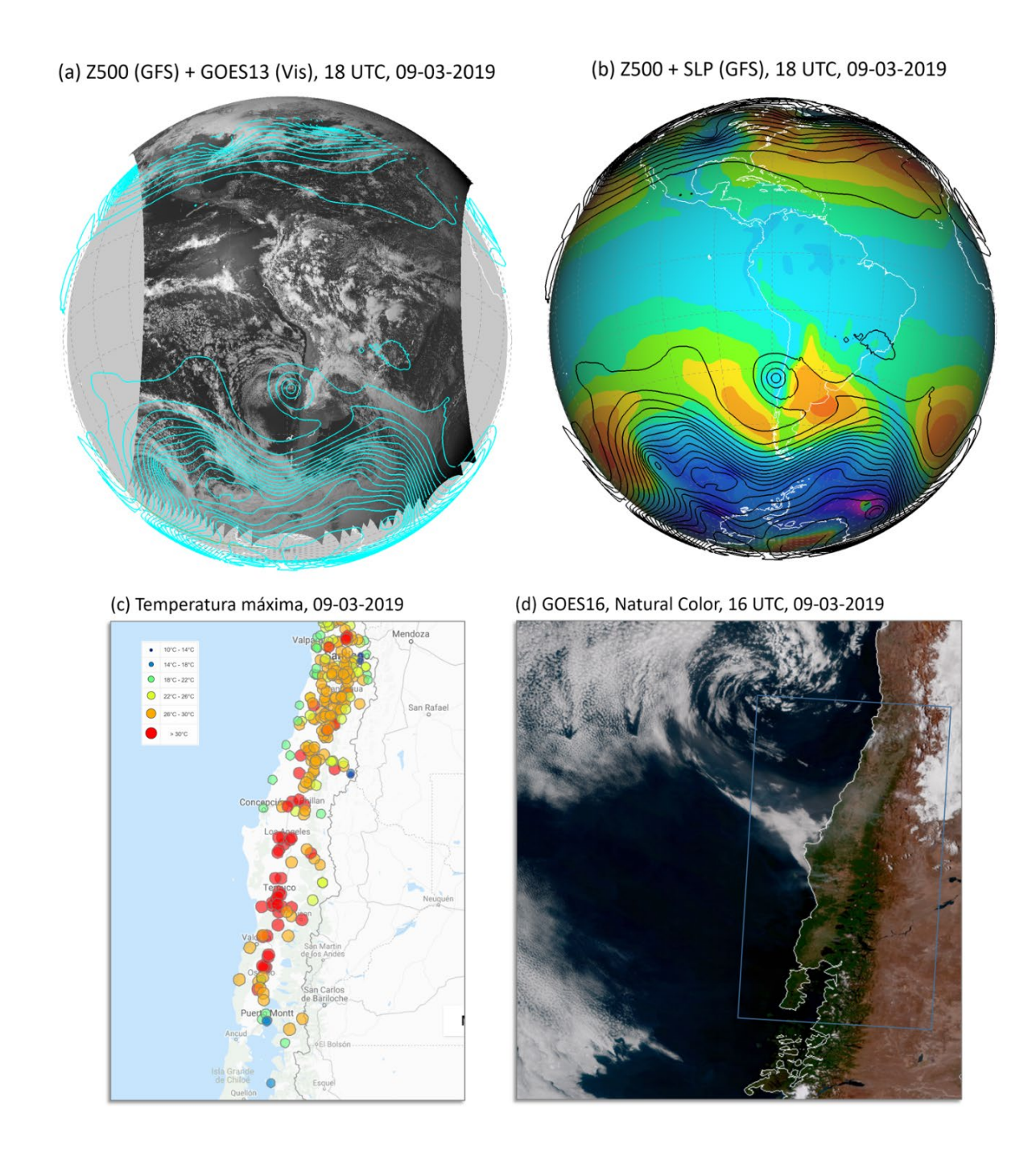


Figura 1. Condiciones meteorológicas medias entre los 7 días previos y 7 días posteriores a la ocurrencia de grandes incendios forestales en la zona centro-sur.

Para esto se consideraron 63 días en que el área quemada superó 741 hectáreas en las regiones del Ñuble y Biobío (catastro de incendios CONAF), denominado aquí día 0.

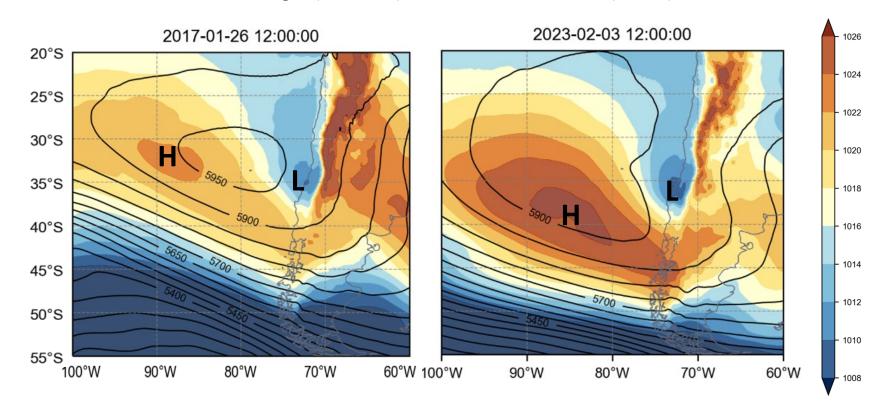
Las diversas series, desde arriba hacia abajo, corresponden al promedio de la temperatura máxima en la estación Bernardo O'Higgins Chillán Ad. (registros Dirección Meteorológica de Chile, DMC), la humedad relativa a 2 m y el viento a 10 m media sobre las regiones del Biobío y Ñuble (reanálisis CFSR), la presión reducida a nivel del mar cercano a Chillan (reanalisis ERA5) y el número de incendios y área quemada (catastro de incendios CONAF).

24 www.cr2.cl

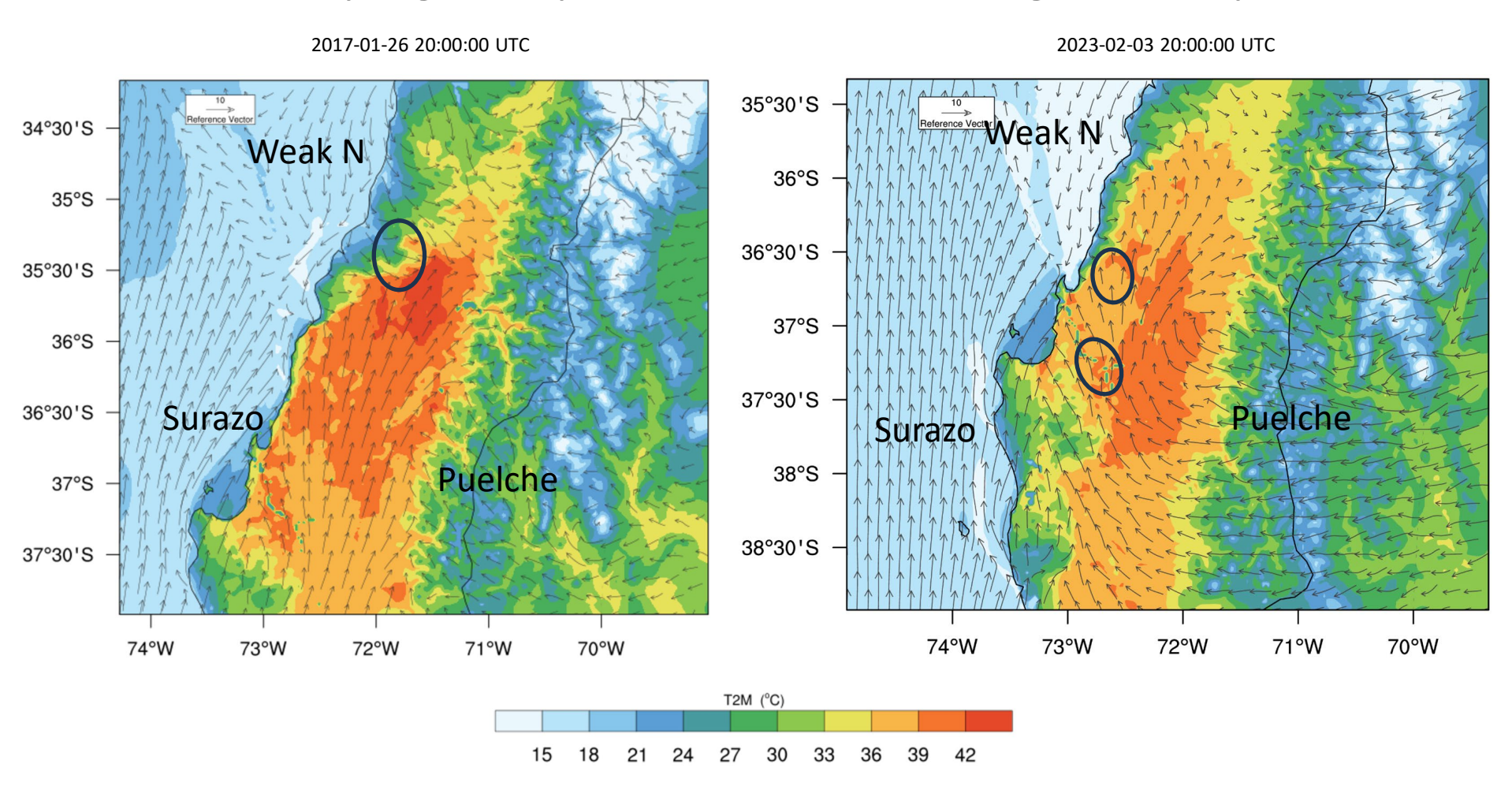


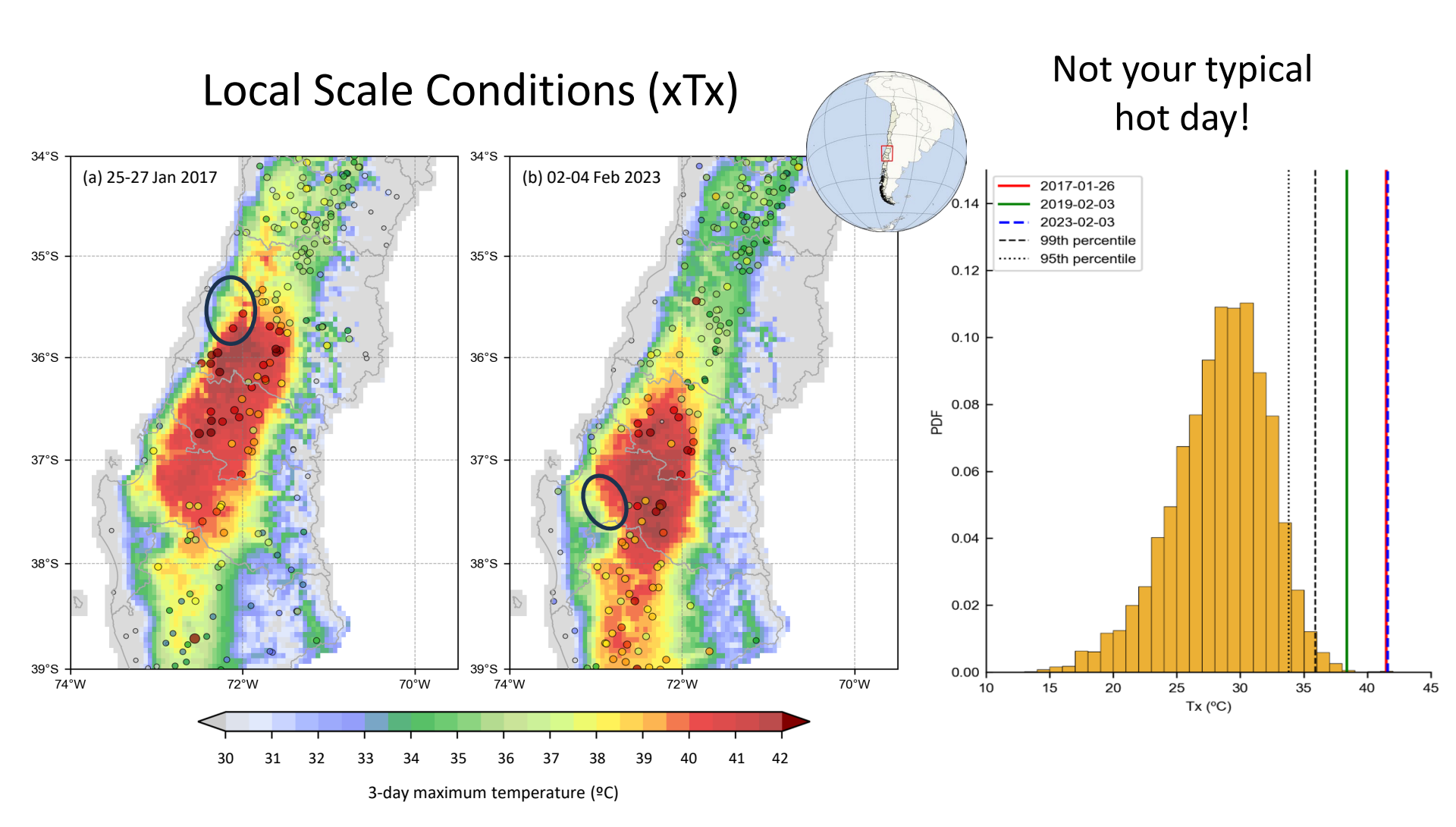
# **Large Scale Conditions**

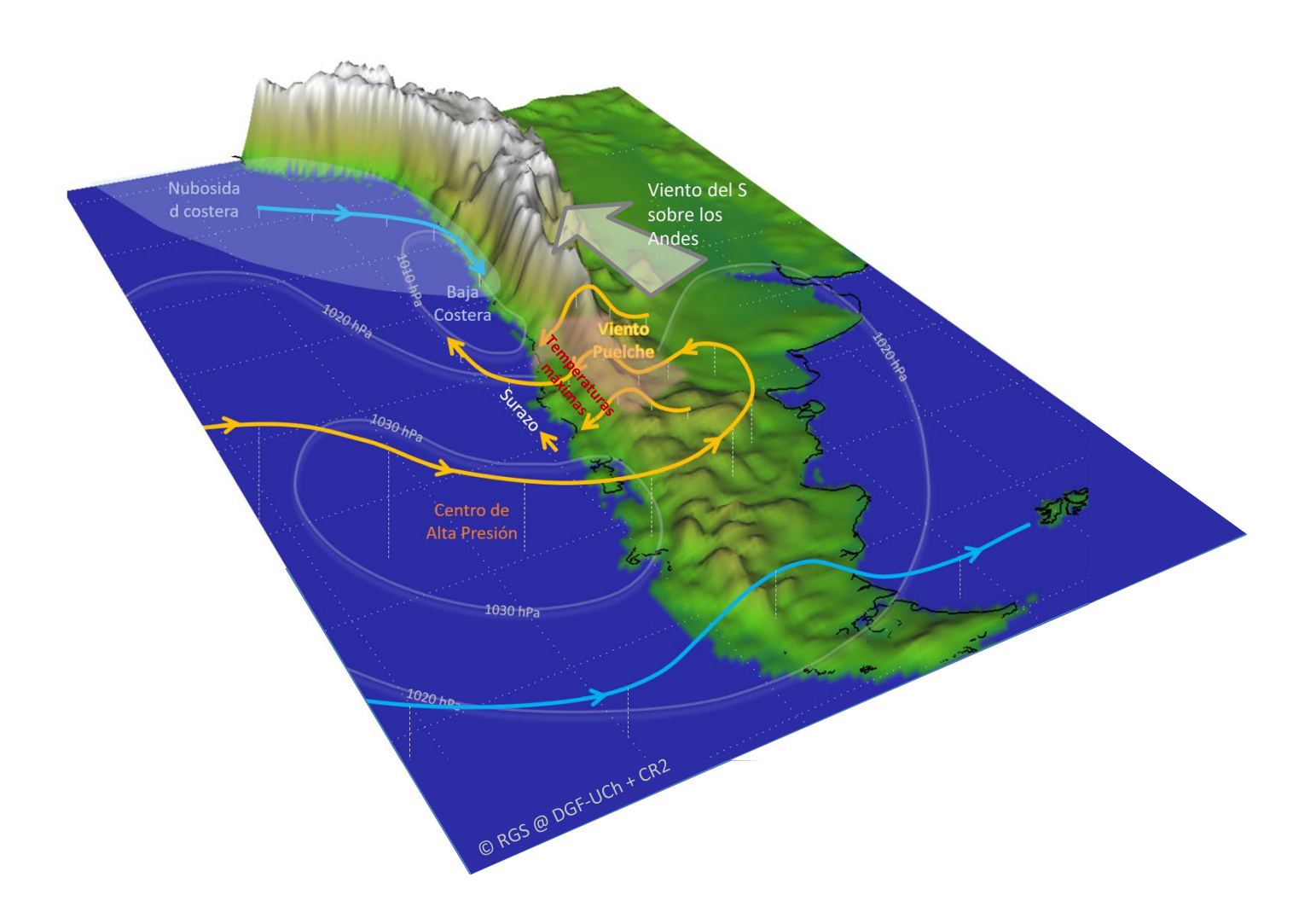
500 hPa Height (contours) and Sea Level Pressure (colors)



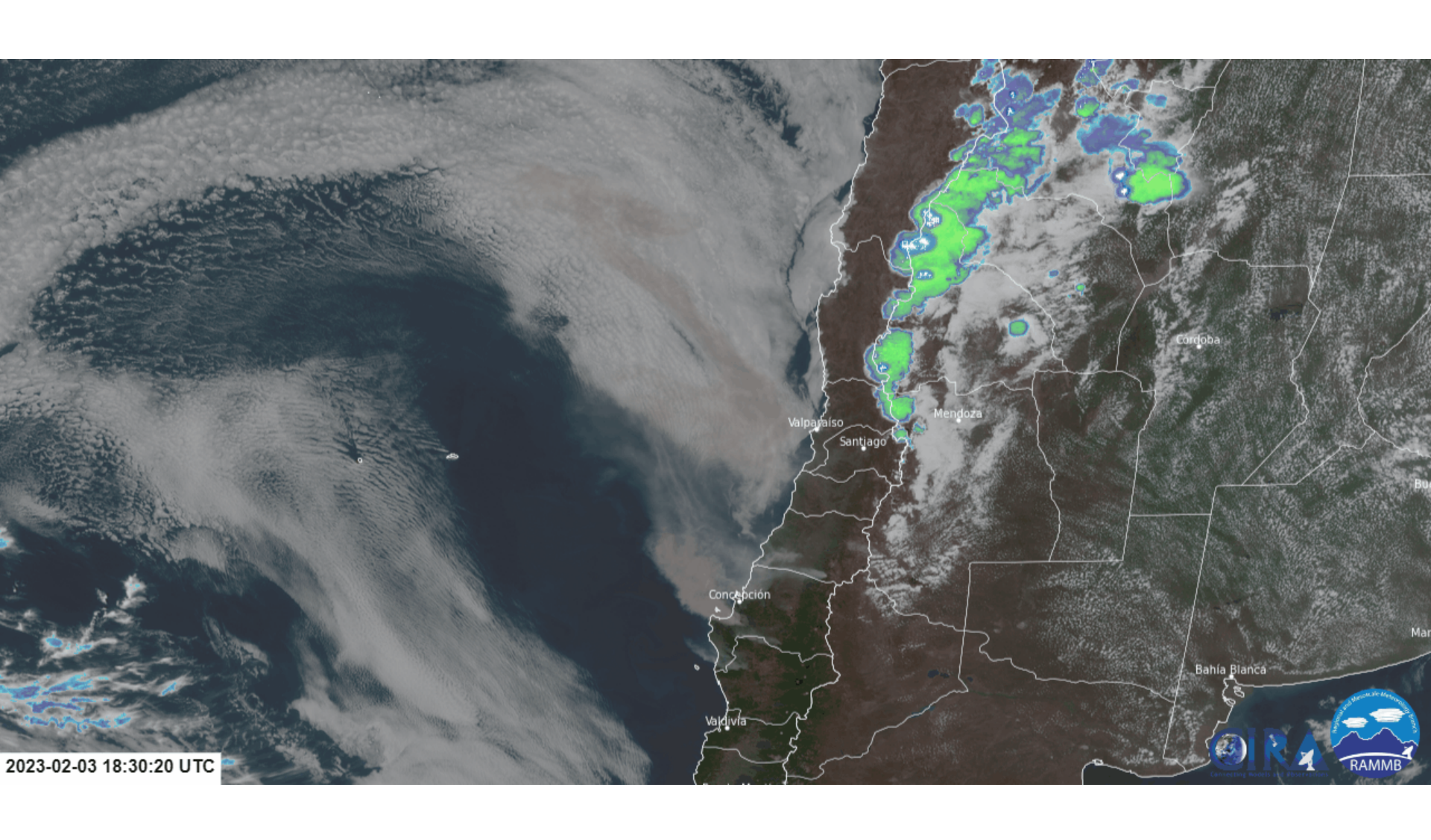
# Not only high temperature but also strong winds (>p90)











Relación Meteorología – Contaminación del aire





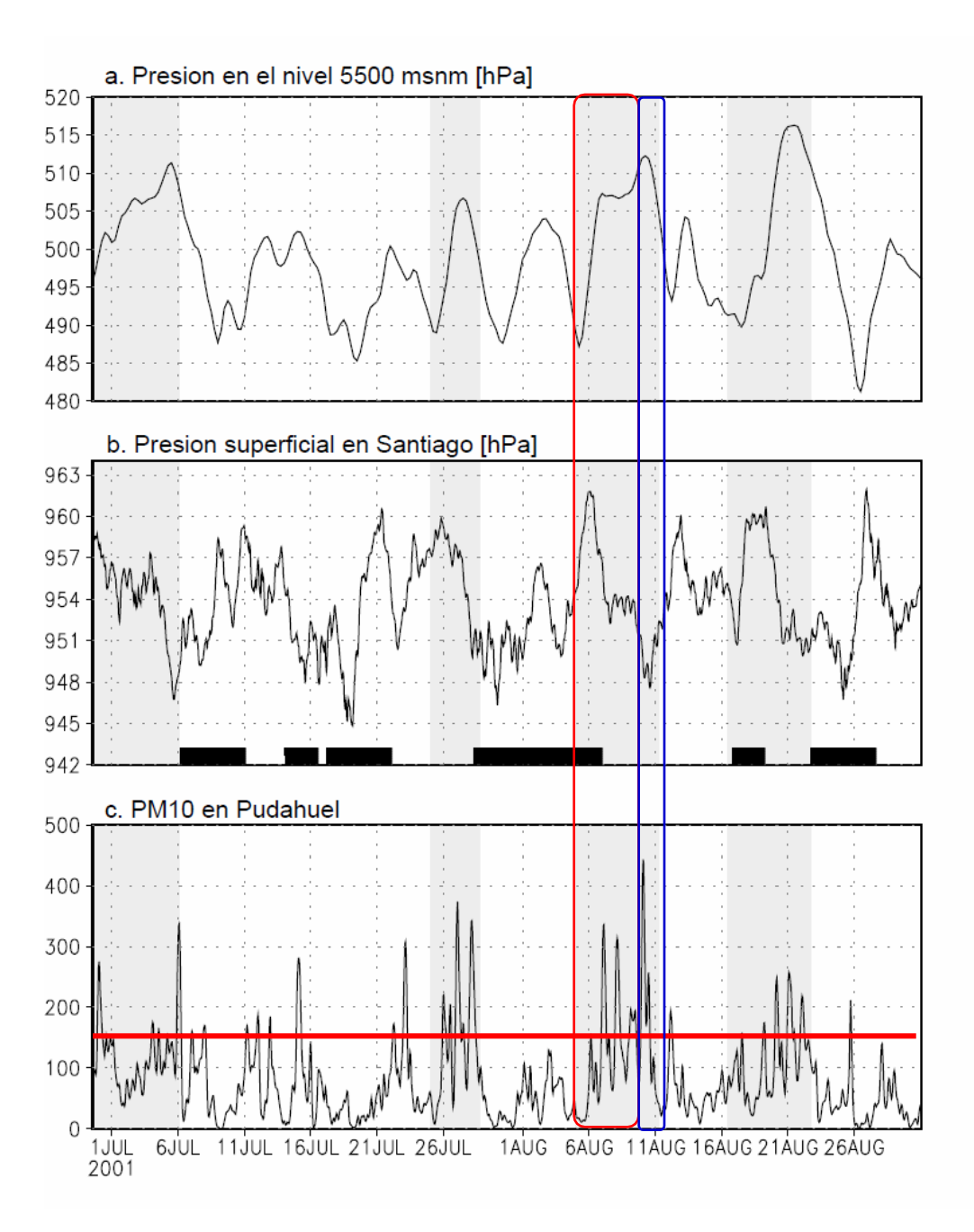




500 m sobre el suelo

500 m sobre

el suelo

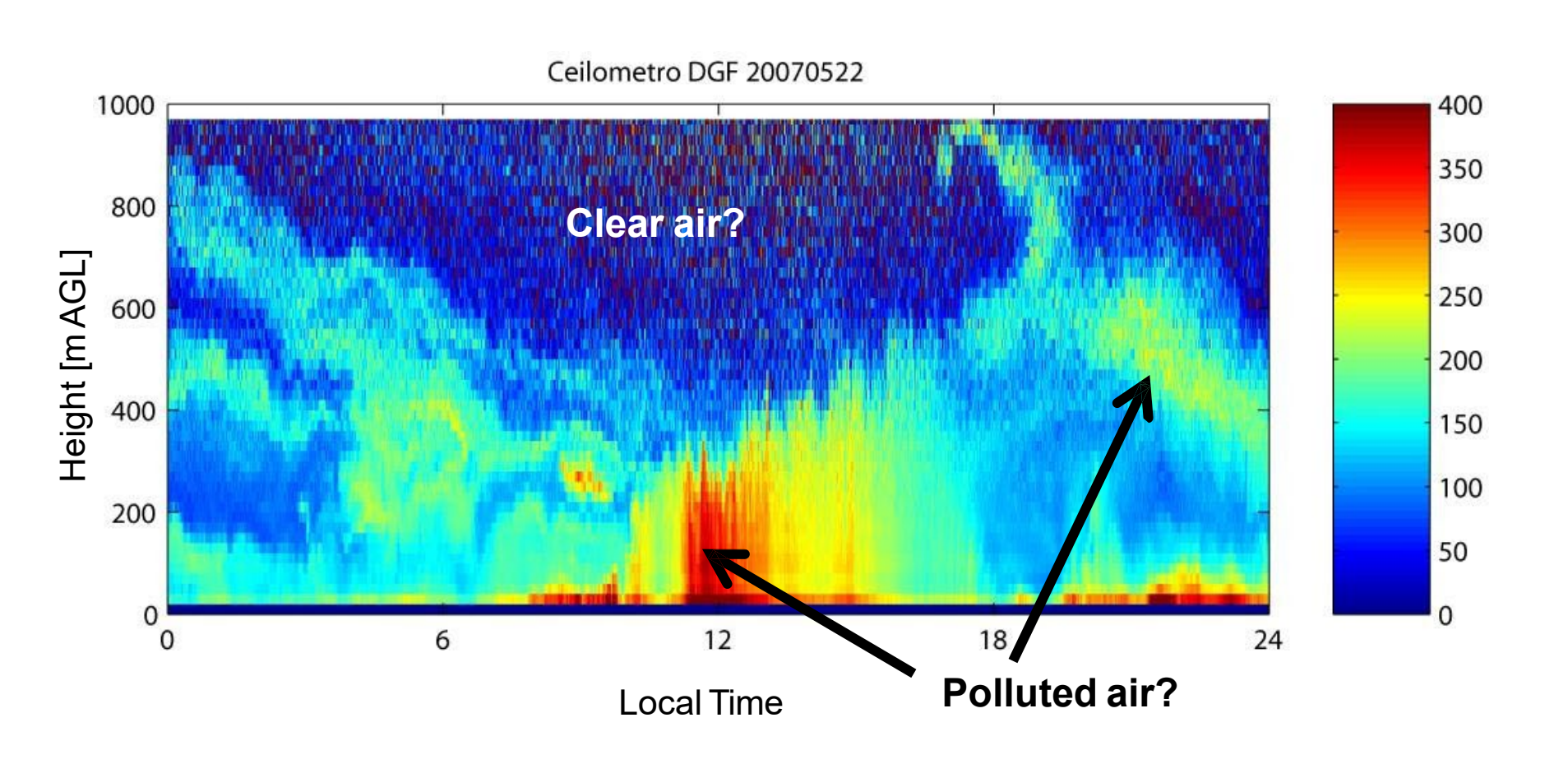


Santiago, Chile. 33.45°S, 70.66°W, 533 m ASL, 29 m AGL

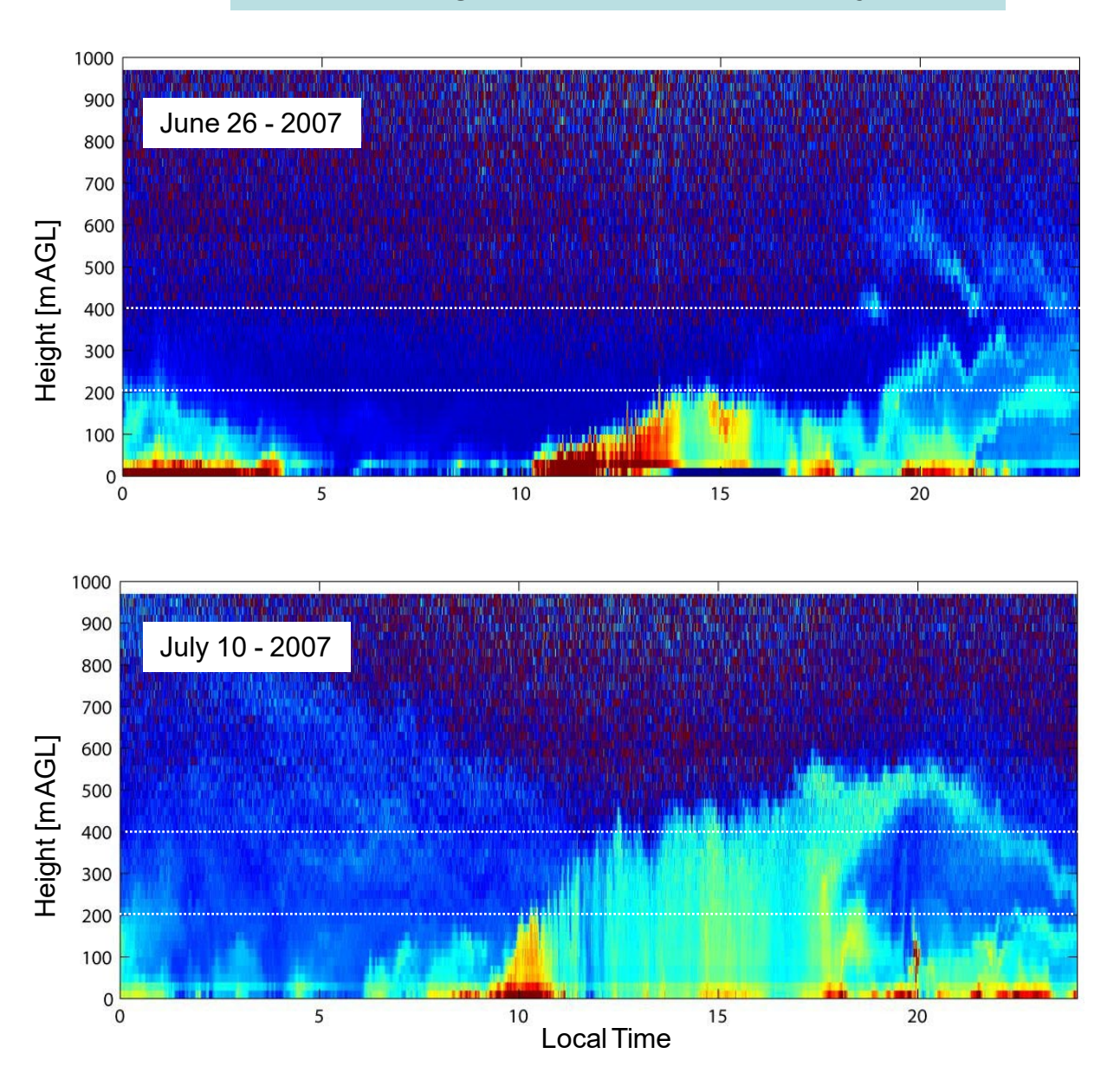


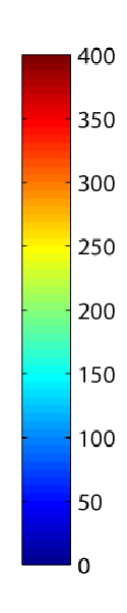
Nefobasimetro (Ceilometer) Vaisala CL31. Adquirido en Enero 2007 por proyecto MECESUP UCH303.

# Potencial estimación de capa de mezcla en Santiago durante dias despejados



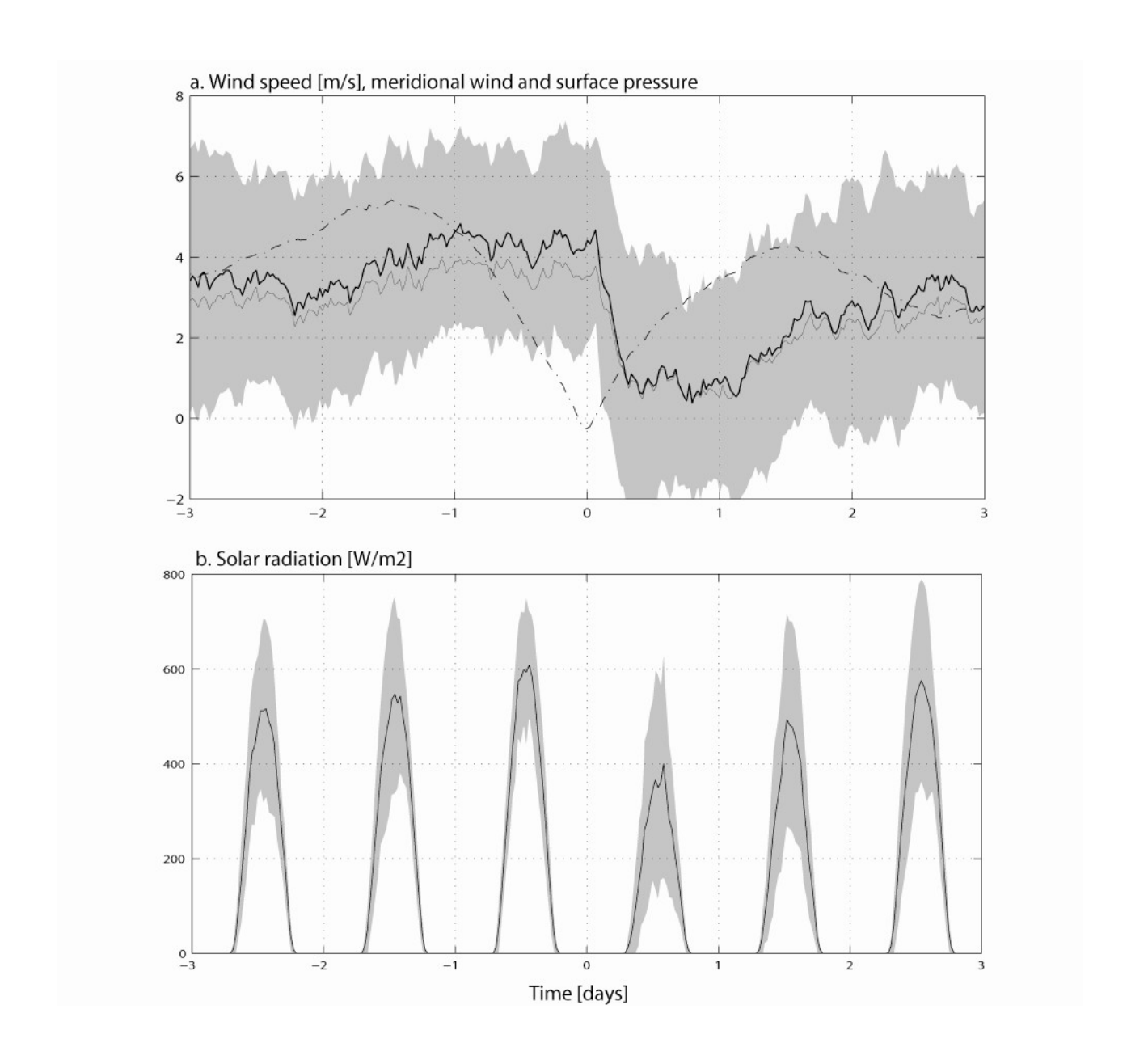
# Potencial estimación de capa de mezcla en Santiago durante dias despejados



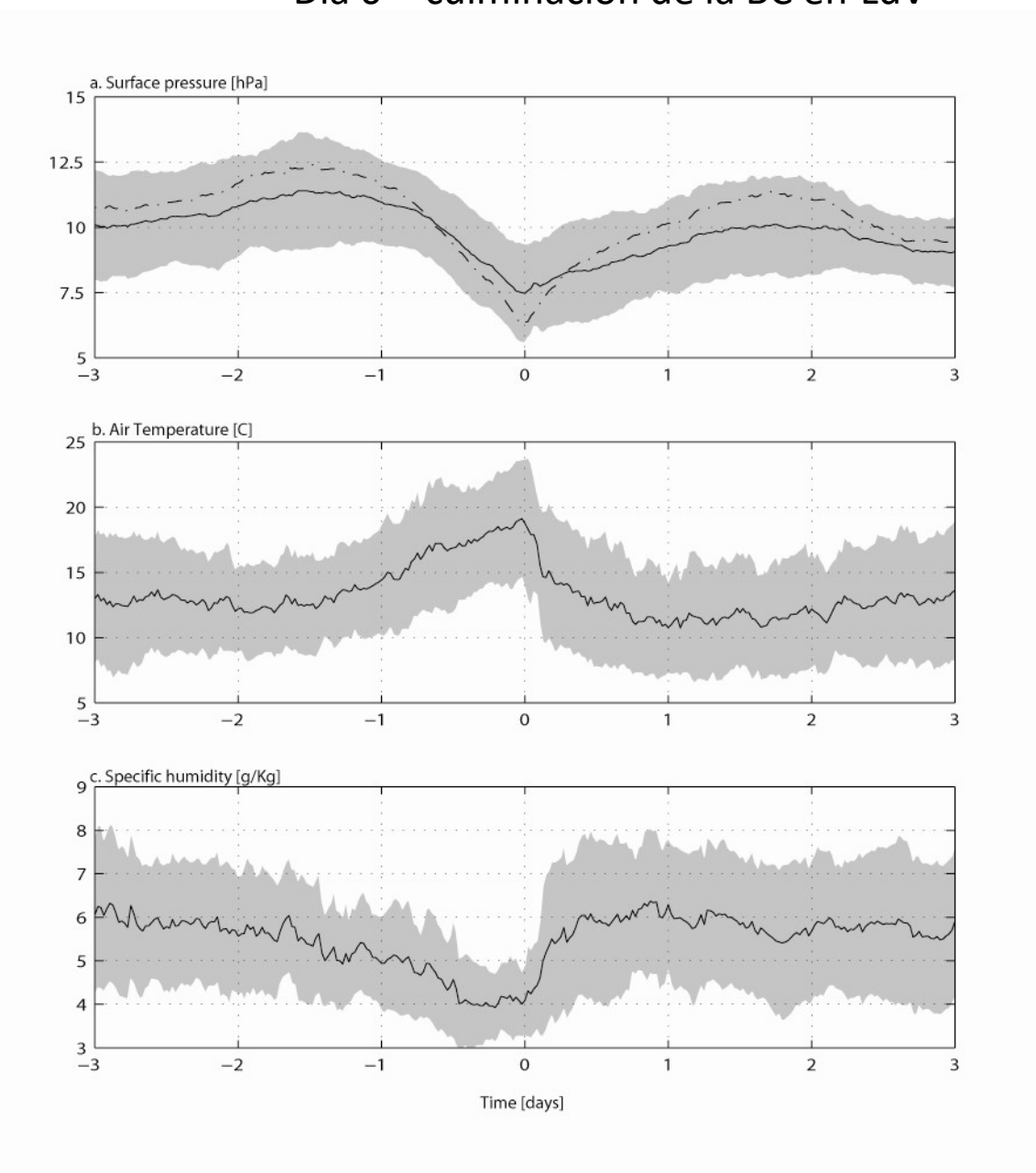


Impactos en zona costera

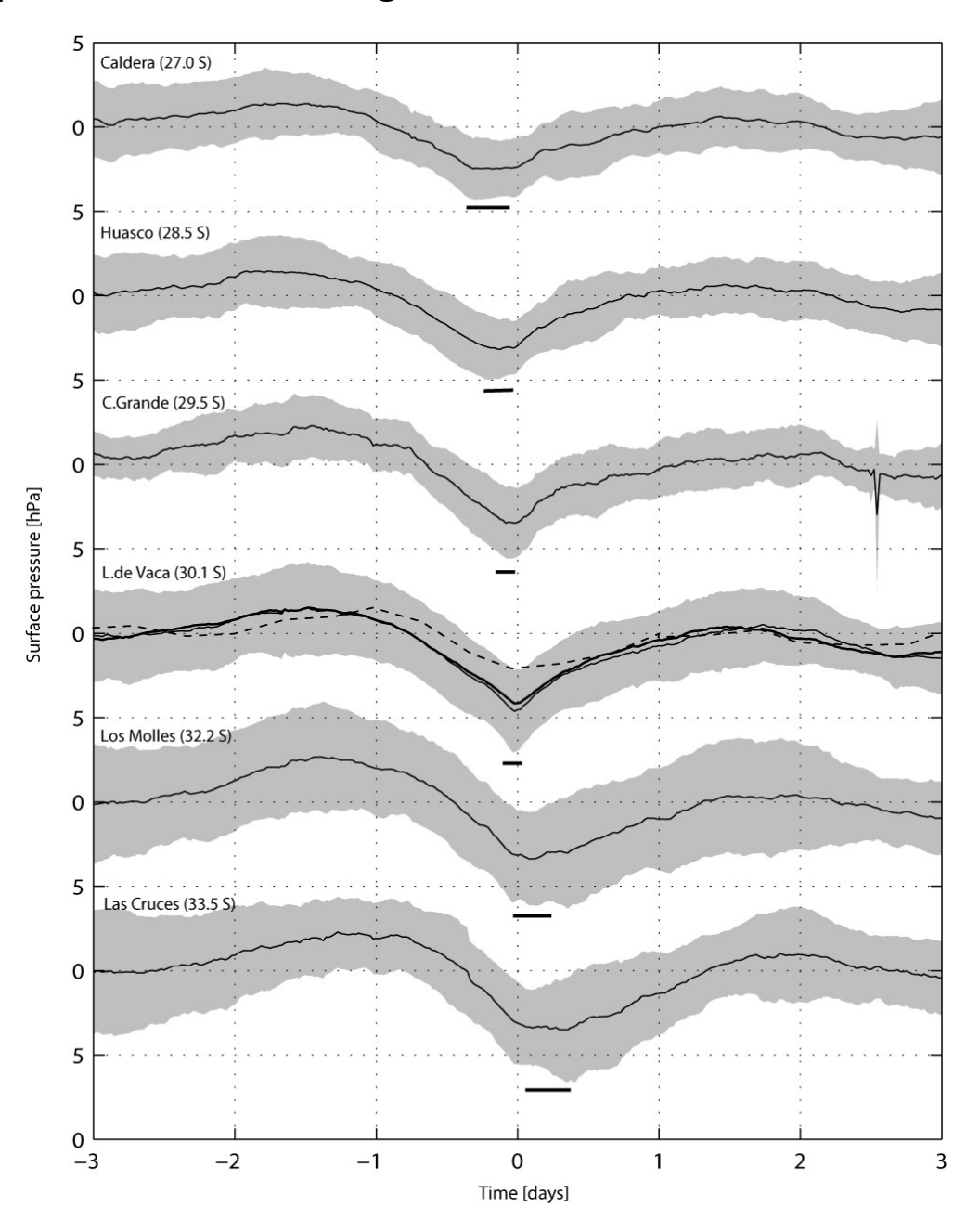
## Compuesto de viento y radiación solar en LdV (costa a 30°S, nivel del mar) Día 0 = culminación de la BC en LdV



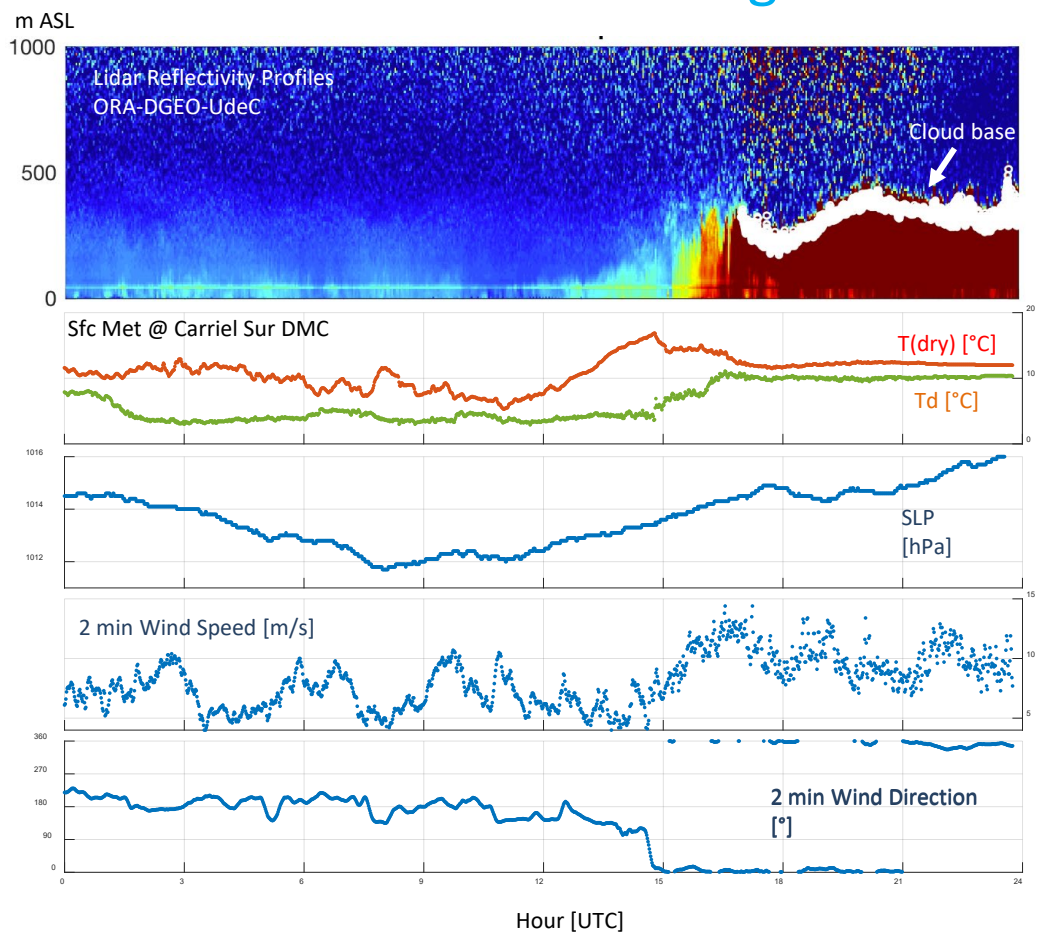
## Compuesto en El Tofo. 30°S, cerca de la costa pero a 1000 m de altura Día 0 = culminación de la BC en LdV



# Compuesto de SLP a lo largo de la costa. Día 0 = culminación de la BC en LdV

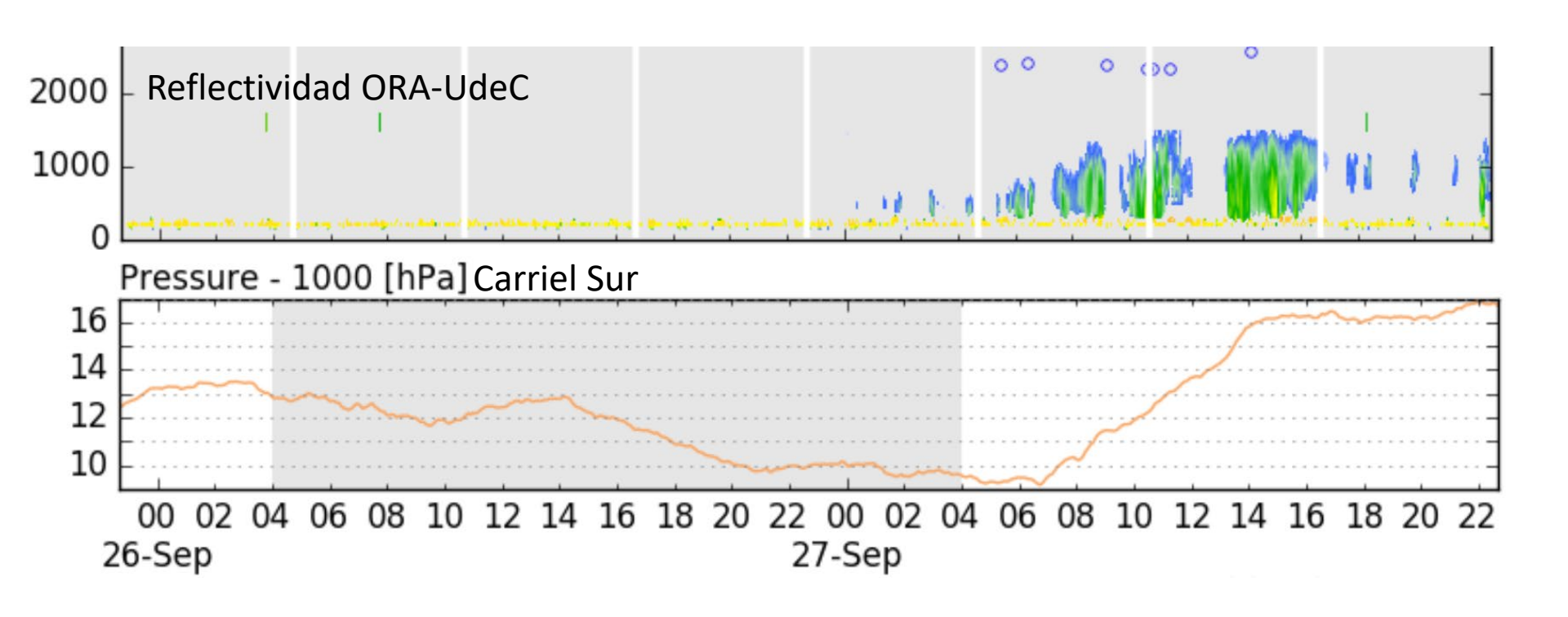


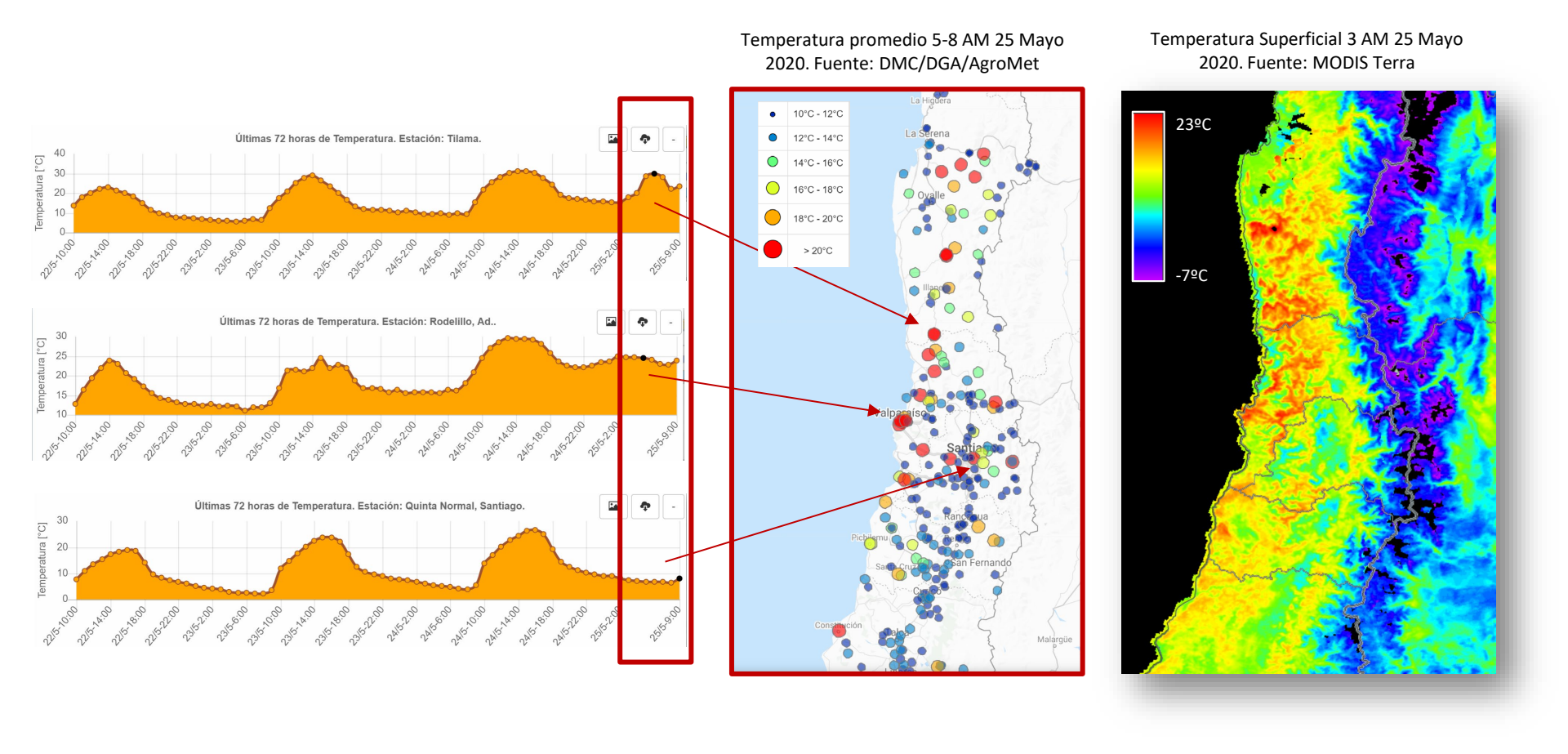
# 29 August 2022





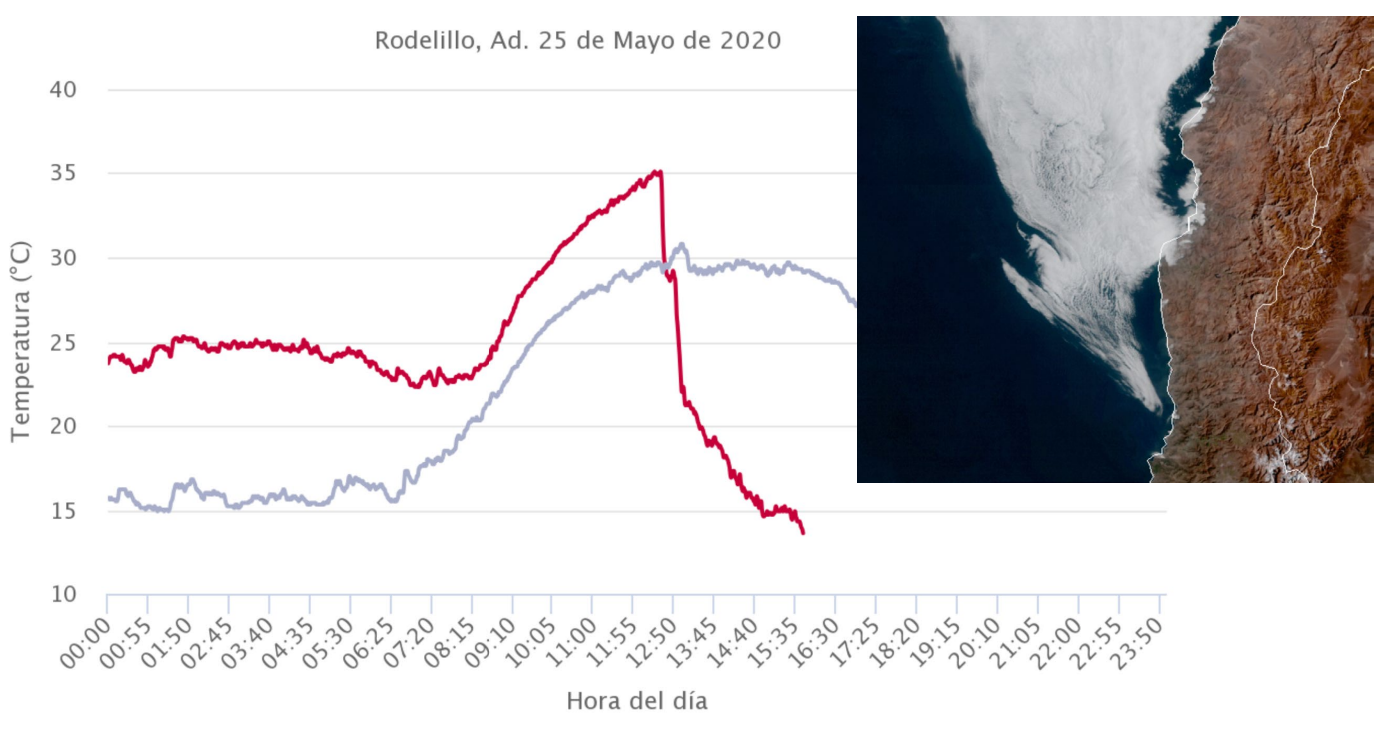
### Otro ejemplo de culminación de BC en Concepción





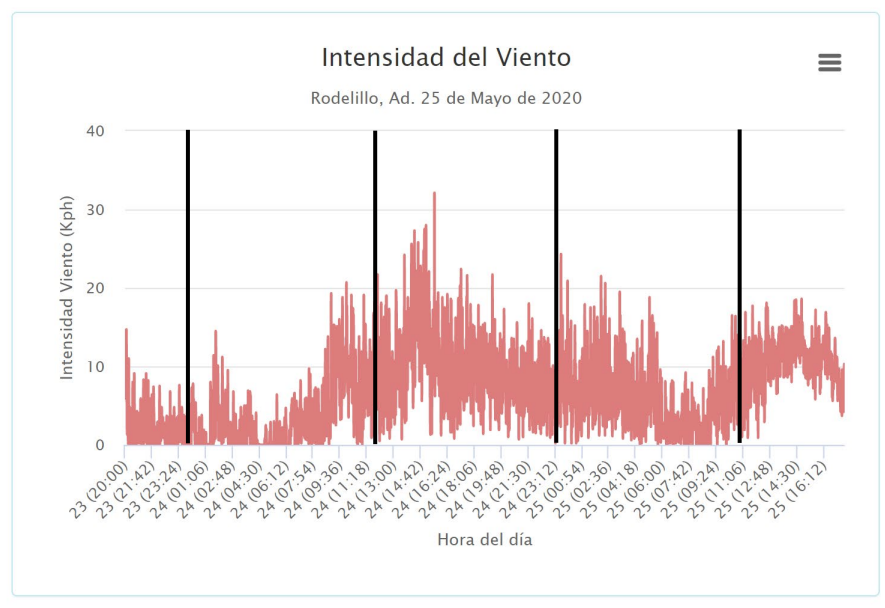


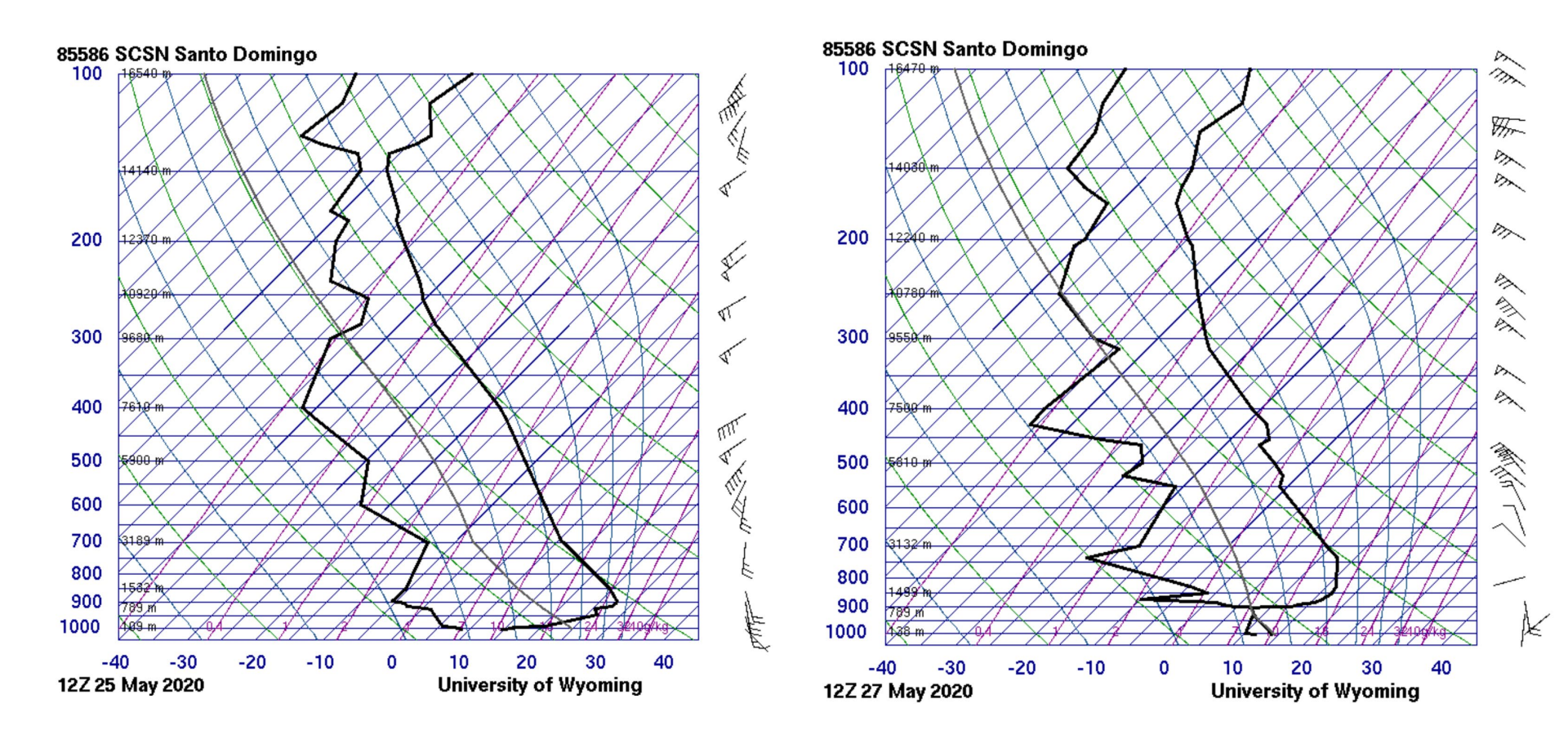
#### Temperatura del Aire comparativa 24 Horas



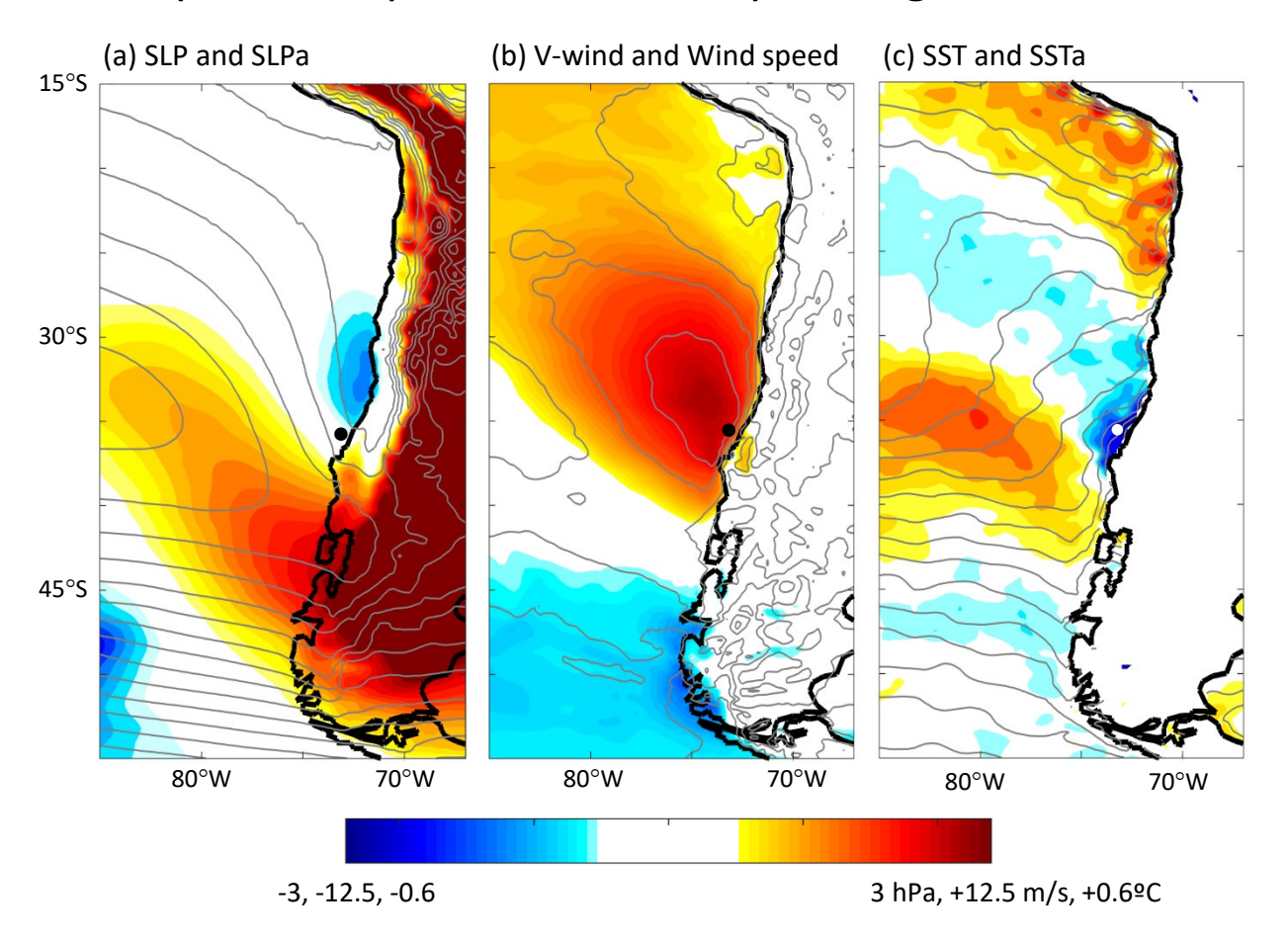








# Composite maps 24 hr before upwelling event demise



9 de Junio 2016 Instalada y midiendo



